

Candes-Saint-Martin, rue Trochet et « Les Perrières » : les aires d'ensilage du haut Moyen-Âge, la ville fortifiée du XIII^e s., et deux grands ensembles funéraires

région Centre, département d'Indre-et-Loire
Code Insee : 37 042, opérations n° 37.042.005.OP et 37.042.006.OP



SOUS LA DIRECTION DE STÉPHANIE PHILIPPON

Rapport final d'opération de diagnostic archéologique

VOLUME 2 : ILLUSTRATIONS

RÉALISÉ DU 24 OCTOBRE 2011 AU 05 JUIN 2012

ARRÊTÉS DE PRESCRIPTIONS N° : 11/0164 ET 11/0165

DÉCEMBRE 2012



Service de l'archéologie du département d'Indre-et-Loire
Conseil général
Hôtel du département
37927 Tours Cedex 9



Candes-Saint-Martin (37042)

rue Trochet (Tranche 1) et « Les Perrières » (Tranche 2)

Diagnostic archéologique relatif au projet de travaux d'extension du collecteur d'assainissement des eaux usées et des eaux pluviales, de renforcement de la canalisation d'eau potable et d'enfouissement des réseaux basse tension, France Télécom et éclairage public.

STÉPHANIE PHILIPPON
&
CÉLINE BARTHÉLÉMY-SYLVAND
LAURENT FOURNIER
MATTHIEU GAULTIER
DANIEL MORLEGHEM

AVEC LA COLLABORATION DE :
JULIEN ANGLADE
CÉLINE AUNAY
JULIETTE GRALL
PHILIPPE HUSI
MARIE-CHRISTINE LACROIX
EMILIE ROUX
GRÉGORY SILBERSTEIN
CHHAVY-CYRIL TAN

Rapport final d'opération de diagnostic archéologique

VOLUME 2 : ILLUSTRATIONS

RÉALISÉ DU 24 OCTOBRE 2011 AU 05 JUIN 2012

ARRÊTÉS DE PRESCRIPTIONS N° : 11/0164 ET 11/0165

DÉCEMBRE 2012

Philippon et al. 2012 : PHILIPPON (S.), BARTHÉLÉMY-SYLVAND (C.), FOURNIER (L.), GAULTIER (M.), MORLEGHEM (D.). - *Candes-Saint-Martin, rue Trochet (Tranche 1) et " Les Perrières " (Tranche 2). Diagnostic archéologique relatif au projet de travaux d'extension du collecteur d'assainissement des eaux usées et des eaux pluviales, de renforcement de la canalisation d'eau potable et d'enfouissement des réseaux basse tension, France Télécom et éclairage public, volume 2 : illustrations*. Tours : Conseil Général d'Indre-et-Loire. Orléans : SRA Centre, décembre 2012. 102 p. (Rapport de diagnostic archéologique).

Liste des figures

Figure 1 : localisation de l'opération sur la carte topographique au 1/250 000.	6
Figure 2 : Localisation de l'opération sur la carte topographique au 1/25 000 (© IGN Paris - Scan 25 - 2005 - Autorisation de reproduction n° 2006/CUDC/0186).	7
Figure 3 : Localisation de l'opération (Tranches 1 et 2) sur fond de photographie aérienne.	8
Figure 4 : Localisation du site sur le fond cadastral, avec carroyage principal : Lambert 93 CC47	9
Figure 5 : Emprise des deux tranches de travaux sur un extrait cadastral.	10
Figure 6 : Plan de synthèse du projet, détail des tranchées techniques (tranches 1 et 2 de travaux d'assainissement) (source : Hadès).	11
Figure 7 : Plan de détail des tranchées techniques (partie est) N° 2 (tranche 2 de travaux d'assainissement) (source : Hadès).	12
Figure 8 : Plan de délimitation des différents secteurs du diagnostic : tranches 1 et 2.	13
Figure 9 : Plan de localisation des cavités souterraines impactant le projet de réseaux d'assainissement (Source : SI CAVITES 37 et Arnault, Leotot 2009).	14
Figure 10 : Les nombreuses contraintes de terrain rencontrées sur la commune de Candes-Saint-Martin.	15
Figure 11 : Courbes de niveaux et relief sur la commune de Candes-Saint-Martin (source de données : IGN BD Alti ® ; Courbes de niveaux ; Relief).	16
Figure 12 : Localisation de l'opération, reportée sur la carte géologique. D'après Alcaydé (1978). Carte géologique Fr. 1/50 000, feuille de Chinon (feuille n° 486, BRGM, SGN). Vectorisation TAN Chhavy-Cyril/SADIL/2012.	17
Figure 13 : Emprise du projet sur un extrait du cadastre Napoléonien, commune de Candes-Saint-Martin (section B, du bourg).	18
Figure 14 : Localisation des interventions archéologiques (en bleu) et des sites archéologiques (triangles roses), sur un extrait de la carte archéologique nationale (DRACAR), centre de la commune de Candes-Saint-Martin (source de données : Bases de données Patriarche D.R.A.C./S.R.A./ V. Aubourg - septembre 2011).	19
Figure 15 : Proposition de plan de l'agglomération antique de Candes-Saint-Martin : vestiges archéologiques avérés et supposés.	20
Figure 16 : Positionnement topographique des pieux des deux ponts, dans la Vienne et dans la Loire, sur fond de photographie aérienne, redressée sous <i>Photoplan</i> (Cliché : J.-P. Lecompte ; DAO : J.-F. Mariotti, SRA Poitiers).	21
Figure 17 : Plan des lignes de pieux dans la Vienne et espacement entre les travées du premier pont antique de Candes (en vert) et du second pont (en bleu) (Lecompte, Courtoux 2011).	21
Figure 18 : Plans de détail des pieux découverts à Candes-Saint-Martin (DAO : J.-F. Mariotti, A. Dumont, Gh. Macabéo). A : lit de la Vienne, rive droite ; B : lit de la Loire, rive gauche ; C : lit de la Vienne, rive gauche (aménagement de berge antique) (Dumont <i>et al.</i> 2007).	22
Figure 19 : Eléments de comparaison et hypothèses de restitution du premier pont antique de Candes. Pont du « Rondet 1 », sur la Broye, en Suisse, sur le site de La Tène, mis en chantier vers 7 de notre ère (Pillonel 2007).	23
Figure 20 : Carte de localisation des agglomérations secondaires antiques, ainsi que des voies de communication principales de la cité des Turons (Source : d'après Hervé 2008, Cribellier, à paraître ; fond de plan Atlas Archéologique de Touraine, UMR 7324 Citeres-LAT). A : Tours- <i>Caesarodunum</i> ; 1 : Nouâtre ; 2 : Pouzay-Trogues ; 3 : Crouzilles-« Mougou » ; 4 : Panzoult ; 5 : Chinon ; 6 : Cinais ; 7 : Candes-Saint-Martin).	24
Figure 21 : <u>En haut</u> : localisation des fouilles faites par M. Tripetsky (en 1971), plan de Gilles Courtoux d'après les notes et dessins de M. de Grandmaison (1859) ; <u>en bas</u> : plan des structures visibles (détail du plan général), dessin d'un pilastre cannelé (DAO : J.-P. Lecompte et Gilles Courtoux), photographie d'éléments sculptés (Gilles Courtoux) (Lecompte 2006 : 26-38).	25
Figure 22 : Principaux vestiges et bâtiments, illustrant l'ancienne cité médiévale fortifiée de Candes-Saint-Martin.	26
Figure 23 : Photographies des principales habitations médiévale et Renaissance du centre bourg de Candes-Saint-Martin.	27
Figure 24 : Plan général des vestiges archéologiques de la tranche 1 de travaux.	28
Figure 25 : Localisation des logs sur fond topographique.	29
Figure 26 : Profils stratigraphiques (Logs 1 à 8) sur la tranche 1 de travaux de réseaux (rue Trochet).	30

Figure 27 : Profils stratigraphiques (Logs 9 à 11) sur la tranche 2 de travaux de réseaux (rue de la Cour Dimière et Chemin du Panorama).	31
Figure 28 : Photographies des profils stratigraphiques (logs 1 à 11).	32
Figure 29 : Transect Est-Ouest sur la tranche 1 de travaux de réseaux, rue Trochet.	33
Figure 30 : Transect Nord-est / Sud-ouest sur la tranche 1 de travaux de réseaux, rue Trochet.	34
Figure 31 : Transect Nord-ouest / Sud-est sur la tranche 2 de travaux de réseaux, rue de la Cour Dimière et Chemin du Panorama.	35
Figure 32 : Localisation des vestiges découverts rue Trochet (extrémité Est).	36
Figure 33 : Localisation des vestiges découverts rue Trochet (deuxième tronçon nord/sud).	37
Figure 34 : Localisation des vestiges découverts rue Trochet (jusqu'à l'intersection avec la rue de la Cour Dimière).	38
Figure 35 : Localisation des vestiges découverts rue Trochet (premier tronçon nord/sud).	39
Figure 36 : Localisation des vestiges découverts rue Trochet (deuxième tronçon nord/sud).	40
Figure 37 : Localisation des vestiges découverts rue de la Mairie (secteur 2).	41
Figure 38 : Localisation des vestiges découverts rue du Puits Saint-Michel (secteur 16) (premier tronçon sud-est).	42
Figure 39 : Localisation des vestiges découverts rue du Puits Saint-Michel (secteur 16) (deuxième tronçon nord-ouest).	43
Figure 40 : Localisation des tranchées négatives tranche 1 de travaux : rue Saint-Maurice, rue du Chanoine Michelet et Sentier des Cavaliers.	44
Figure 41 : Plan général des vestiges archéologiques de la tranche 2 de travaux.	45
Figure 42 : Localisation des vestiges découverts Chemin du Tire-Jarret (secteur 3) (Tranche 2).	46
Figure 43 : Localisation des vestiges découverts Place du Puits (secteur 5) et rue des Perrières (secteur 6) (Tranche 2).	47
Figure 44 : Localisation des vestiges découverts rue de la Douve (secteur 7) et Chemin des Perrières (secteur 10) (Tranche 2).	48
Figure 45 : Localisation des tranchées négatives tranche 2 de travaux : rue de la Cour Dimière, Chemin du Panorama et rue du Puits.	49
Figure 46 : Localisation des tranchées négatives tranche 2 de travaux : rue du Panorama.	50
Figure 47 : Localisation et relevé au 1/50 des silos (Tranche1, secteur 1).	51
Figure 48 : Localisation et relevé au 1/50 des sépultures F106, F108, F110, F111, F113 et F114 (Tranche1, secteur 1).	52
Figure 49 : Localisation et relevé au 1/50 des sépultures F115, F117, F118 et F119 (Tranche1, secteur 1).	53
Figure 50 : Localisation et relevé au 1/50 des sépultures F120 à F132 (Tranche1, secteur 1).	54
Figure 51 : Localisation et relevé au 1/50 des sépultures F133, F134, F135, F136, F137 et F140 (Tranche1, secteur 1).	55
Figure 52 : Localisation et relevé au 1/50 des sépultures F143, F146, F147, F148, F150 et F151 (Tranche1, secteur 1).	56
Figure 53 : Localisation et relevé au 1/50 des sépultures F152, F153, F154, F156 et F157 (Tranche1, secteur 1).	57
Figure 54 : Localisation et relevé au 1/50 des sépultures F158, F160 et F161 (Tranche1, secteur 1).	58
Figure 55 : Localisation et relevé au 1/50 des sépultures F166, F167, F168, F169, F170, F171, F172, F173, F174 et F175 (Tranche1, secteur 1).	59
Figure 56 : Localisation et relevé au 1/20 et au 1/50 des sépultures F2000 et F2002 (Tranche1, secteur 2).	60
Figure 57 : Localisation et relevé au 1/50 des sépultures F3000, F3002, F3003, F3004, F3005, F3006, F3007, F3008 et F3009 (Tranche 2, secteur 3).	61
Figure 58 : Localisation et relevé au 1/50 des sépultures F3010, F3011, F3012 et F3013 (Tranche 2, secteur 3).	62
Figure 59 : Localisation et relevé au 1/50 des sépultures F16000 à F16005, et F16008 à F16012 (Tranche 1, secteur 16).	63
Figure 60 : Localisation et relevé au 1/50 des sépultures F16013 à F16022 (Tranche 1, secteur 16).	64
Figure 61 : Localisation et relevé au 1/50 et au 1/100 des murs F103, F104, F6000, F6002, F6003 et F10000 (Tranches 1 et 2, secteurs 1, 6 et 10).	65
Figure 62 : Localisation et relevé au 1/50 et au 1/100 des fosses ou fossés F162, F163, F182 et F5001, et de la maçonnerie F5000 (Tranches 1 et 2, secteurs 1 et 5).	66
Figure 63 : Localisation et relevé au 1/50 des fossés F164, F179 et F180, de la pile F165 et du chemin F181 (Tranche 1, secteur 1).	67

Figure 64 : <i>Veüe du bourg et du chasteau de Cande. En Touraine, appartenant à Mons.^r l'Archevesque de Tours // 1699</i> [BnF, département Estampes et photographie, EST VA-37 (2)] [dessin : Bourdan, Louis (16..-17.. ; dessinateur et graveur)] (Aquarelle ; 32,8 x 29,3 cm).	68
Figure 65 : Plan de la <i>Partie de la troisième feuille de la traverse de Candes, projeté par l'ingénieur en Chef du Département. A Tours, le 8 décembre 1812</i> (AD37 ; FRAD037_IV_8_2 ; 1812).	69
Figure 66 : Deux plans des aménagements projetés pour la Place du Champ de Foire et le cimetière de Candes-Saint-Martin (AD37 ; 2O 42 36 PI 1B) (début XIXe s.).	70
Figure 67 : Deux plans associés à un rapport concernant la construction des murs de clôture du cimetière de la commune de Candes (AD37 ; 2O 42 36 PI 1B) (<u>en haut</u> : 1824 ; <u>en bas</u> : 1827).	71
Figure 68 : Plan de localisation de la céramique antique sur les opérations de sauvetage urgent « Réfection du mur de terrasse de la Route de Compostelle » (2010) et de diagnostic archéologique rue Trochet et « Les Perrières » (2012).	72
Figure 69 : Mobilier céramique antique du sauvetage urgent « Route de Compostelle » de 2010. Planche 1/2 (dessins : Chhavy-Cyril TAN et Juliette GRALL).	73
Figure 70 : Mobilier céramique antique du sauvetage urgent « Route de Compostelle » de 2010. Planche 2/2 (dessins : Chhavy-Cyril TAN et Juliette GRALL).	74
Figure 71 : Mobilier céramique médiéval du sauvetage urgent « Route de Compostelle » de 2010 (dessins : Chhavy-Cyril TAN et Juliette GRALL).	75
Figure 72 : Mobilier céramique antique du diagnostic archéologique de 2011/2012 (dessins : Chhavy-Cyril TAN et Juliette GRALL).	76
Figure 73 : Mobilier céramique médiéval du diagnostic archéologique de 2011/2012 (dessins : Chhavy-Cyril TAN et Juliette GRALL).	77
Figure 74 : Mobilier céramique moderne et contemporain du diagnostic archéologique de 2011/2012 (dessins : Chhavy-Cyril TAN et Juliette GRALL).	78
Figure 75 : Localisation des scories découvertes lors du diagnostic de 2011/2012.	79
Figure 76 : Les deux zones de sépultures.	80
Figure 77 : Nombre de sépultures par mètre linéaire au sein de chaque groupe de sépultures.	81
Figure 78 : Cartographie des différents types d'architectures funéraires.	82
Figure 79 : Nombre d'individu(s) dans chaque fosse de sépulture : individus en position primaire et redéposé(s).	83
Figure 80 : Lieux de découverte des fragments de vases funéraires.	84
Figure 81 : Localisation des individus bien, moyennement et mal représentés.	85
Figure 82 : Répartition des individus immatures.	86
Figure 83 : Comparaison de la structure de la mortalité des adultes entre les deux cimetières.	87
Figure 84 : Localisation des adultes masculins et féminins.	88
Figure 85 : Localisation des individus présentant une ou plusieurs pathologies.	89
Figure 86 : Détail, sur un squelette type, du nombre de pathologies identifiées par grandes régions osseuses.	90
Figure 87 : Conservation dentaire.	91
Figure 88 : Cimetière du haut Moyen-Âge, nombre de pertes ante-mortem (PAM) pour chaque dent.	92
Figure 89 : Cimetière du haut Moyen-Âge, état dentaire - nombre de caries (dents déciduales et définitives), moyenne d'usure, de dépôt de tartre et de parodontose (dents définitives).	92
Figure 90 : Cimetière du haut Moyen-Âge, hypoplasies de l'émail dentaire - décompte et rapport entre nombre total d'hypoplasies et nombre de dents conservées.	93
Figure 91 : Cimetière médiéval et moderne, état dentaire - nombre de caries (dents déciduales et définitives), moyenne d'usure, de dépôt de tartre et de parodontose (dents définitives).	93
Figure 92 : Cimetière médiéval et moderne, hypoplasies de l'émail dentaire - décompte et rapport entre nombre total d'hypoplasies et nombre de dents conservées.	94
Figure 93 : Contextes de découverte des ossements erratiques (localisation).	95
Figure 94 : Ossements erratiques - nombre de restes par contexte de découverte.	96
Figure 95 : Vue de l'ossuaire F16014.	97
Figure 96 : Sépultures ayant fait l'objet de datations radiocarbone et proposition de phasage des zones d'inhumation (Tranches 1 et 2 de travaux).	98
Figure 97 : Analyse archéologique des phases d'inhumation, sur une section de la rue Trochet (tronçon ouest/est) (secteur 1) (Tranche1).	99
Figure 98 : Plan diachronique interprétatif des vestiges archéologiques et du bâti médiéval, à Candes-Saint-Martin.	100
Figure 99 : Hypothèses de restitutions de l'évolution de Candes-Saint-Martin, par phases chronologiques (1/2).	101
Figure 100 : Hypothèses de restitutions de l'évolution de Candes-Saint-Martin, par phases chronologiques (2/2).	102

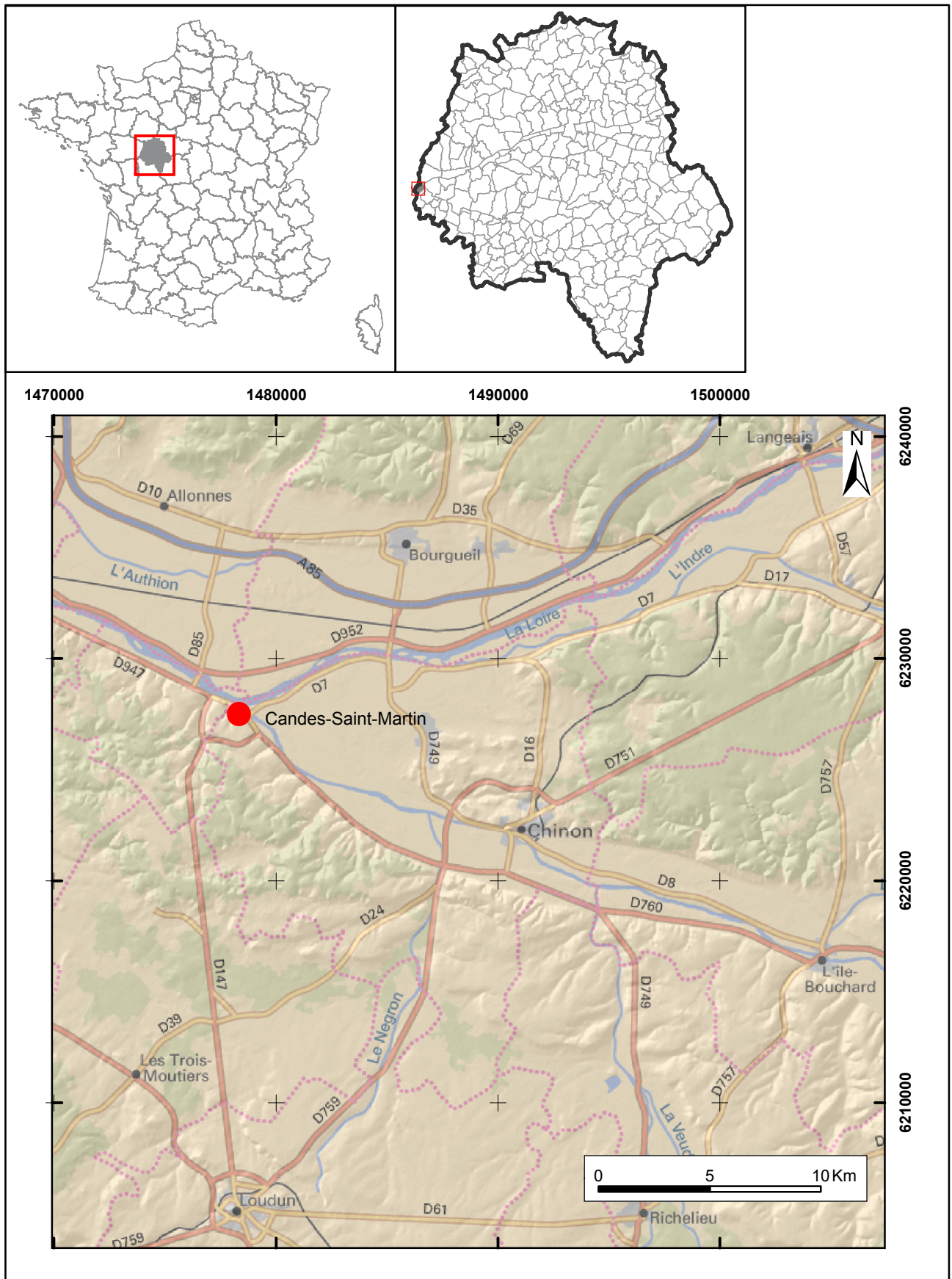


Figure 1 : localisation de l'opération sur la carte topographique au 1/250 000.

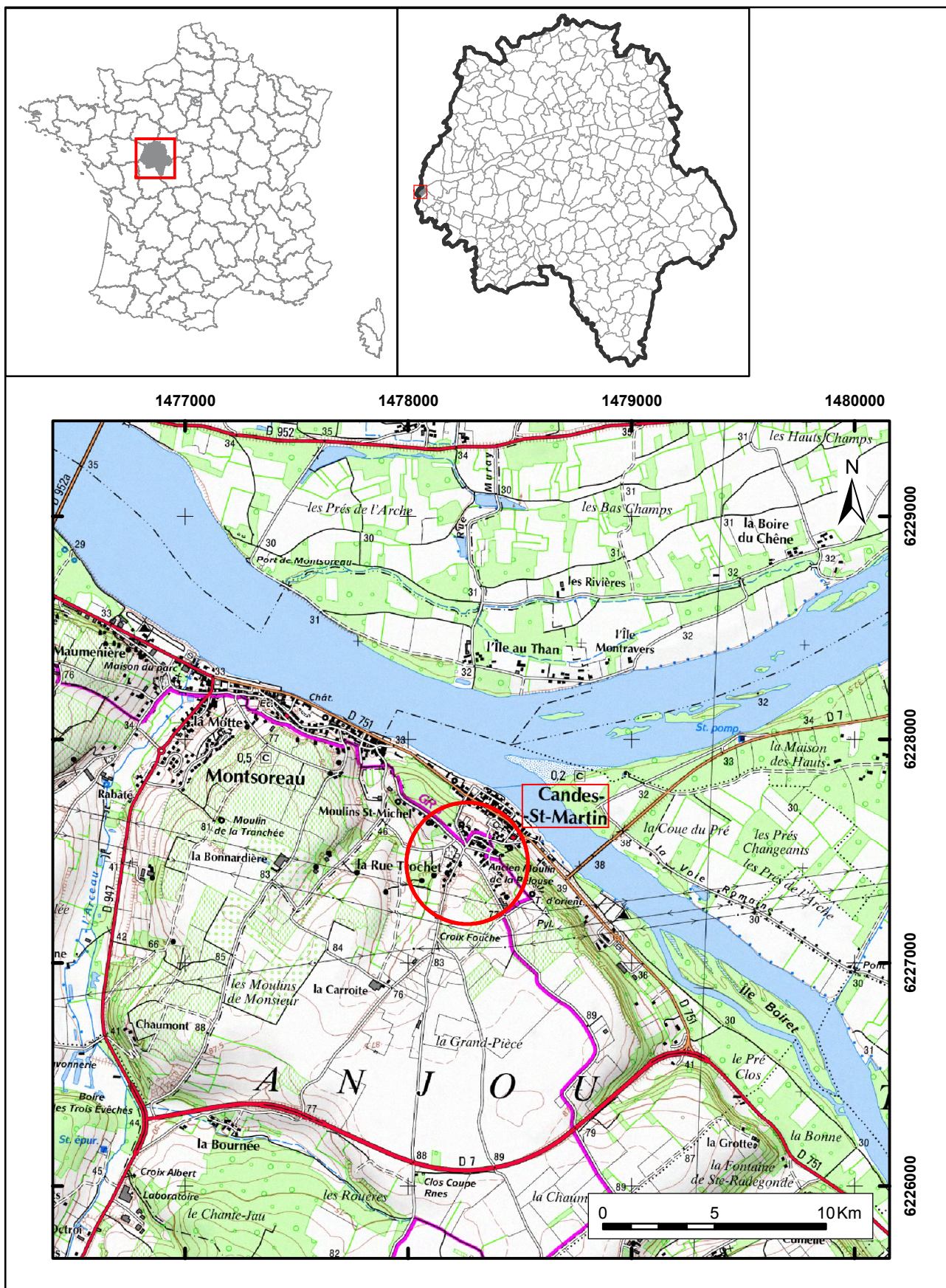


Figure 2 : Localisation de l'opération sur la carte topographique au 1/25 000 (© IGN Paris - Scan 25 - 2005 - Autorisation de reproduction n° 2006/CUDC/0186).



Figure 3 : Localisation de l'opération (Tranches 1 et 2) sur fond de photographie aérienne.

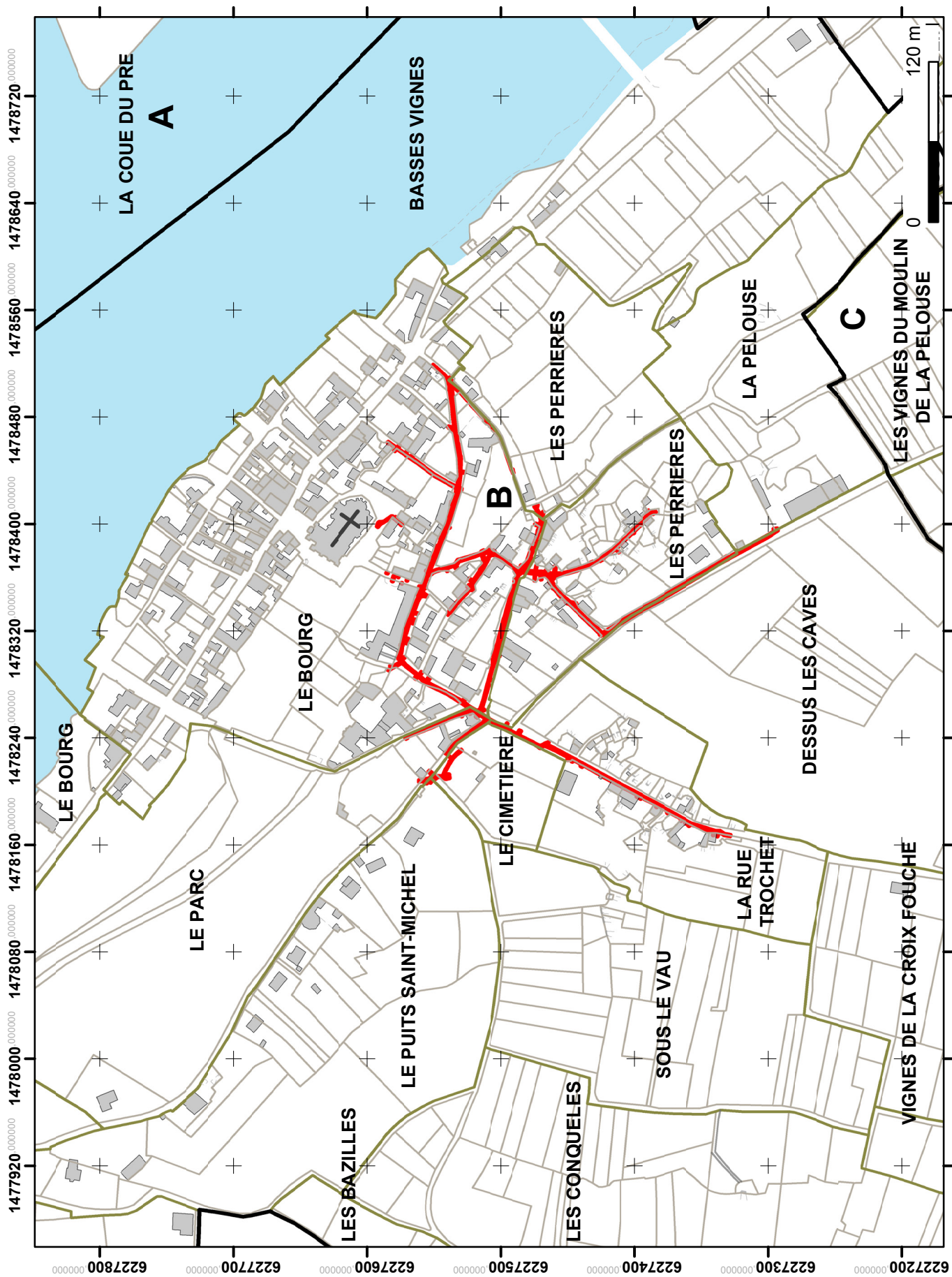


Figure 4 : Localisation du site sur le fond cadastral, avec carroyage principal : Lambert 93 CC47
(Copyright Direction Générale des Impôts)

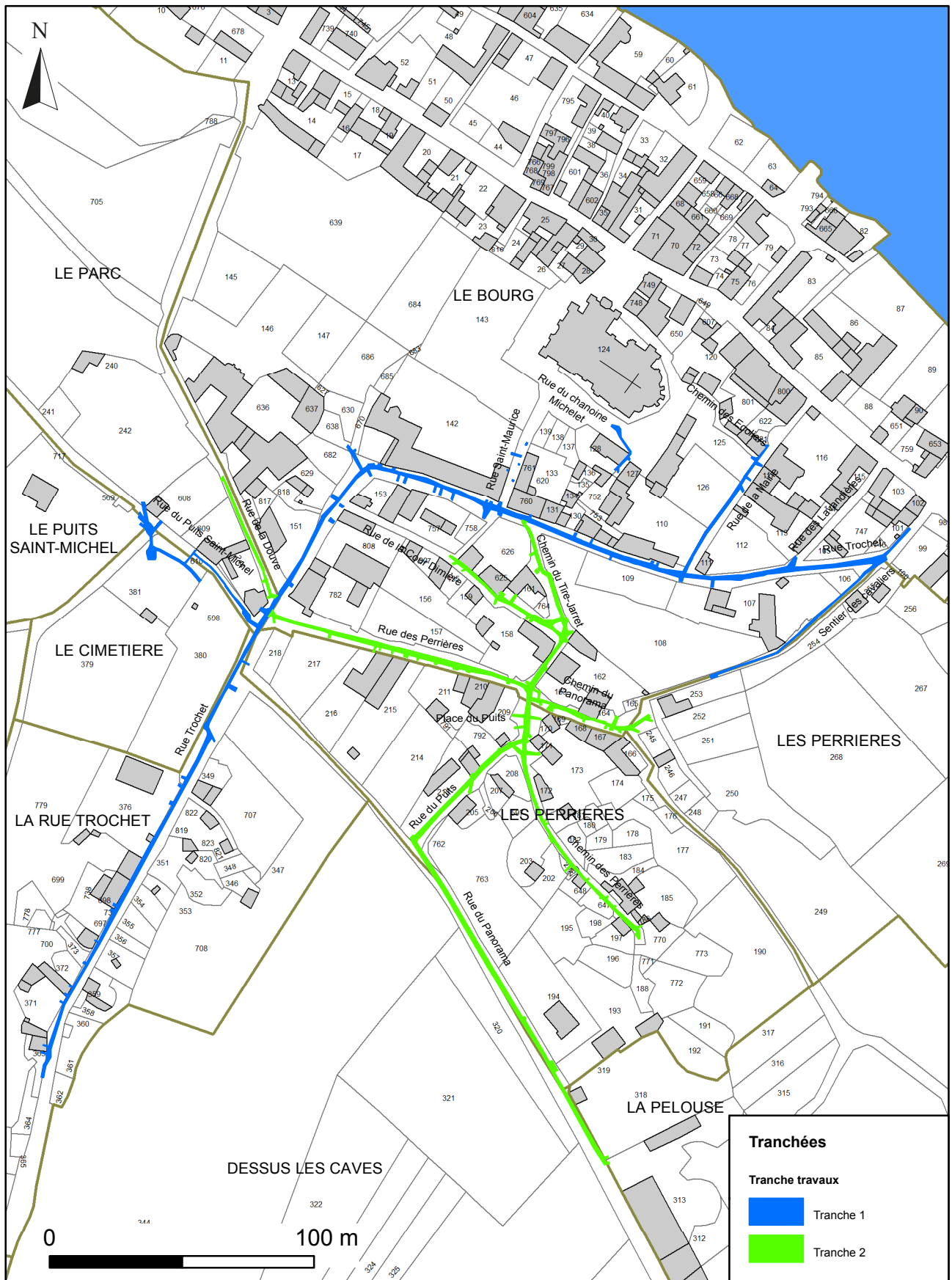


Figure 5 : Emprise des deux tranches de travaux sur un extrait cadastral.

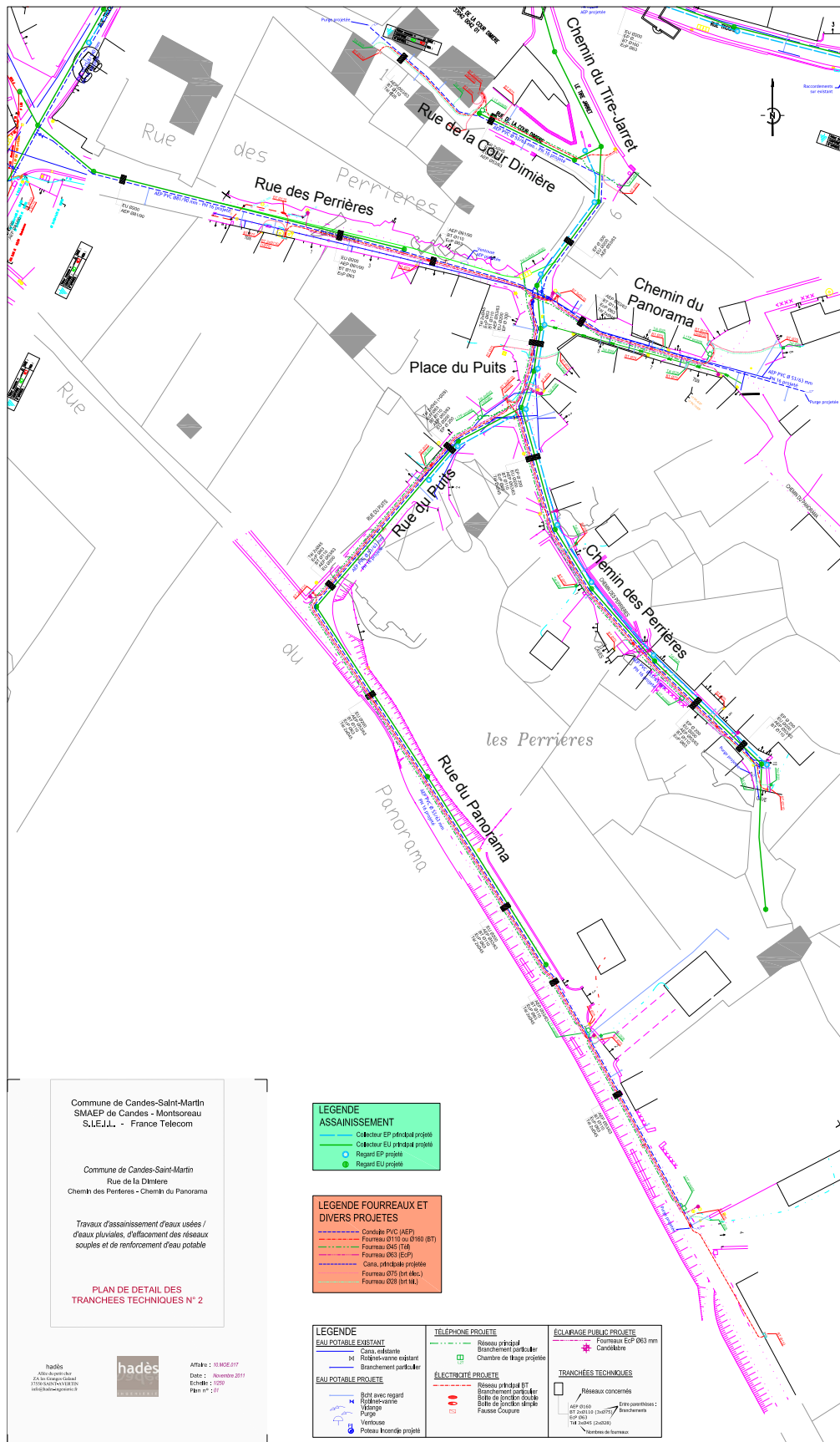


Figure 7 : Plan de détail des tranchées techniques (partie est) N° 2 (tranche 2 de travaux d'assainissement) (source : Hadès).

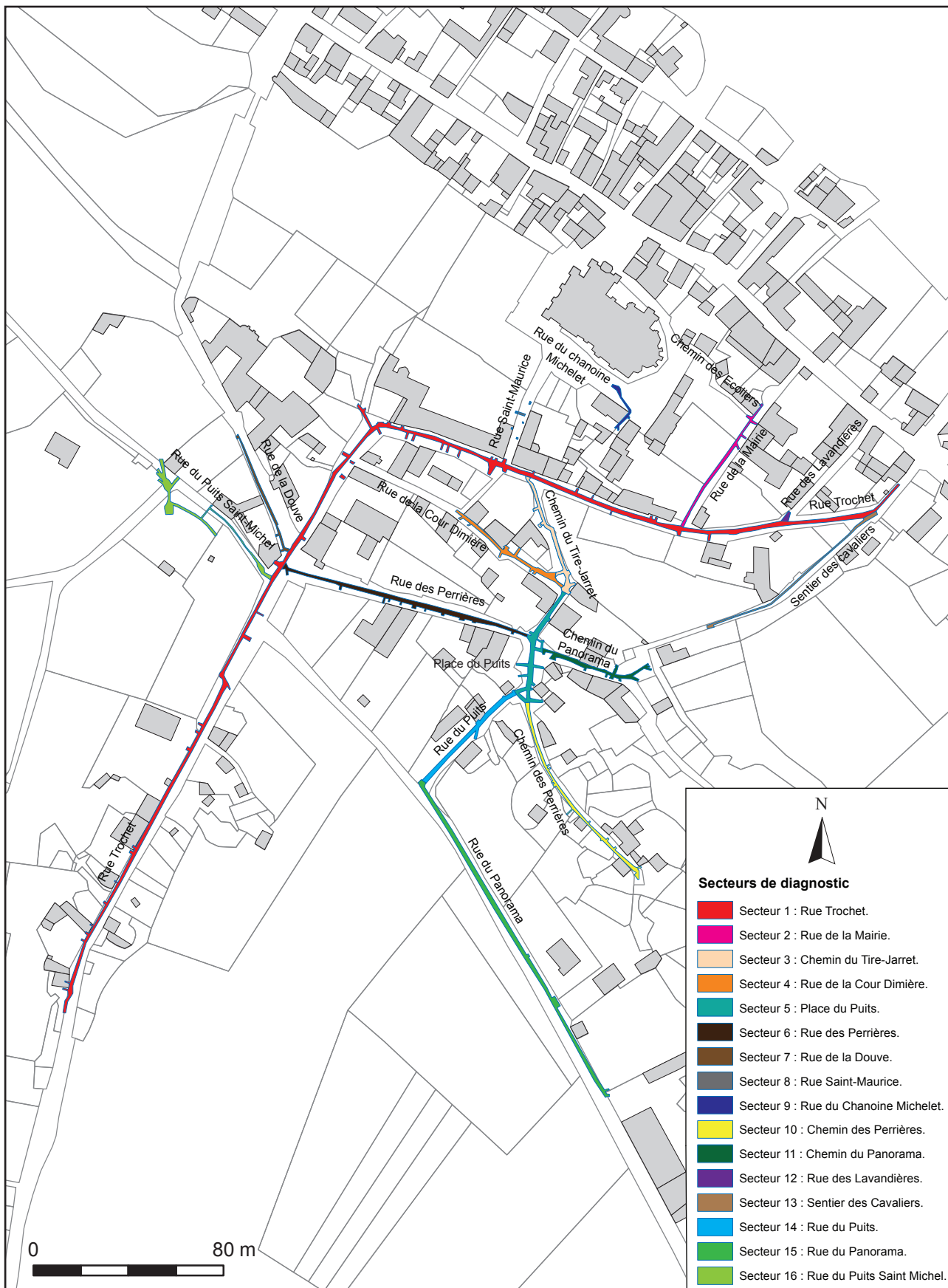


Figure 8 : Plan de délimitation des différents secteurs du diagnostic : tranches 1 et 2.

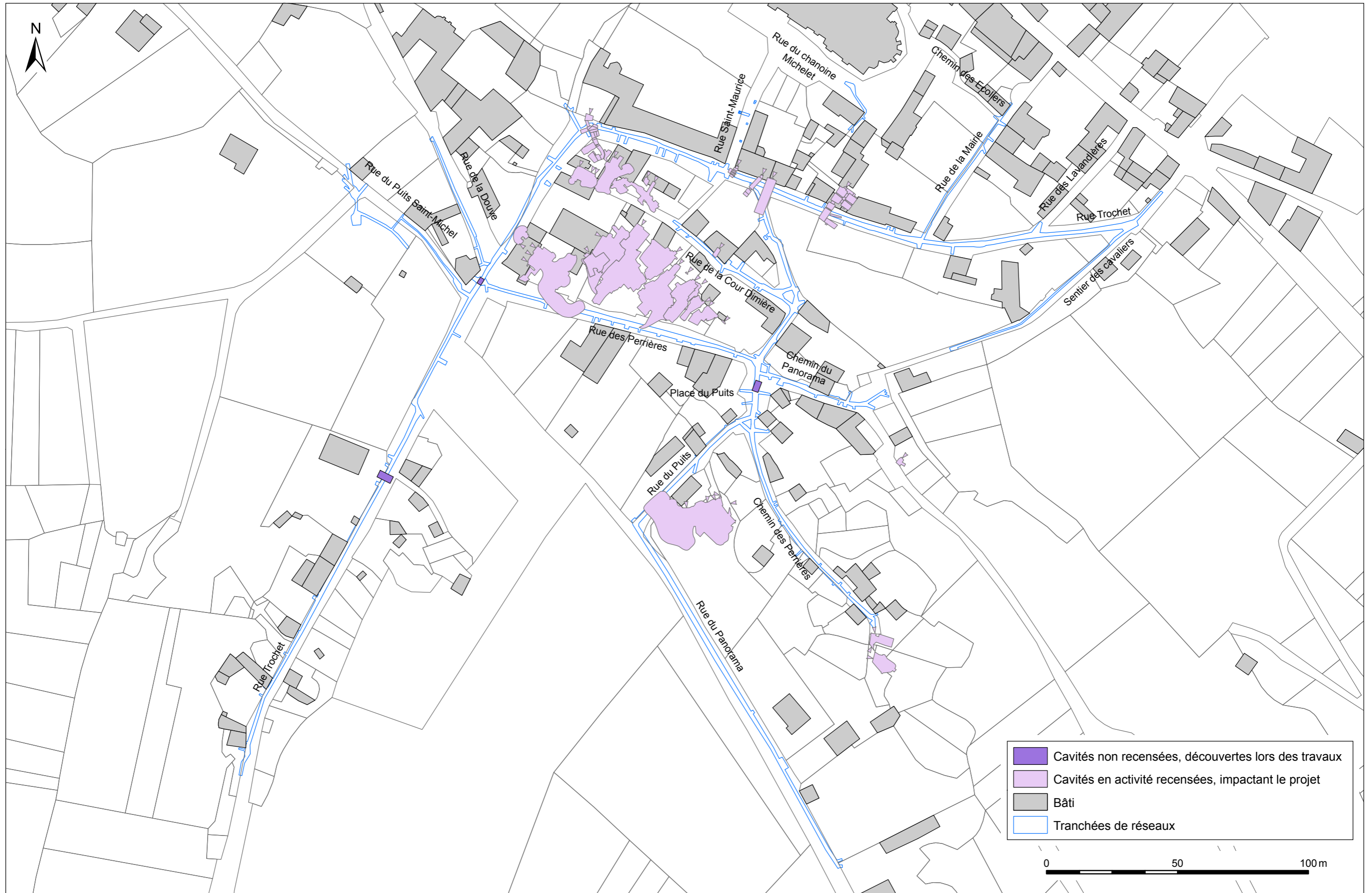


Figure 9 : Plan de localisation des cavités souterraines impactant le projet de réseaux d'assainissement (Source : SI CAVITES 37 et Arnault, Leotot 2009).



Intempéries et ruissellement dans les tranchées.



Percement de réseaux existants.



Etroitesse et pavage des rues.



Pendage du terrain et passage sous voûtes de très faible hauteur.



Pendage du terrain et pavage du Chemin du Tire-Jarret.



Risques d'éboulements rocheux dus aux vibrations des engins mécaniques.



Percement de cavités sous voirie.

Figure 10 : Les nombreuses contraintes de terrain rencontrées sur la commune de Candes-Saint-Martin.

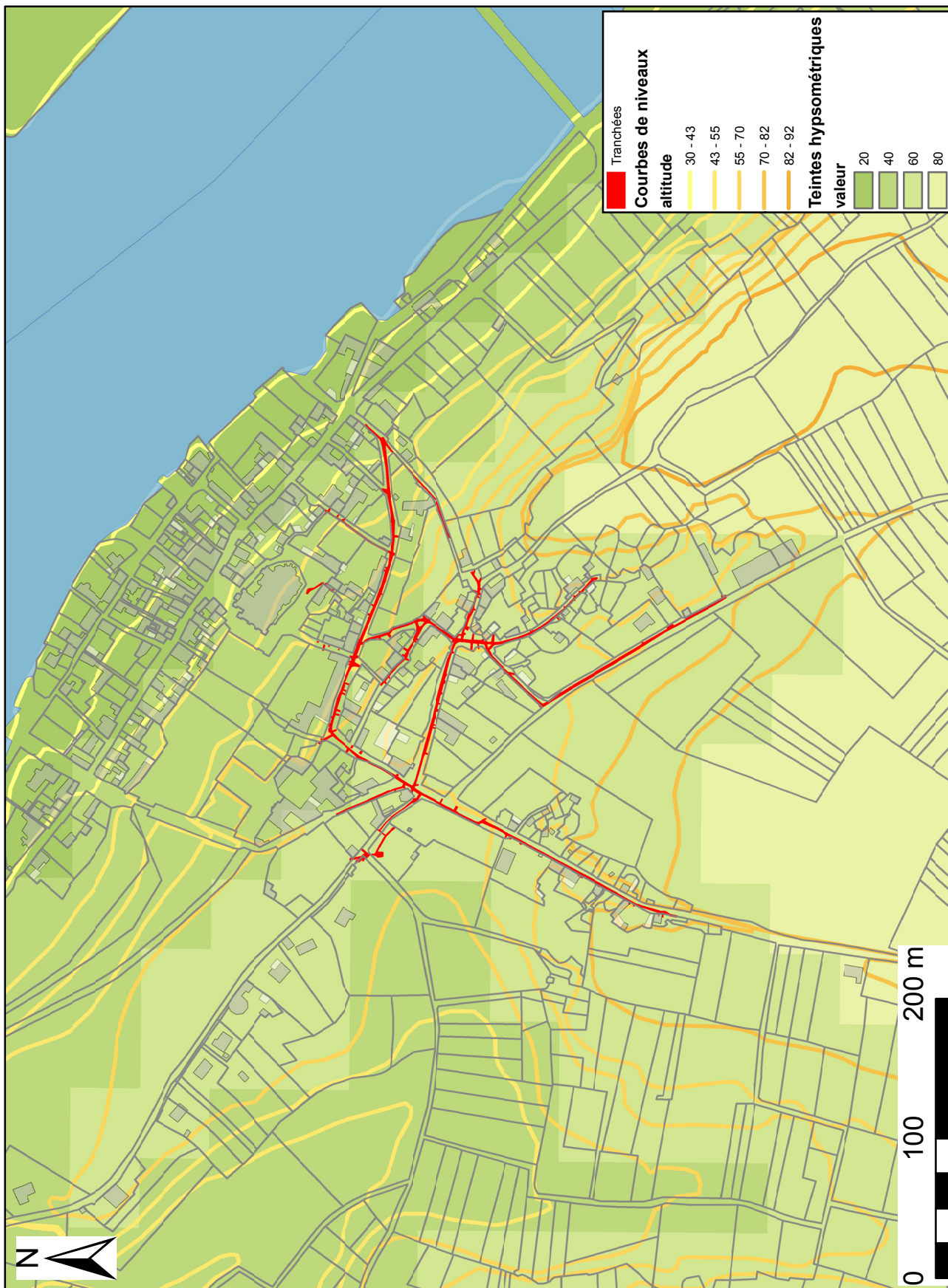


Figure 11 : Courbes de niveaux et relief sur la commune de Candes-Saint-Martin (source de données : IGN BD Alti © ; Courbes de niveaux ; Relief).



Figure 12 : Localisation de l'opération, reportée sur la carte géologique. D'après Alcaydé (1978). Carte géologique Fr. 1/50 000, feuille de Chinon (feuille n° 486, BRGM, SGN). Vectorisation TAN Chhavy-Cyril/SADIL/2012.



Figure 13 : Emprise du projet sur un extrait du cadastre Napoléonien, commune de Candes-Saint-Martin (section B, du bourg).

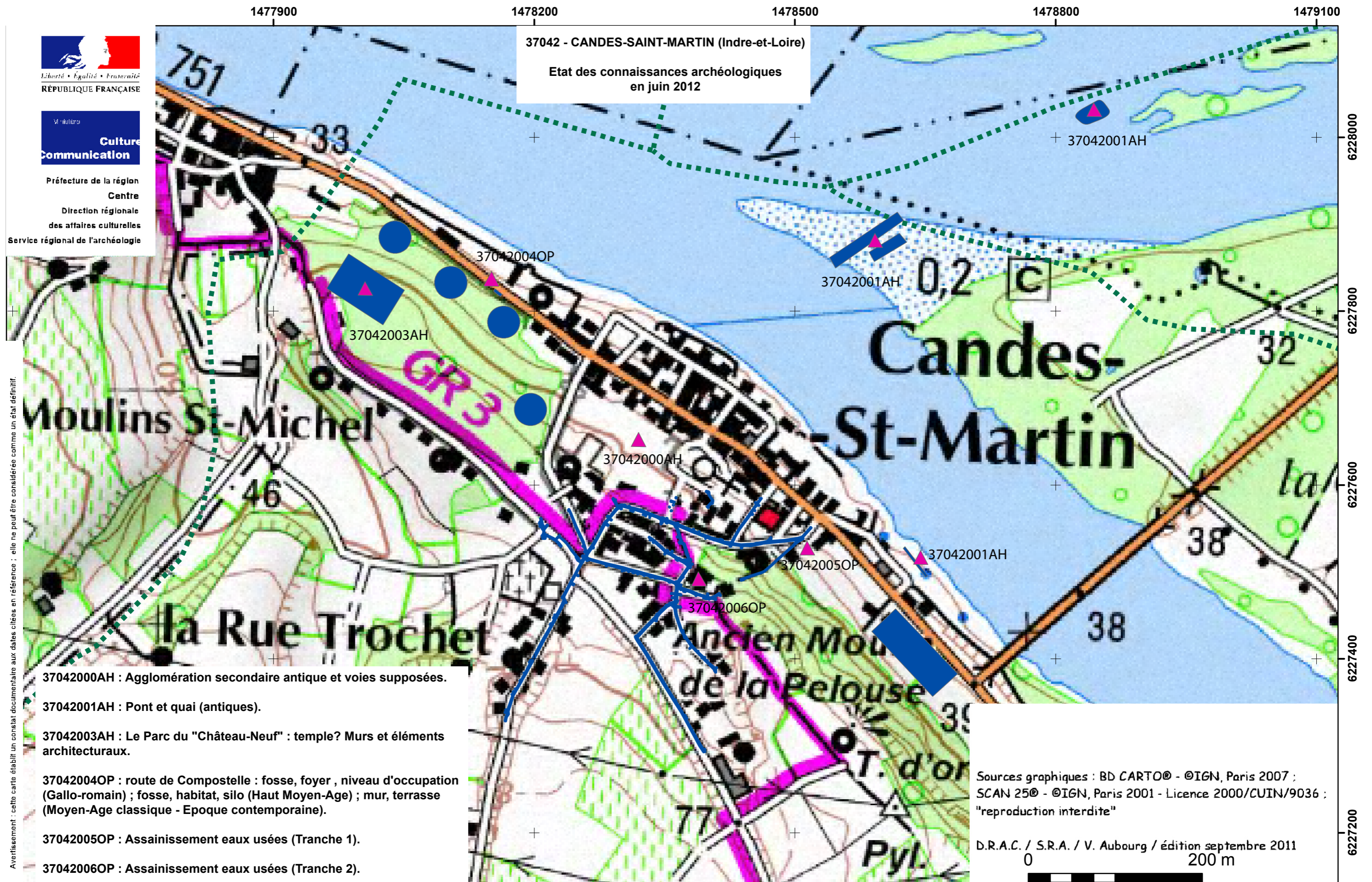


Figure 14 : Localisation des interventions archéologiques (en bleu) et des sites archéologiques (triangles roses), sur un extrait de la carte archéologique nationale (DRACAR), centre de la commune de Candes-Saint-Martin (source de données : Bases de données Patriarche D.R.A.C./S.R.A./V. Aubourg - septembre 2011).

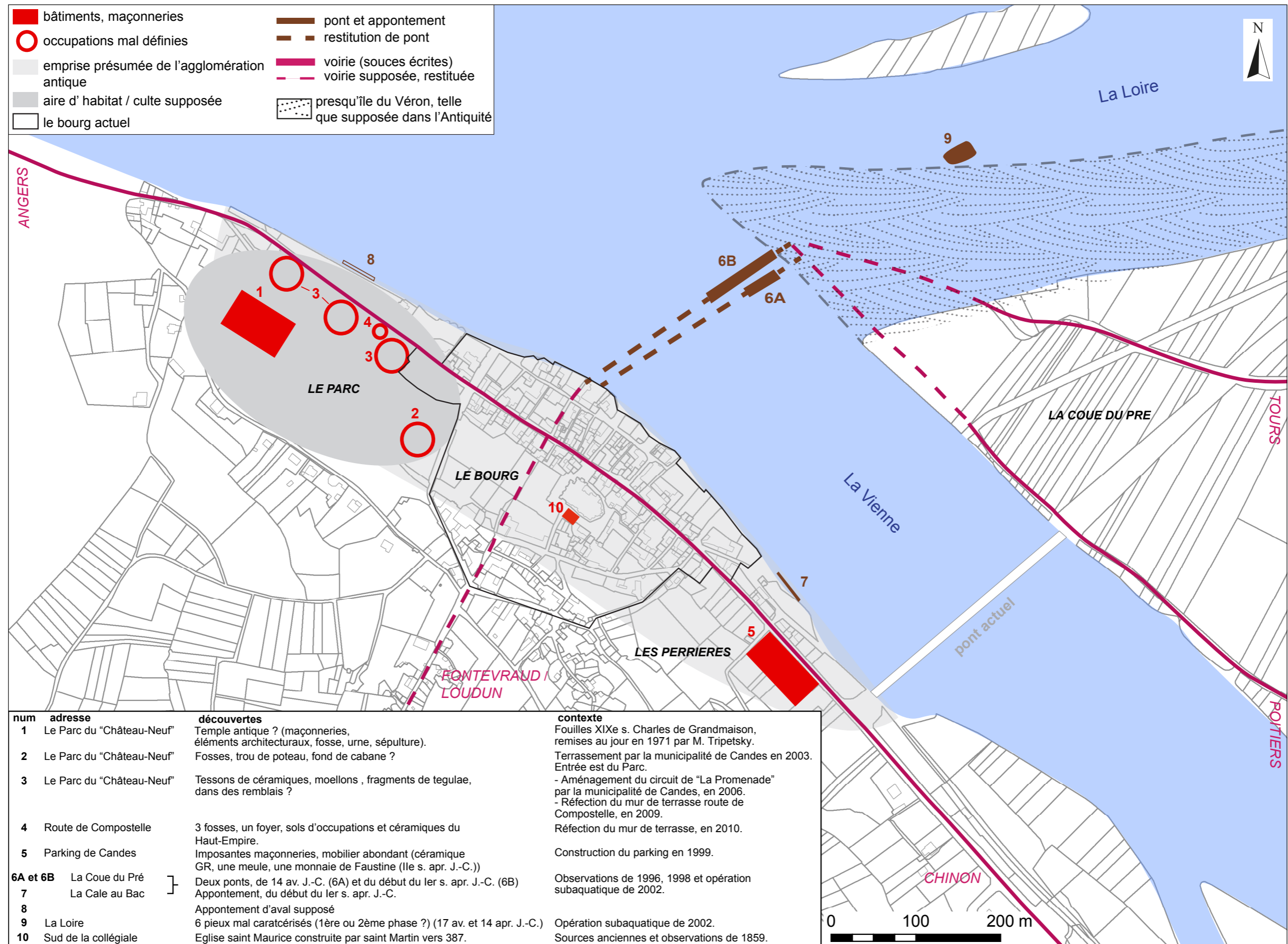


Figure 15 : Proposition de plan de l'agglomération antique de Candes-Saint-Martin : vestiges archéologiques avérés et supposés.



Figure 16 : Positionnement topographique des pieux des deux ponts, dans la Vienne et dans la Loire, sur fond de photographie aérienne, redressée sous *Photoplan* (Cliché : J.-P. Lecompte ; DAO : J.-F. Mariotti, SRA Poitiers).

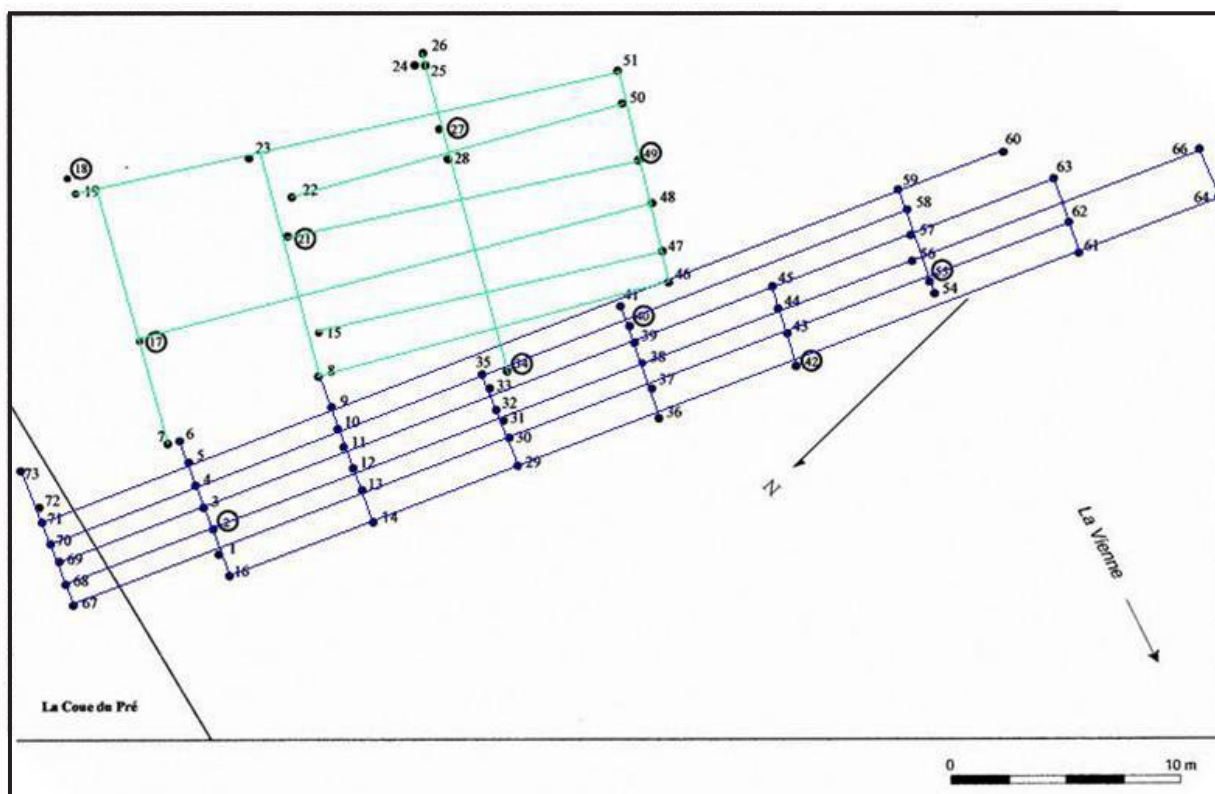


Figure 17 : Plan des lignes de pieux dans la Vienne et espacement entre les travées du premier pont antique de Candes (en vert) et du second pont (en bleu) (Lecompte, Courtoux 2011).

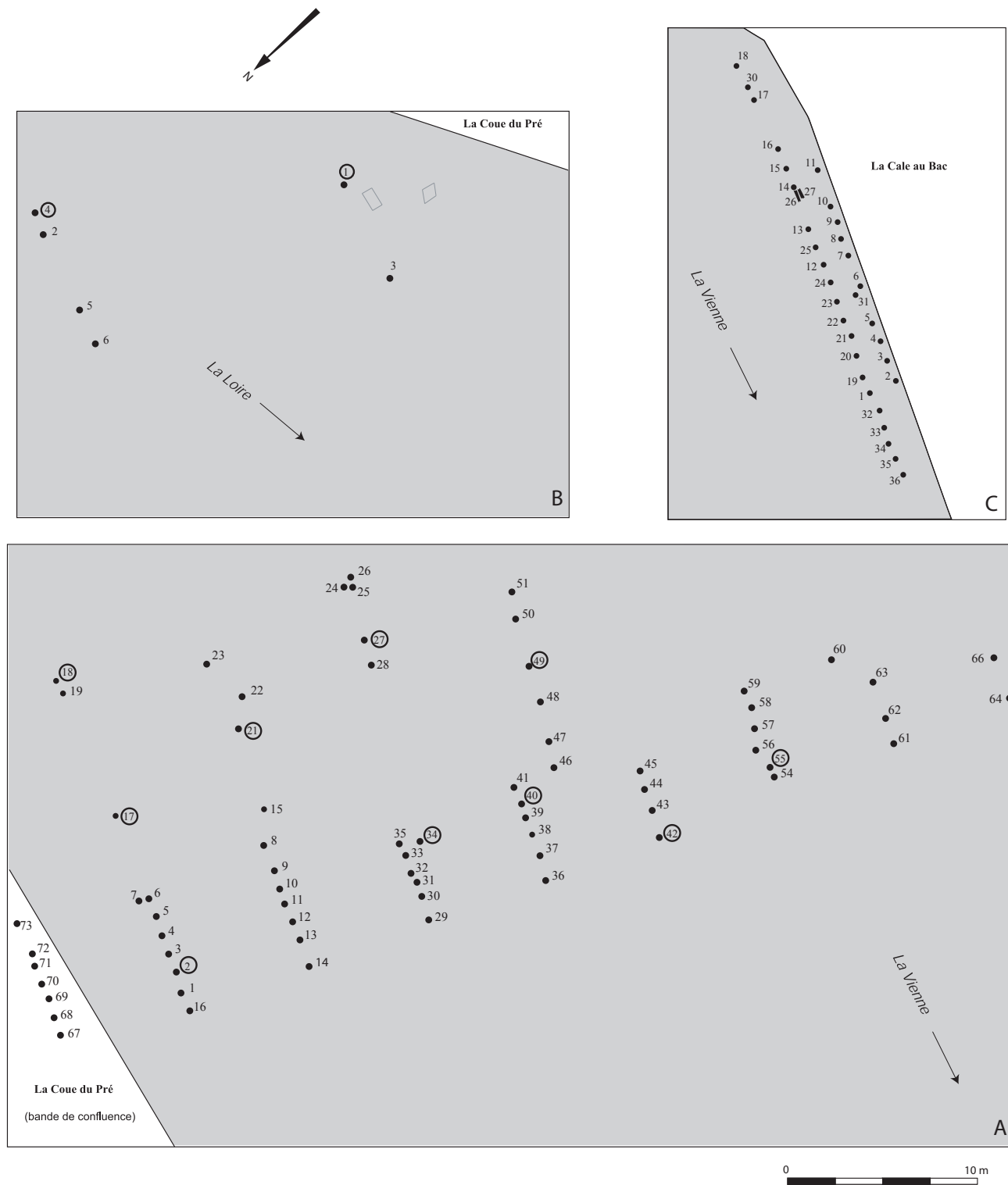


Figure 18 : Plans de détail des pieux découverts à Candes-Saint-Martin (DAO : J.-F. Mariotti, A. Dumont, Gh. Macabéo). A : lit de la Vienne, rive droite ; B : lit de la Loire, rive gauche ; C : lit de la Vienne, rive gauche (aménagement de berge antique) (Dumont *et al.* 2007).

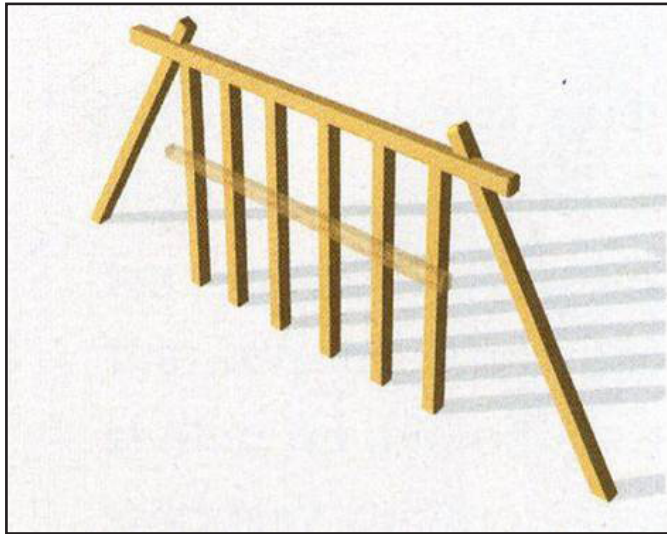


Figure 19 : Eléments de comparaison et hypothèses de restitution du premier pont antique de Candes. Pont du « Rondet 1 », sur la Broye, en Suisse, sur le site de La Tène, mis en chantier vers 7 de notre ère (Pillonel 2007).

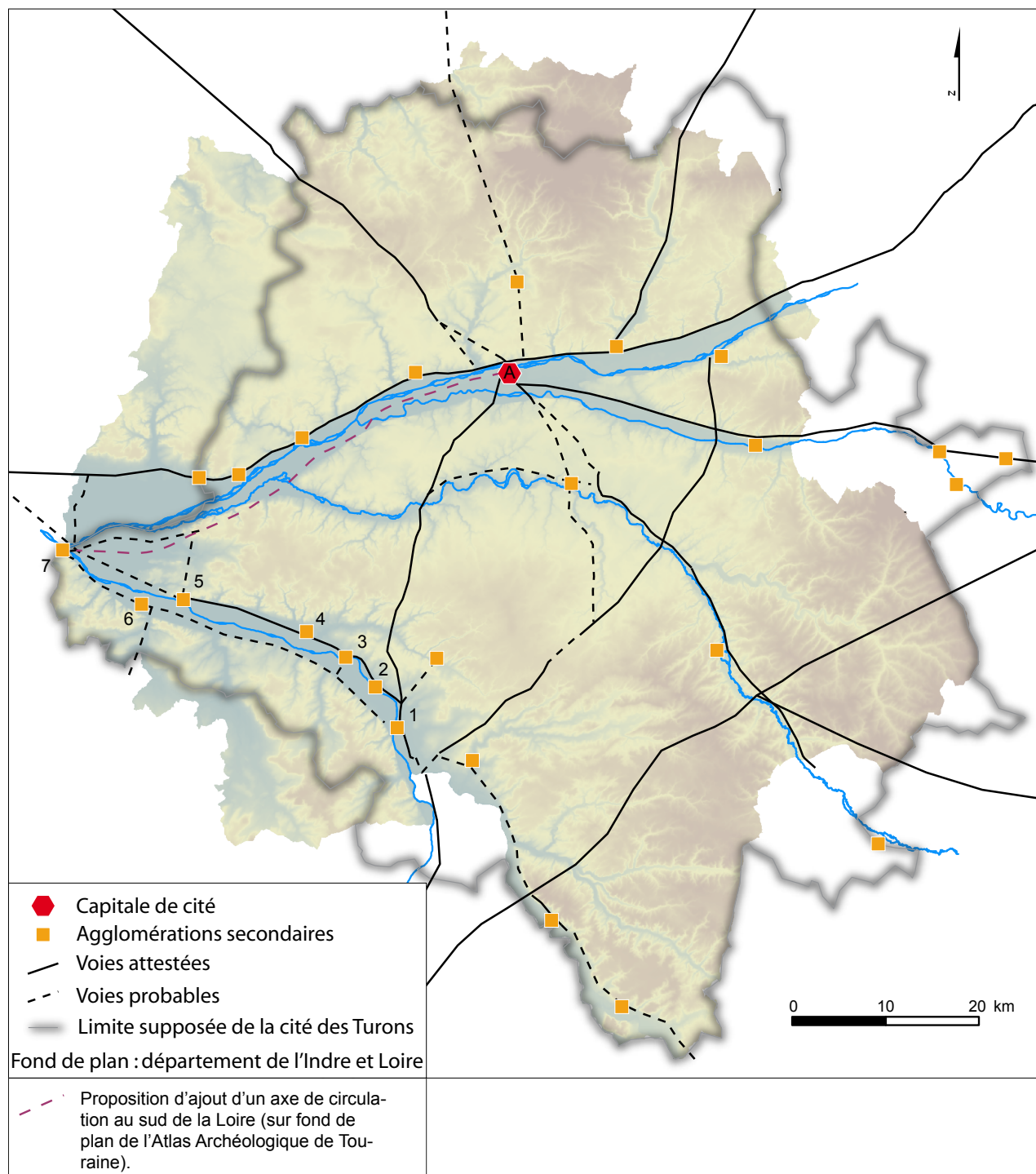


Figure 20 : Carte de localisation des agglomérations secondaires antiques, ainsi que des voies de communication principales de la cité des Turons (Source : d'après Hervé 2008 ; Cribellier, Ferdière 2012 : CRIBELLIER (C.), FERDIÈRE (A.). - Agglomérations secondaires antiques en région Centre. Actes de la Table ronde d'Orléans. Tours : FERACF, 2012, 187 p. (Suppl. à la *Revue Archéologique du Centre de la France* ; 42). Fond de plan Atlas Archéologique de Touraine, UMR 7324 Citeres-LAT). A : Tours-Caesarodunum ; 1 : Nouâtre ; 2 : Pouzay-Trogues ; 3 : Cruzilles-« Mougou » ; 4 : Panzoult ; 5 : Chinon ; 6 : Cinais ; 7 : Candes-Saint-Martin).

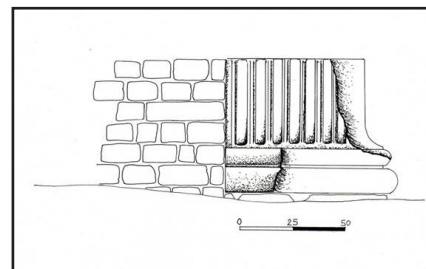
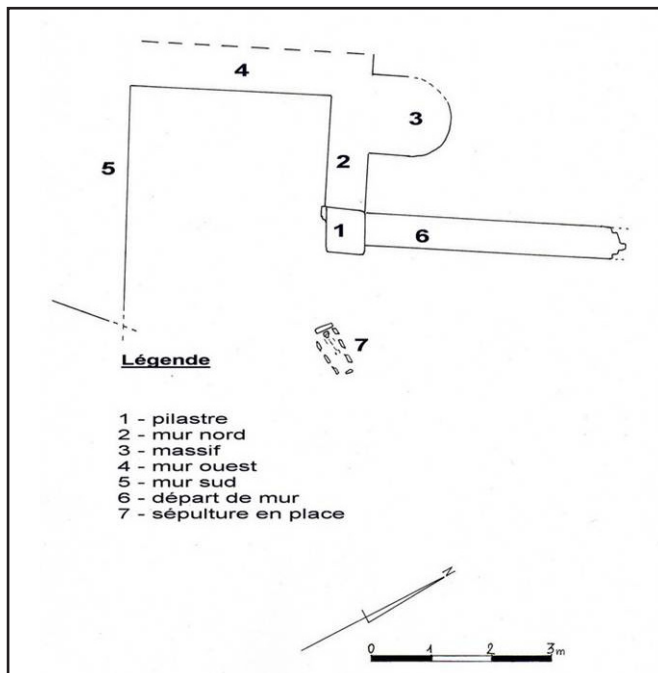
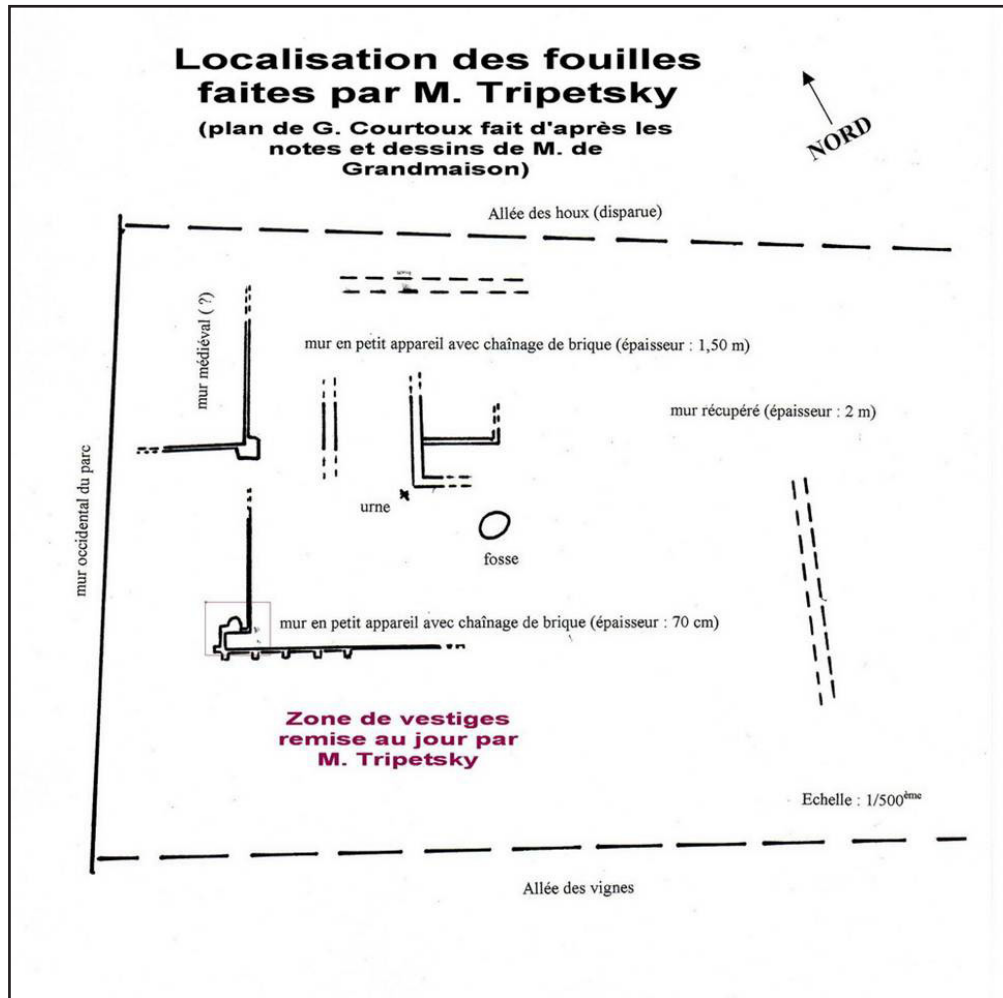


Figure 21 : En haut : localisation des fouilles faites par M. Tripetsky (en 1971), plan de Gilles Courtoux d'après les notes et dessins de M. de Grandmaison (1859) ; en bas : plan des structures visibles (détail du plan général), dessin d'un pilastre cannelé (DAO : J.-P. Lecompte et Gilles Courtoux), photographie d'éléments sculptés (Gilles Courtoux) (Lecompte 2006 : 26-38).



«Maison de la Garnison», rue Trochet (XIIIe s. ?), défendant la porte de Torché (ou de Terché) de la cité fortifiée.



Rue de la Douve, le fossé d'enceinte longeant le rempart de la cité fortifiée au XIIIe s.



Mur de rempart et «Tour l'Enfant» (1490 ?) ou Tour d'Aubigny, flanquant la porte l'Enfant (ou porte du château).



Mur de rempart de la cité fortifiée médiévale, rue des Perrières.



Mur de rempart appuyé sur l'éperon rocheux de tuffeau calcaire, rue des Perrières (extrémité Est).

Figure 22 : Principaux vestiges et bâtiments, illustrant l'ancienne cité médiévale fortifiée de Candes-Saint-Martin.



La Collégiale Saint Martin (XIIe - XIIIe s.). Façade du transept nord où se fait l'accès principal.



Entrée du «Château-Vieux» (rénovée), rue Saint Maurice. Résidence des Archevêques de Tours.



Porche d'entrée du bras de transept nord. Colonnnette monolithe recevant la retombée des voûtes et niches trilobées garnies de statues en ronde-bosse.



La Prévôté (rues Trochet et Saint Maurice) (XVe - XVIIe s. ?), tribunal qui était présidé par un des chanoines de la Collégiale.



Charpente de l'Hôtel de la Prévôté.

Figure 23 : Photographies des principales habitations médiévale et Renaissance du centre bourg de Candes-Saint-Martin.

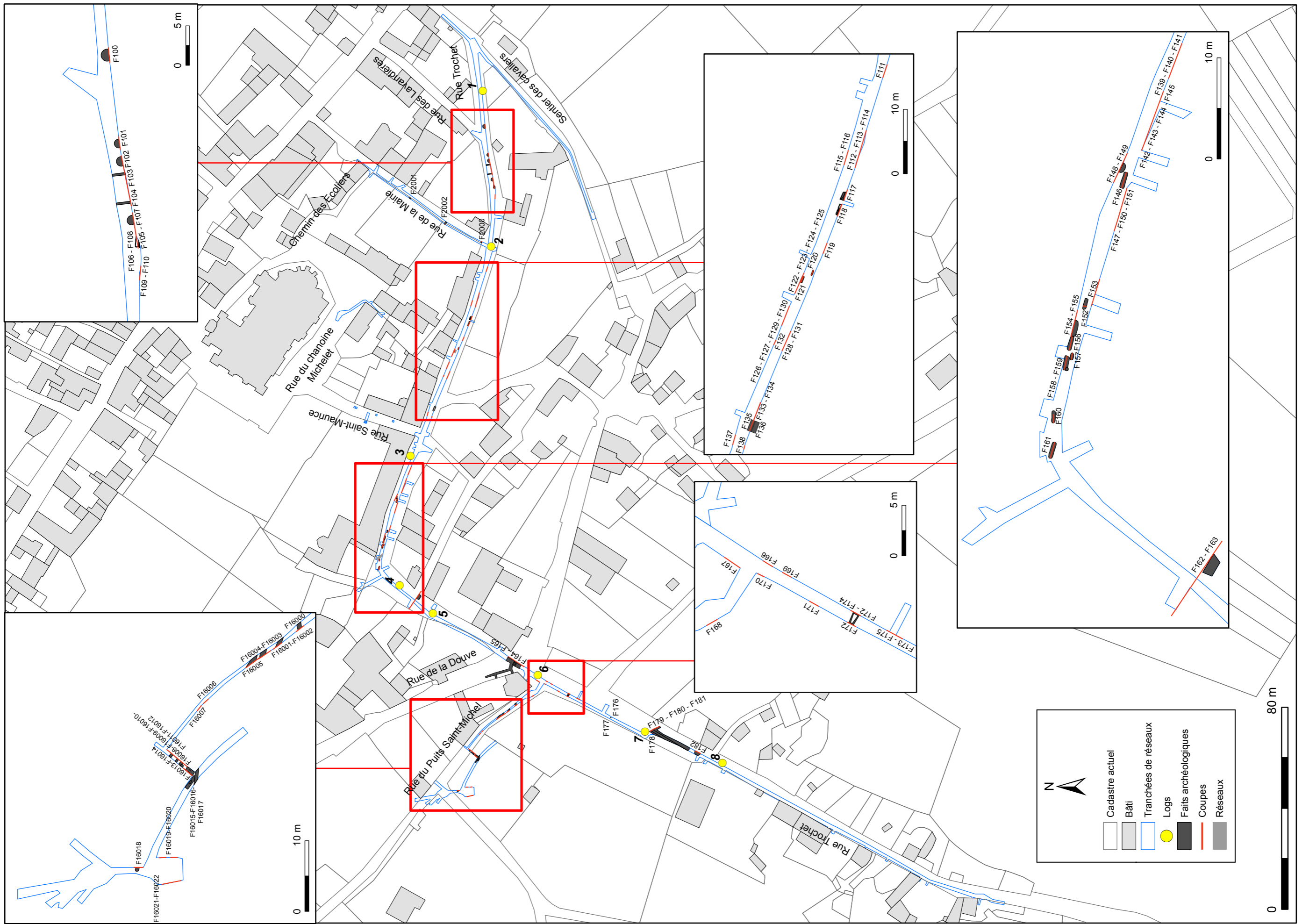


Figure 24 : Plan général des vestiges archéologiques de la tranche 1 de travaux.

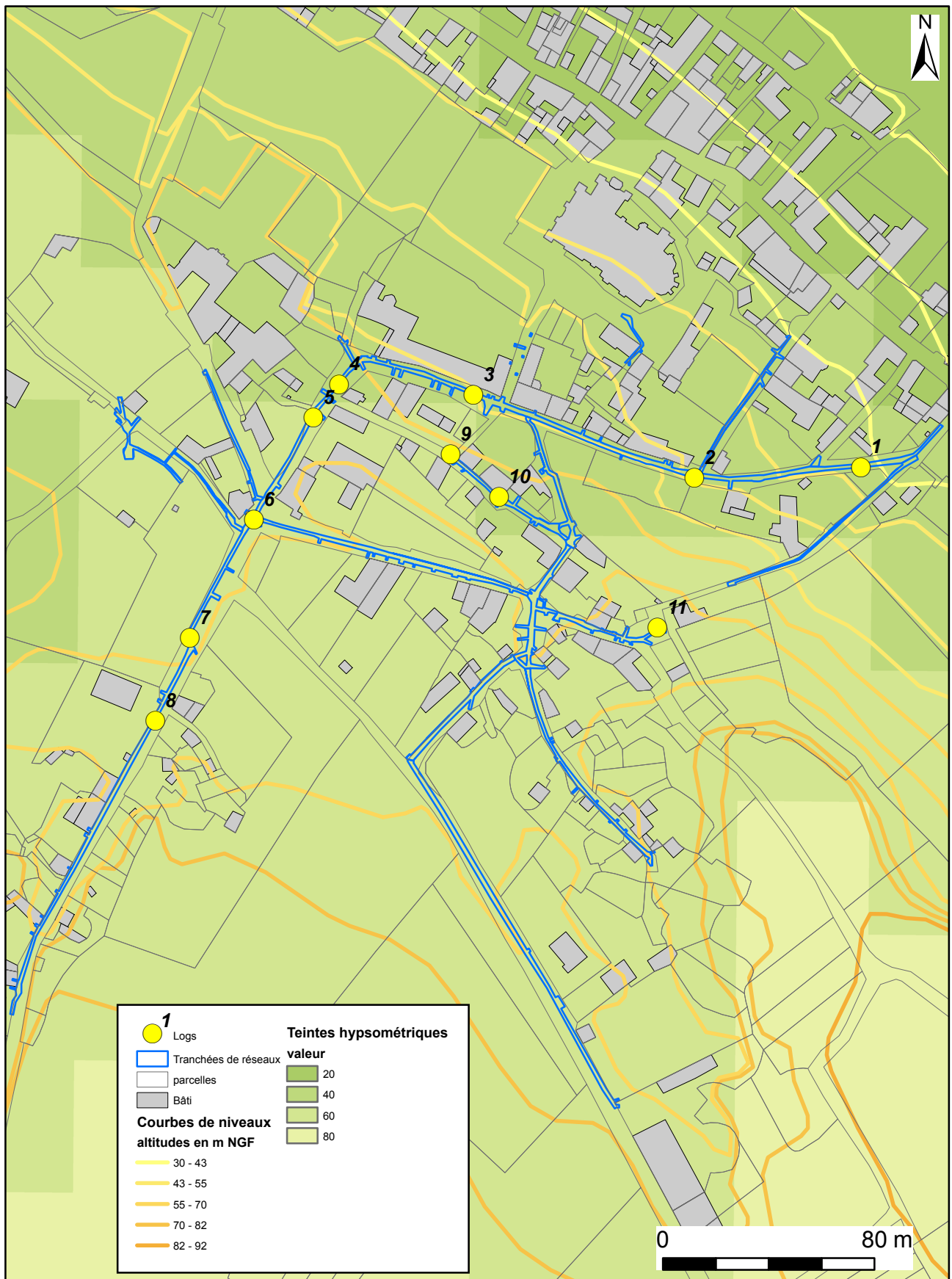


Figure 25 : Localisation des logs sur fond topographique.

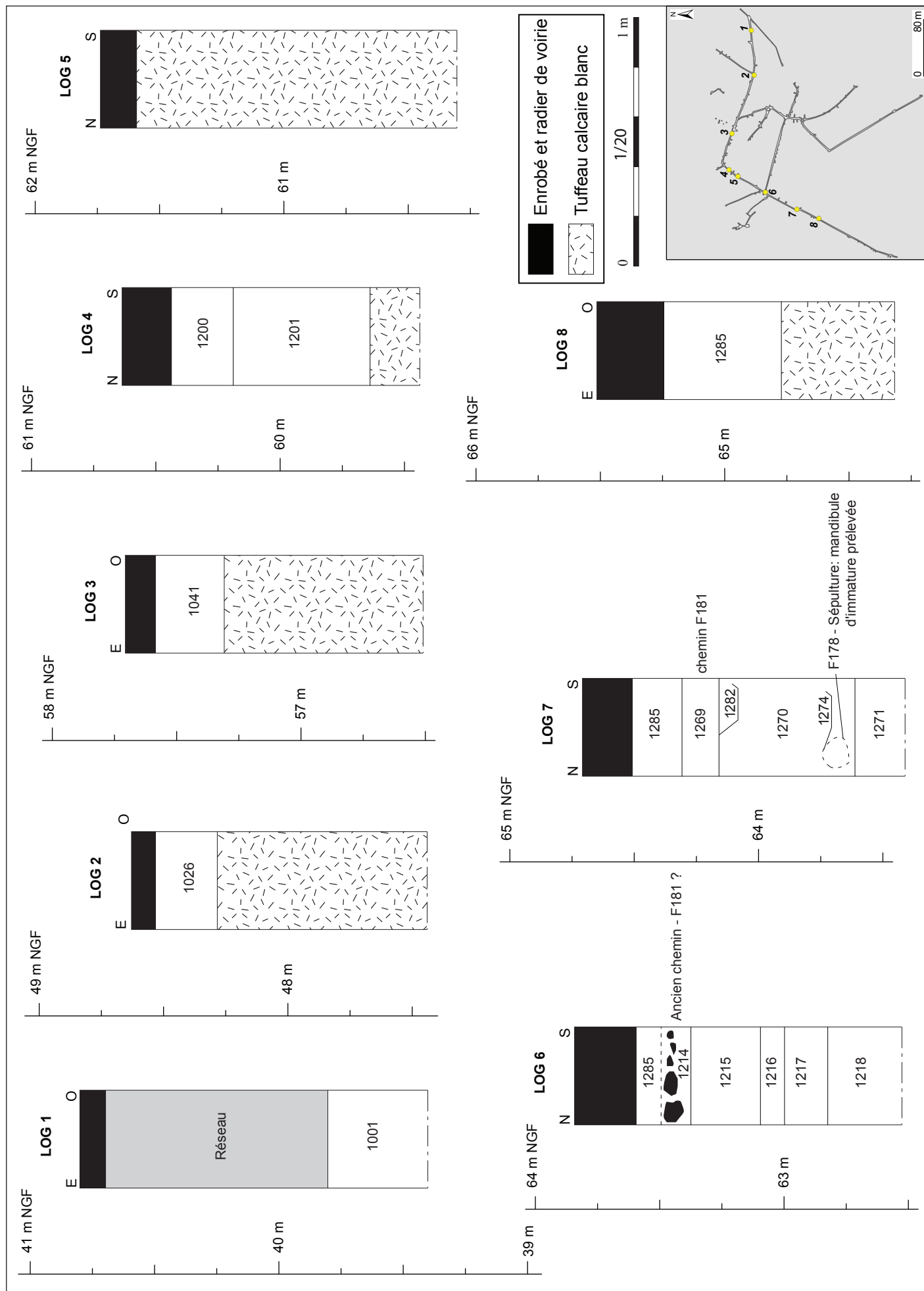


Figure 26 : Profils stratigraphiques (Logs 1 à 8) sur la tranche 1 de travaux de réseaux (rue Trochet).

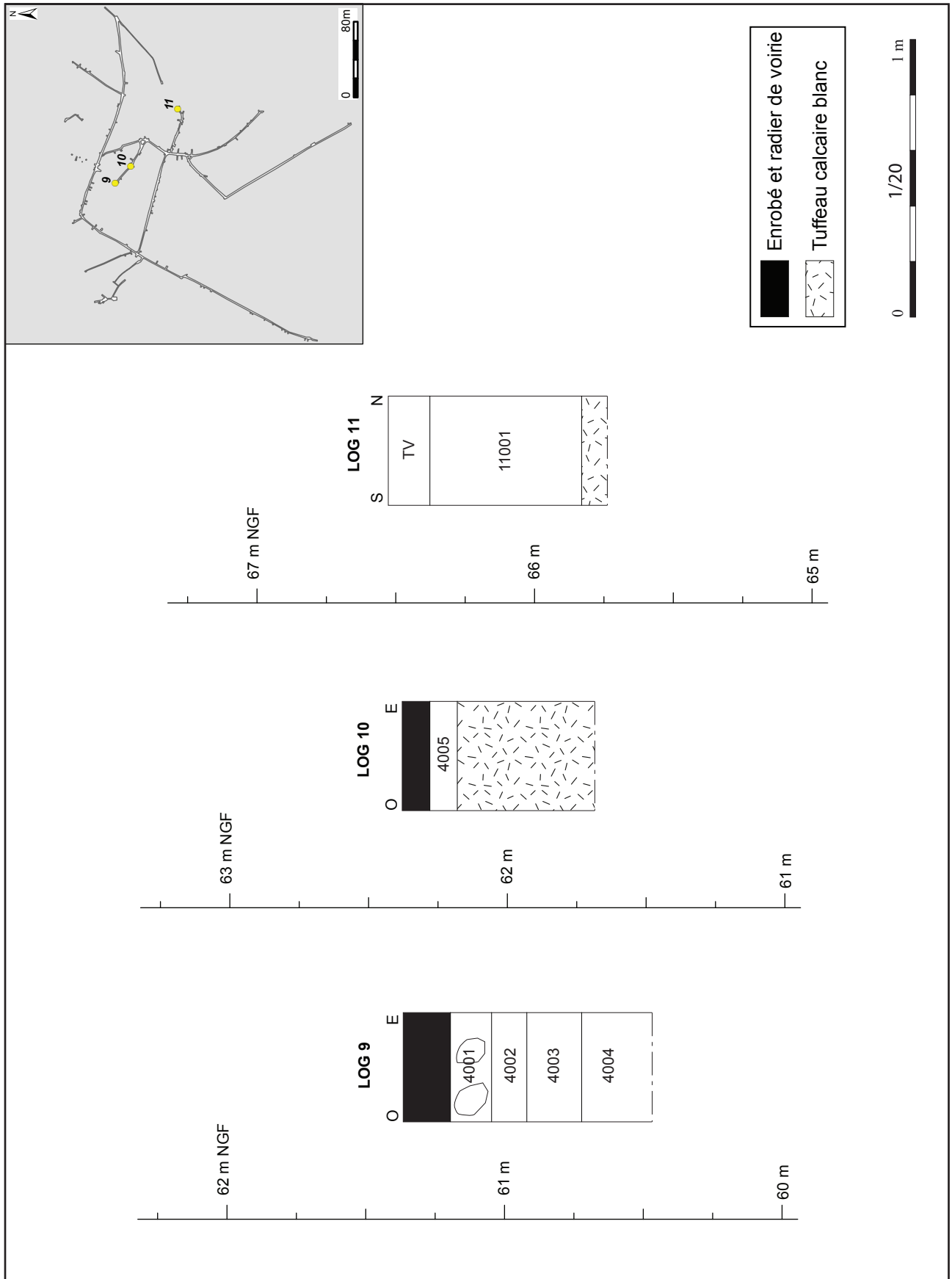


Figure 27 : Profils stratigraphiques (Logs 9 à 11) sur la tranche 2 de travaux de réseaux (rue de la Cour Dimière et Chemin du Panorama).

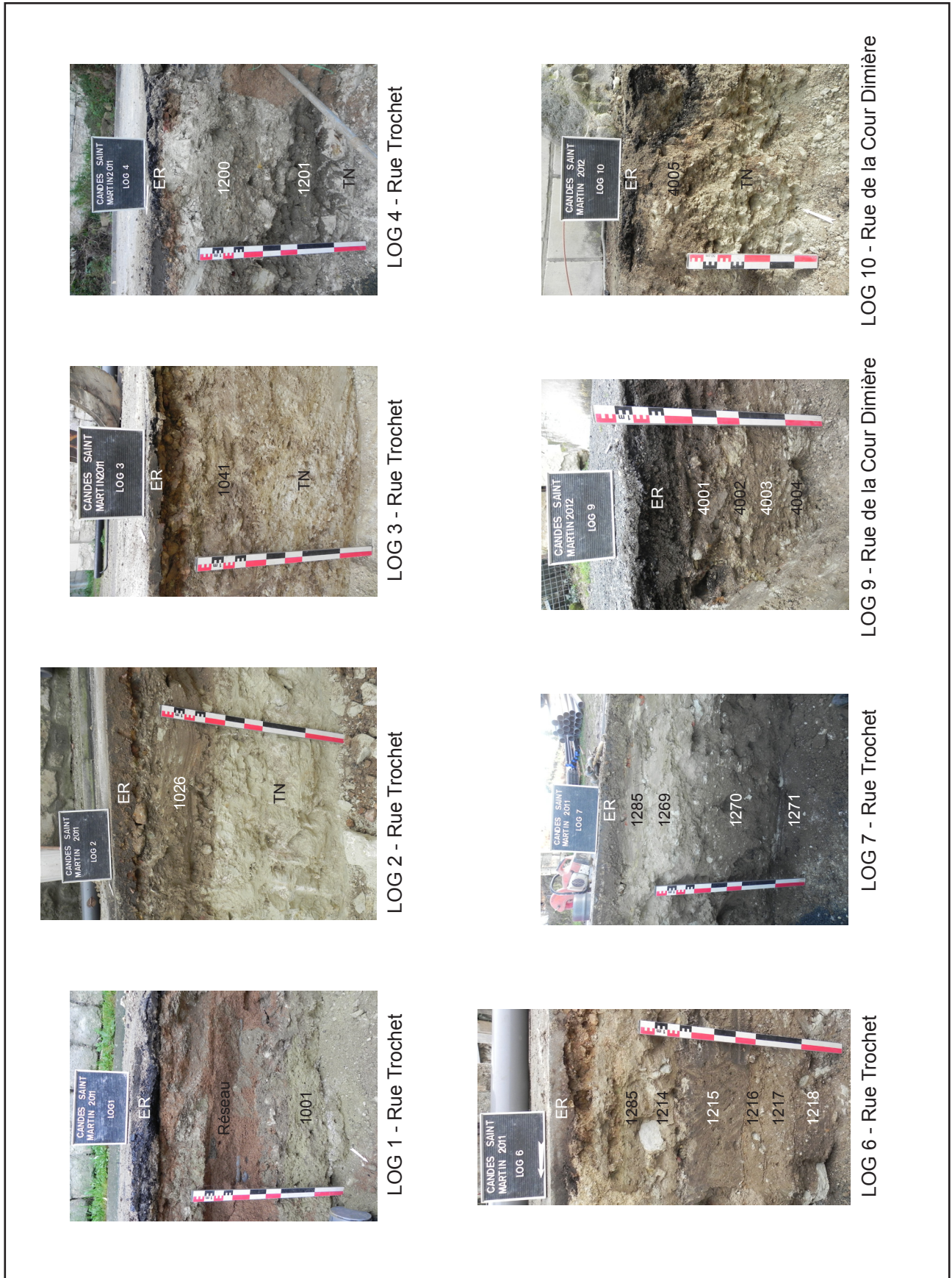


Figure 28 : Photographies des profils stratigraphiques (logs 1 à 11).

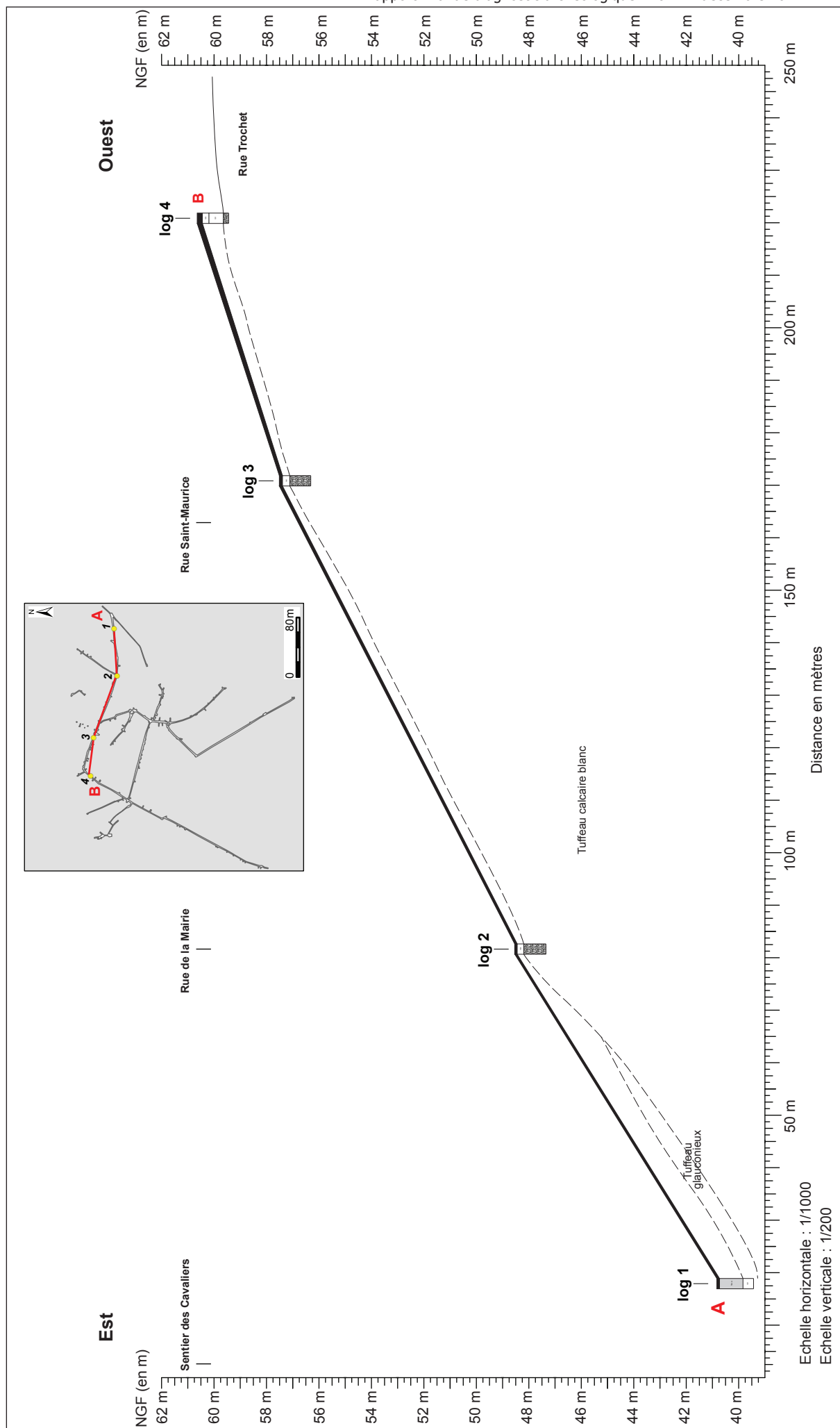


Figure 29 : Transect Est-Ouest sur la tranche 1 de travaux de réseaux, rue Trochet.

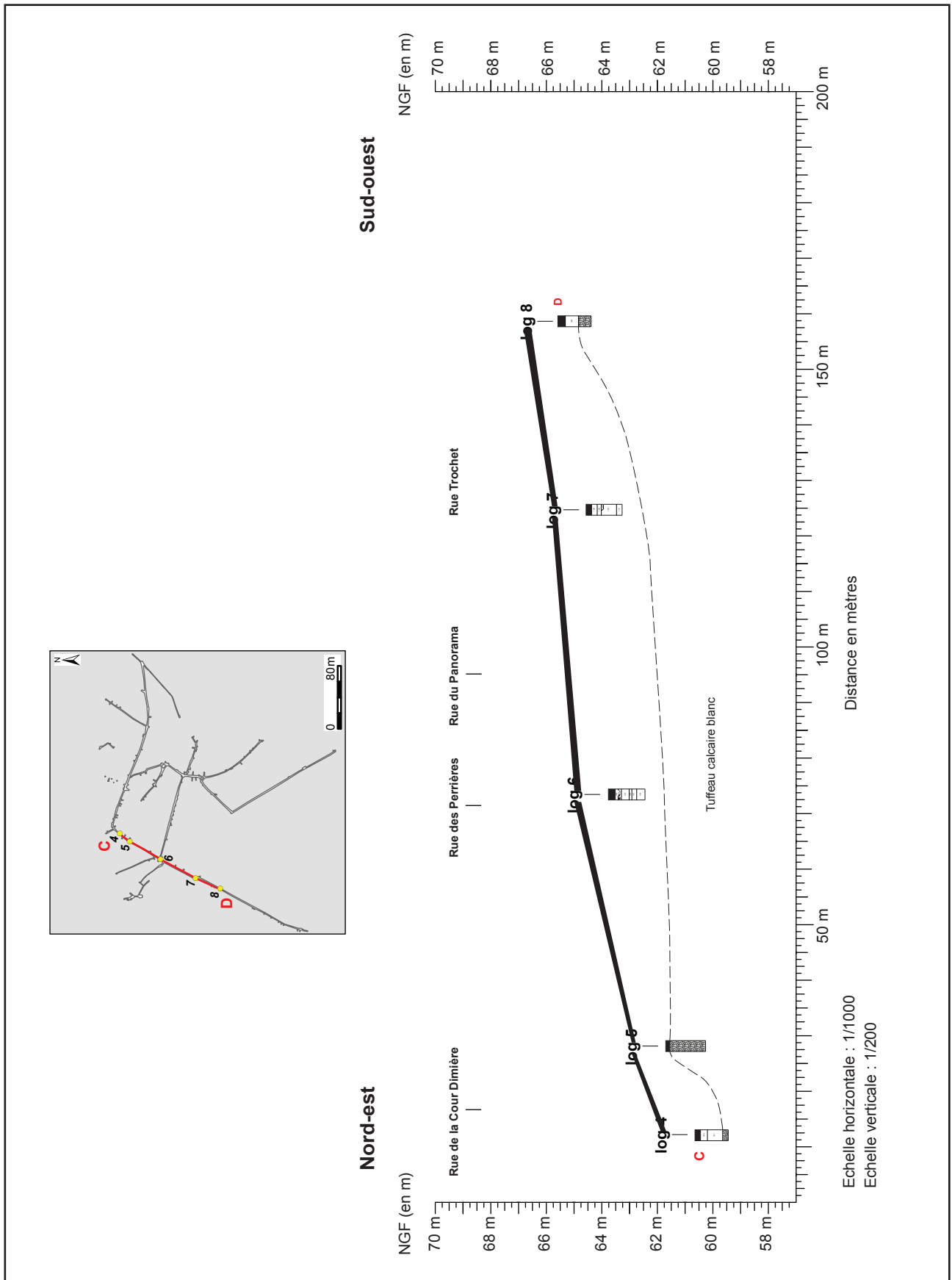


Figure 30 : Transect Nord-est / Sud-ouest sur la tranche 1 de travaux de réseaux, rue Trochet.

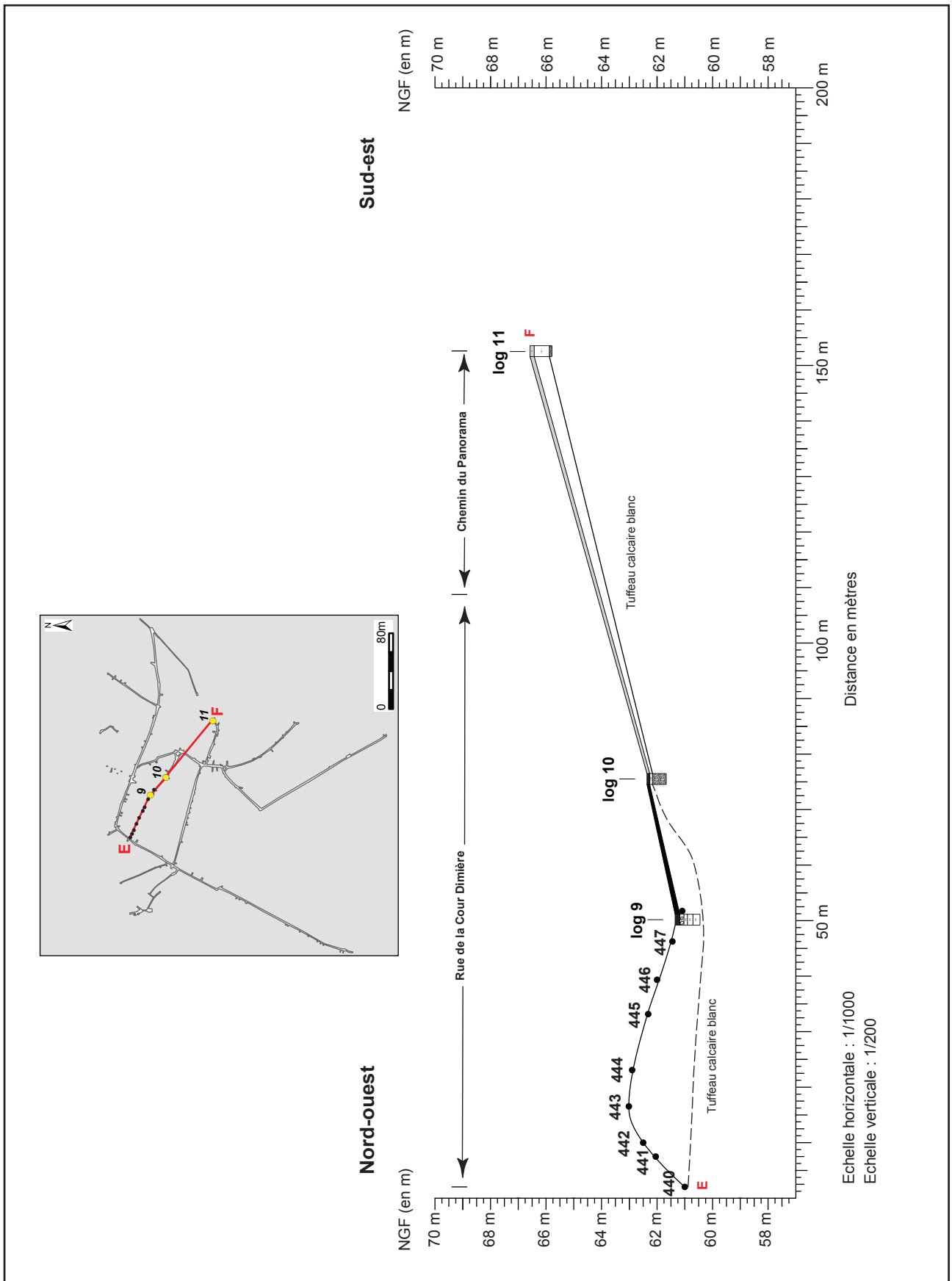


Figure 31 : Transect Nord-ouest / Sud-est sur la tranche 2 de travaux de réseaux, rue de la Cour Dimière et Chemin du Panorama.

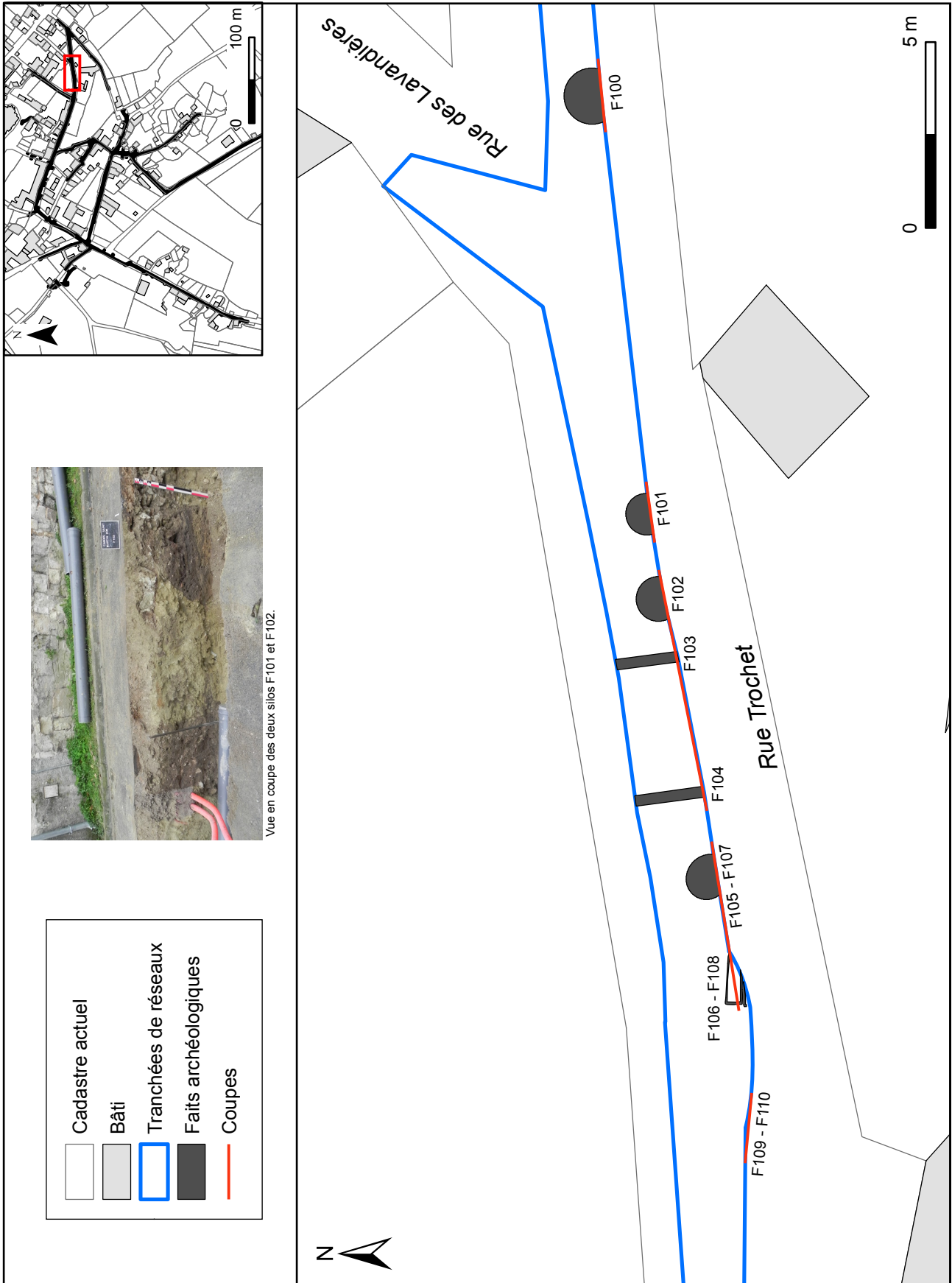


Figure 32 : Localisation des vestiges découverts rue Trochet (extrémité Est).

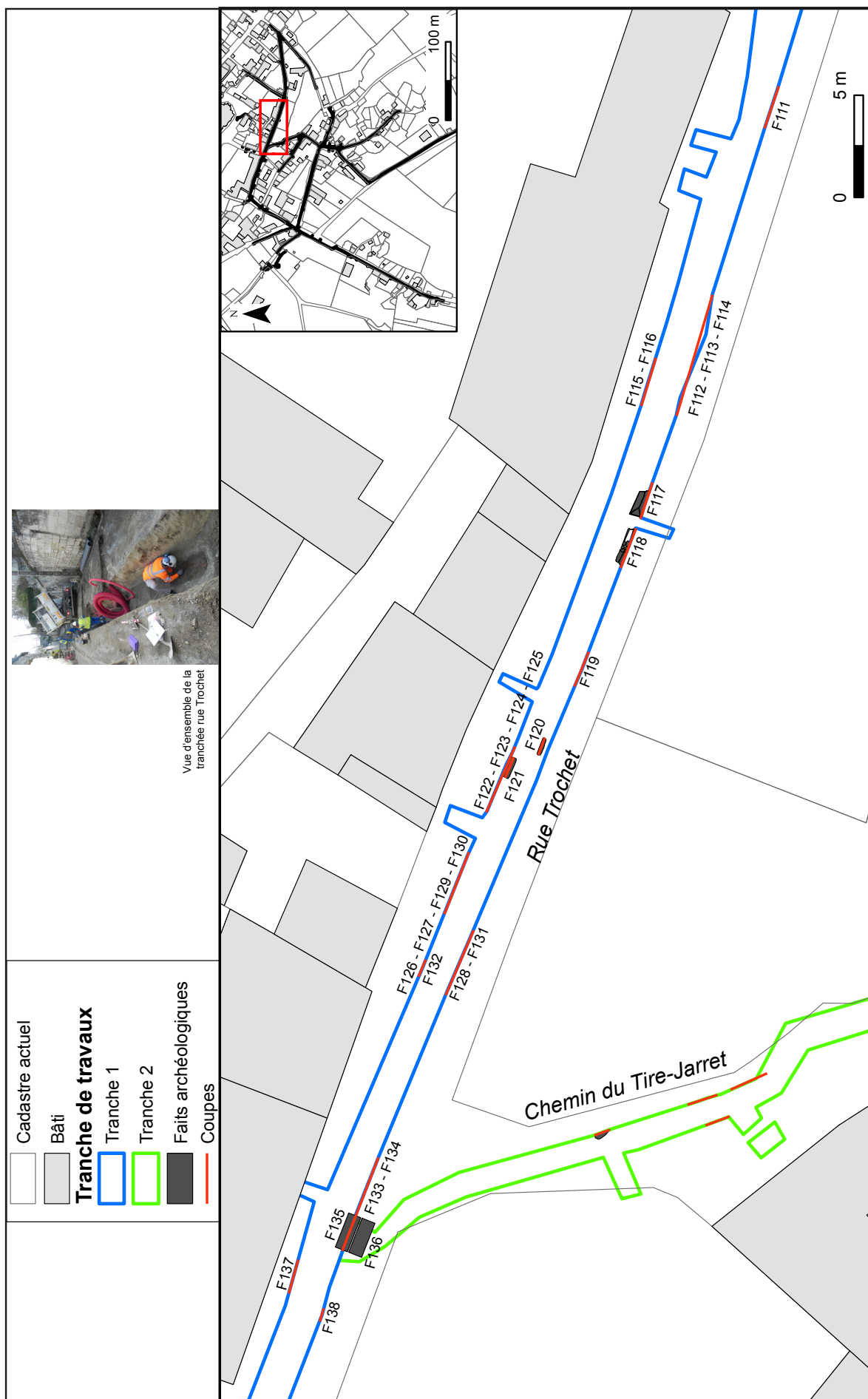


Figure 33 : Localisation des vestiges découverts rue Trochet (deuxième tronçon nord/sud).

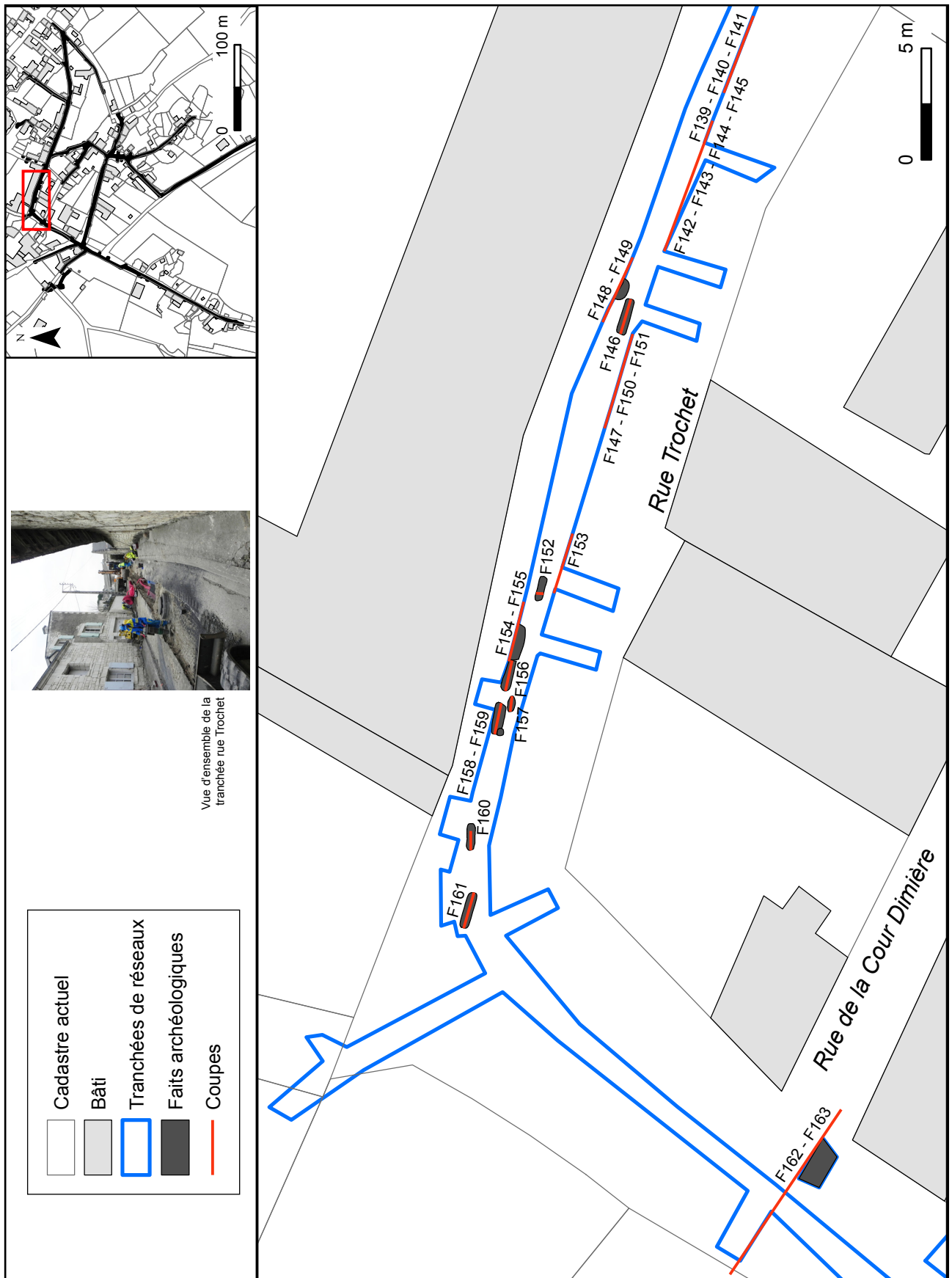


Figure 34 : Localisation des vestiges découverts rue Trochet (jusqu'à l'intersection avec la rue de la Cour Dimière).

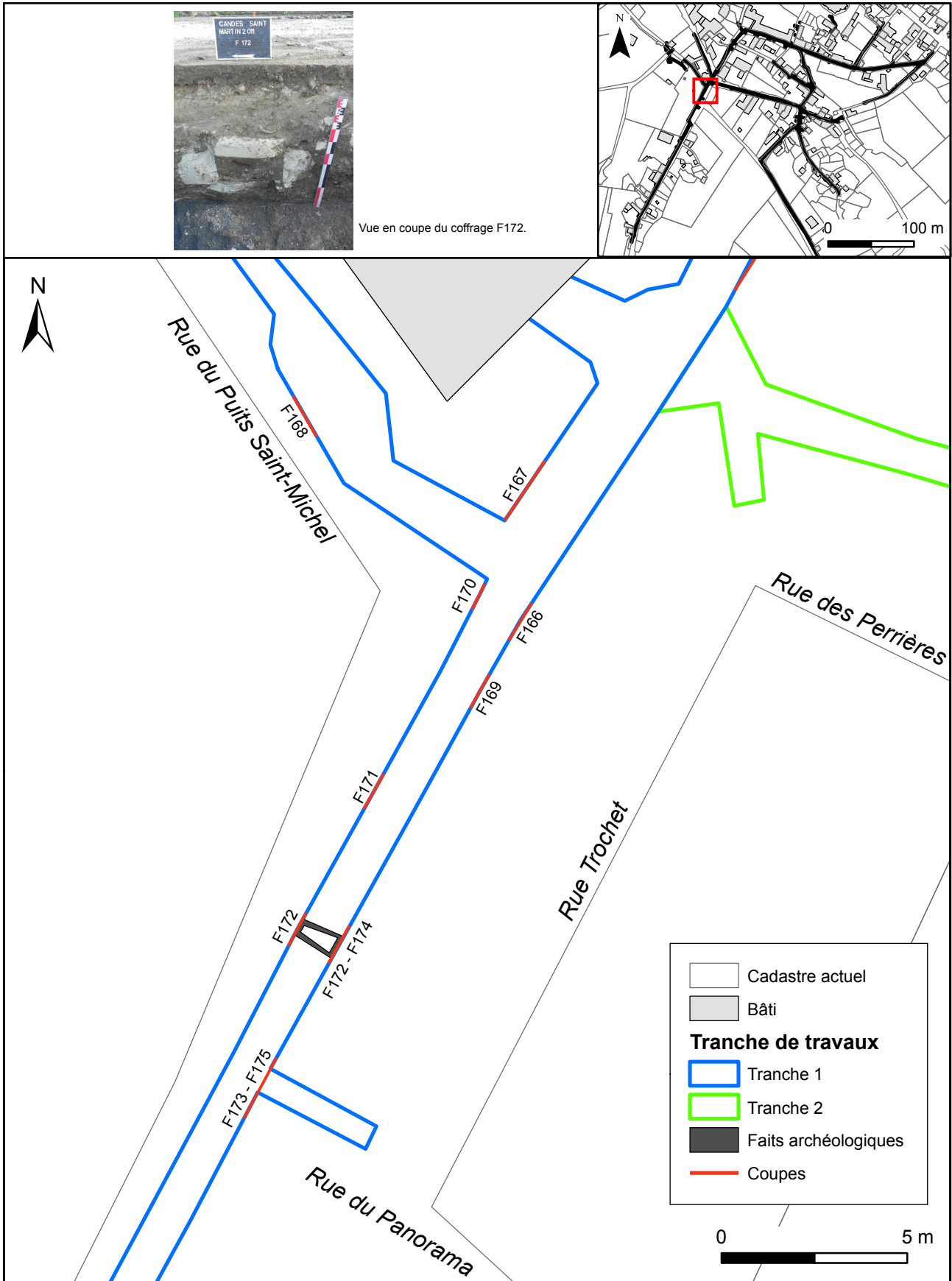


Figure 35 : Localisation des vestiges découverts rue Trochet (premier tronçon nord/sud).

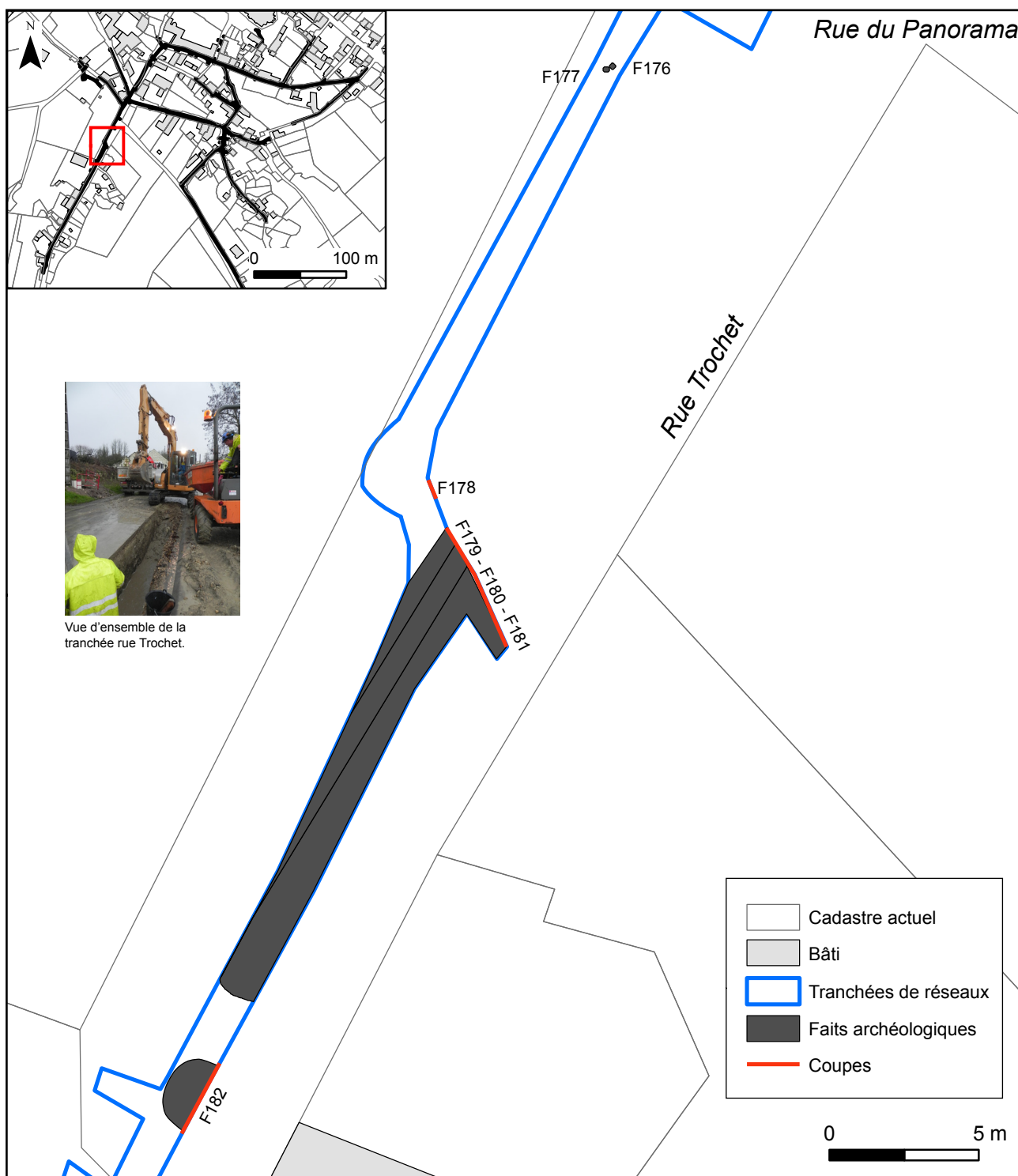


Figure 36 : Localisation des vestiges découverts rue Trochet (deuxième tronçon nord/sud).

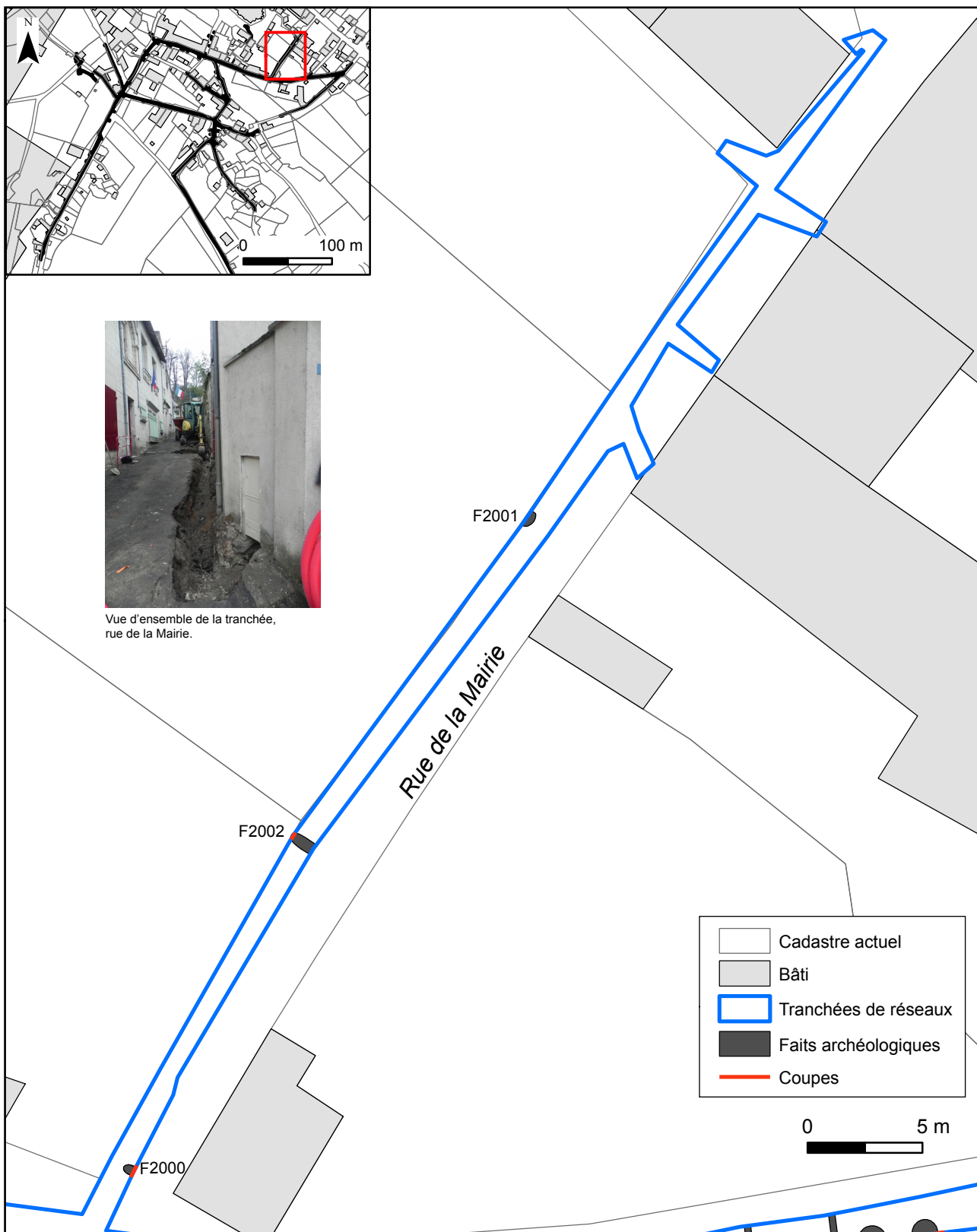


Figure 37 : Localisation des vestiges découverts rue de la Mairie (secteur 2).

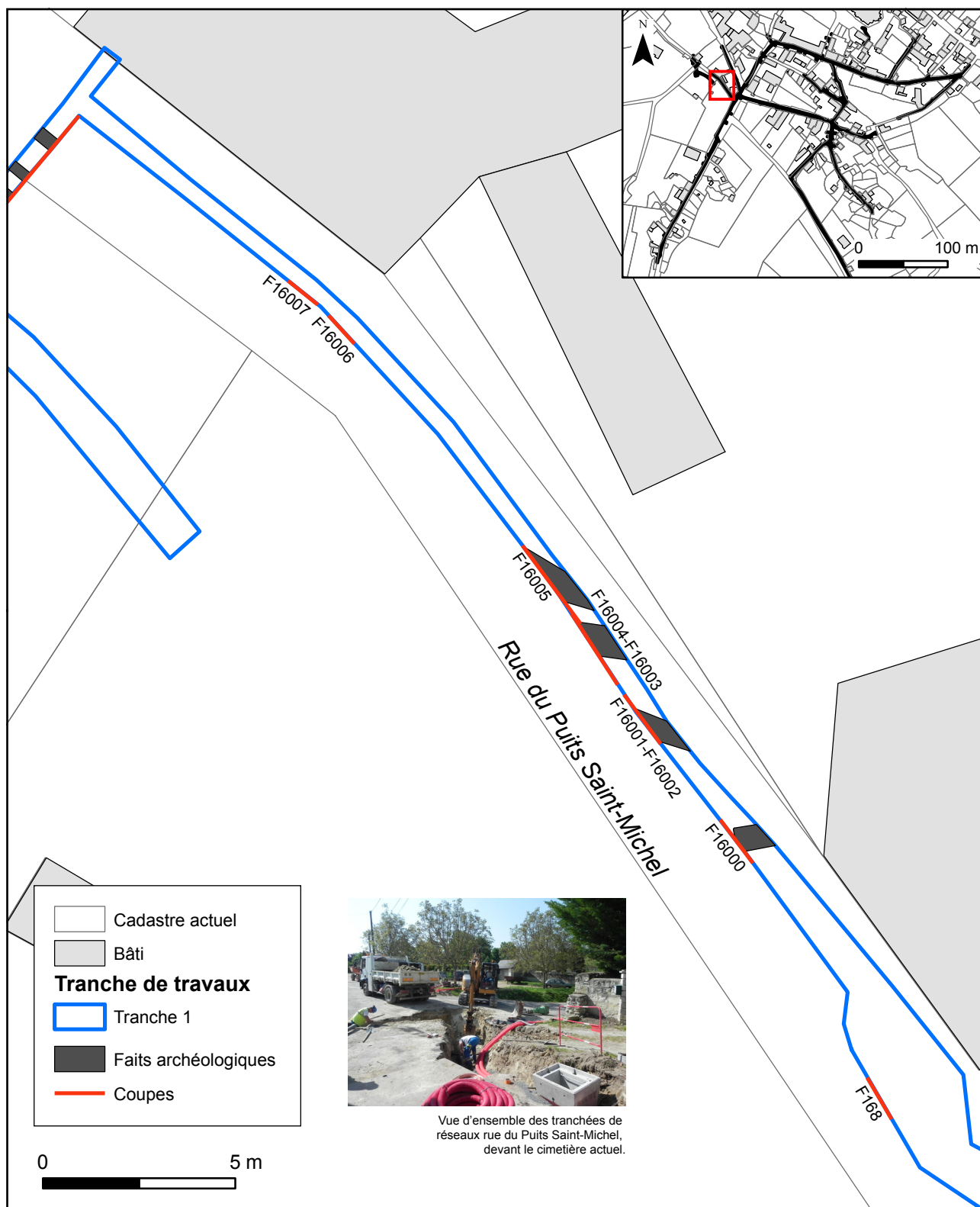


Figure 38 : Localisation des vestiges découverts rue du Puits Saint-Michel (secteur 16) (premier tronçon sud-est).

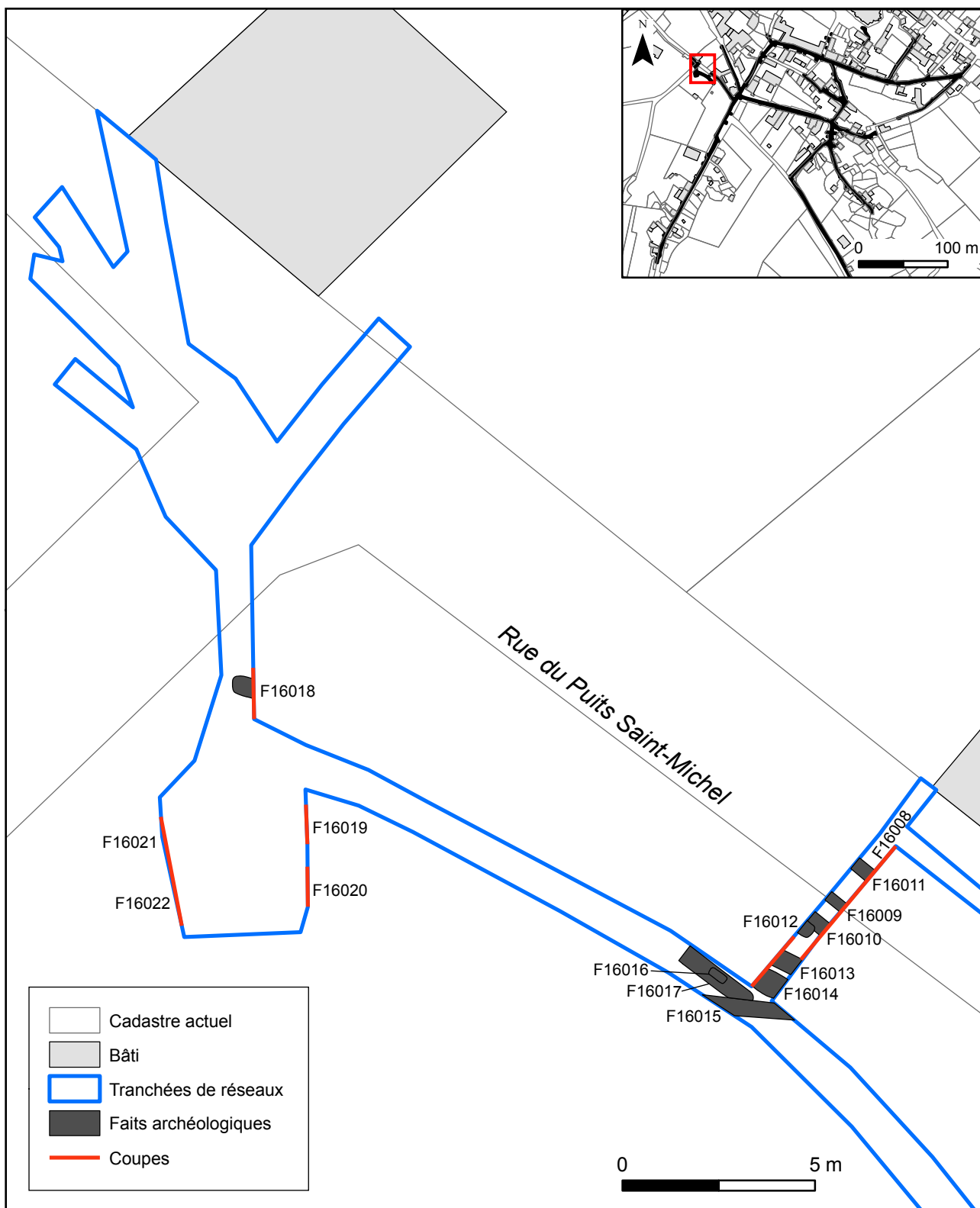


Figure 39 : Localisation des vestiges découverts rue du Puits Saint-Michel (secteur 16) (deuxième tronçon nord-ouest).



Figure 40 : Localisation des tranchées négatives tranche 1 de travaux : rue Saint-Maurice, rue du Chanoine Michelet et Sentier des Cavaliers.

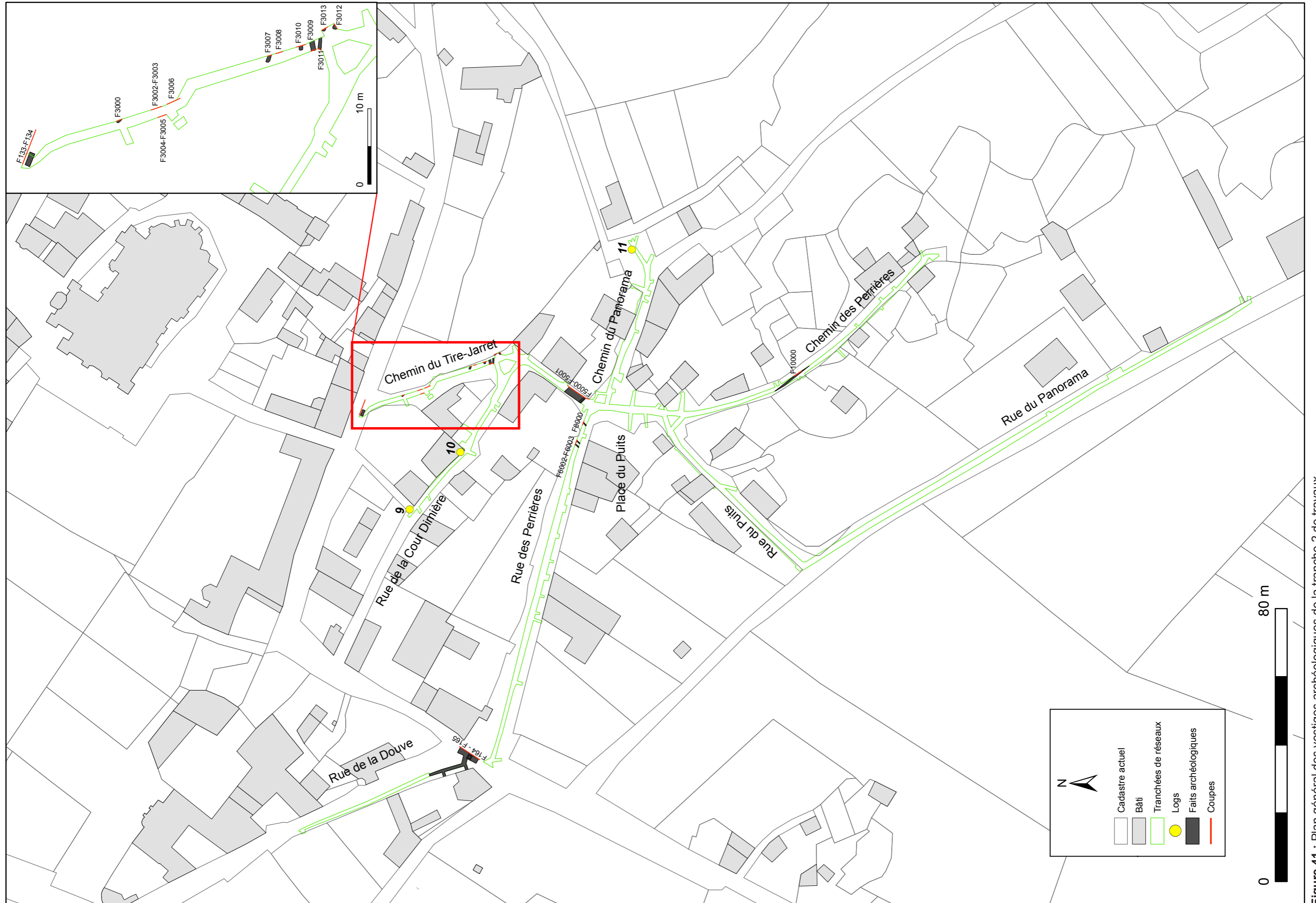


Figure 41 : Plan général des vestiges archéologiques de la tranche 2 de travaux.

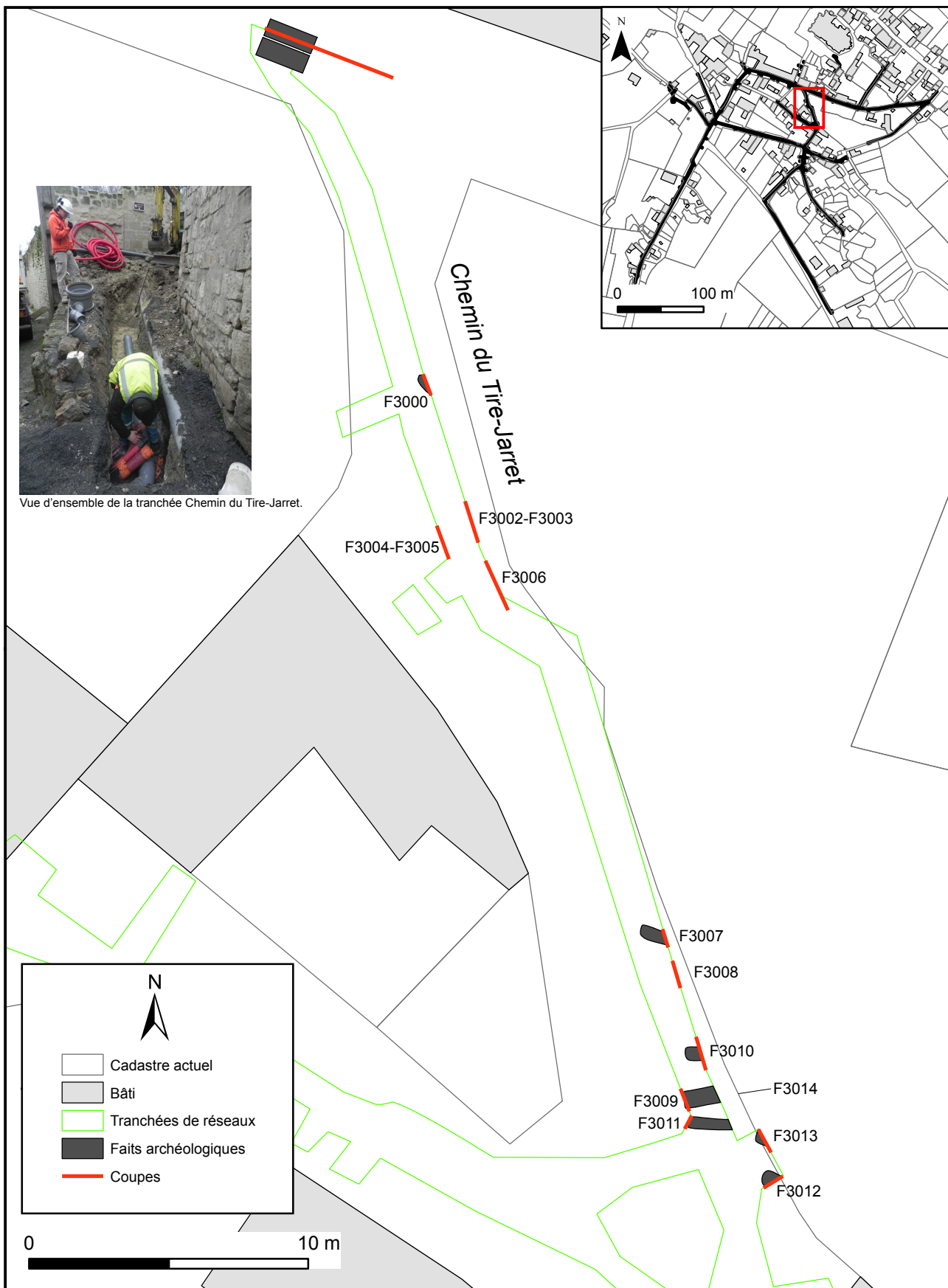


Figure 42 : Localisation des vestiges découverts Chemin du Tire-Jarret (secteur 3) (Tranche 2).



Figure 43 : Localisation des vestiges découverts Place du Puits (secteur 5) et rue des Perrières (secteur 6) (Tranche 2).

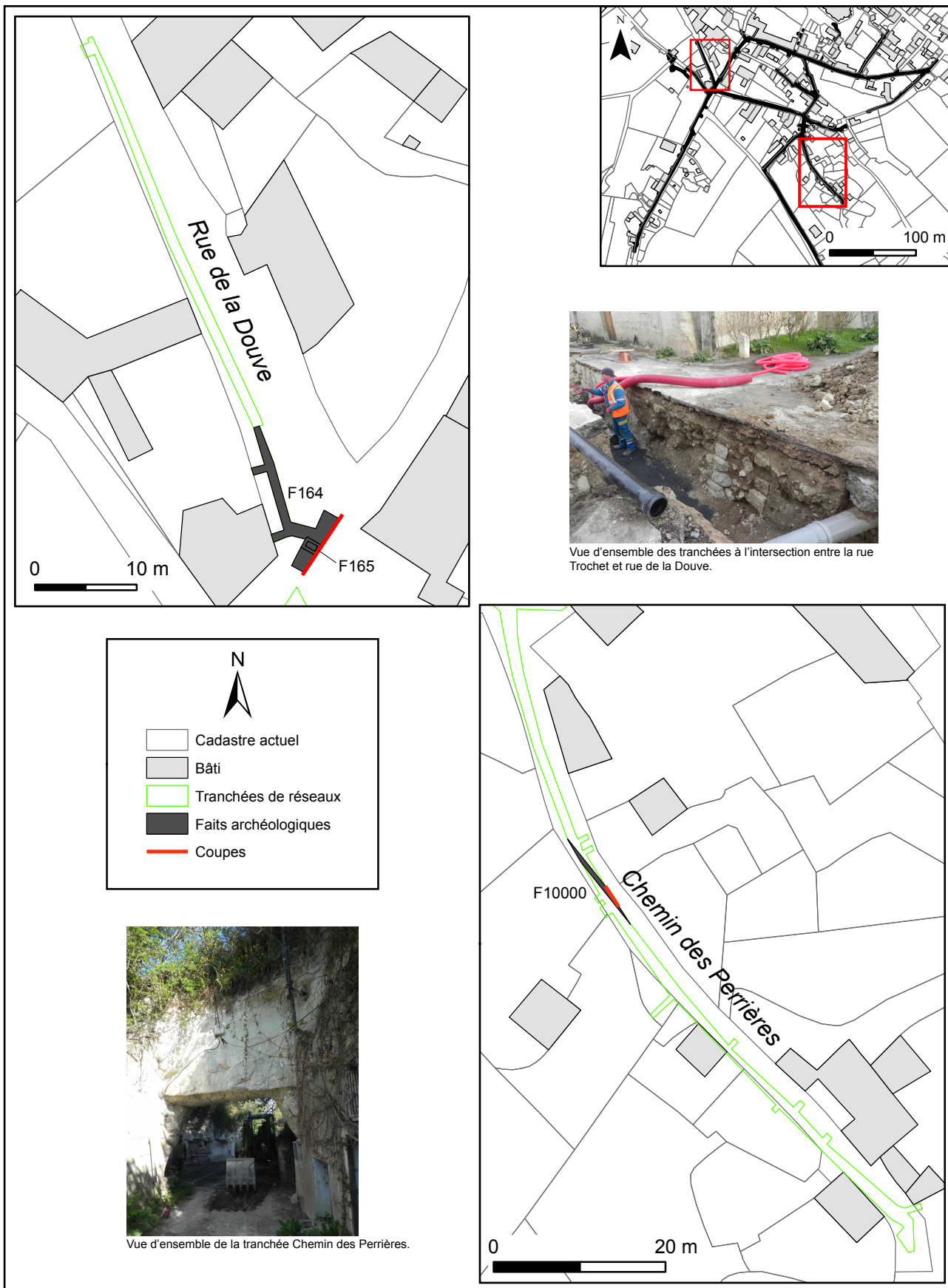


Figure 44 : Localisation des vestiges découverts rue de la Douve (secteur 7) et Chemin des Perrières (secteur 10) (Tranche 2).



Figure 45 : Localisation des tranchées négatives tranche 2 de travaux : rue de la Cour Dimière, Chemin du Panorama et rue du Puits.

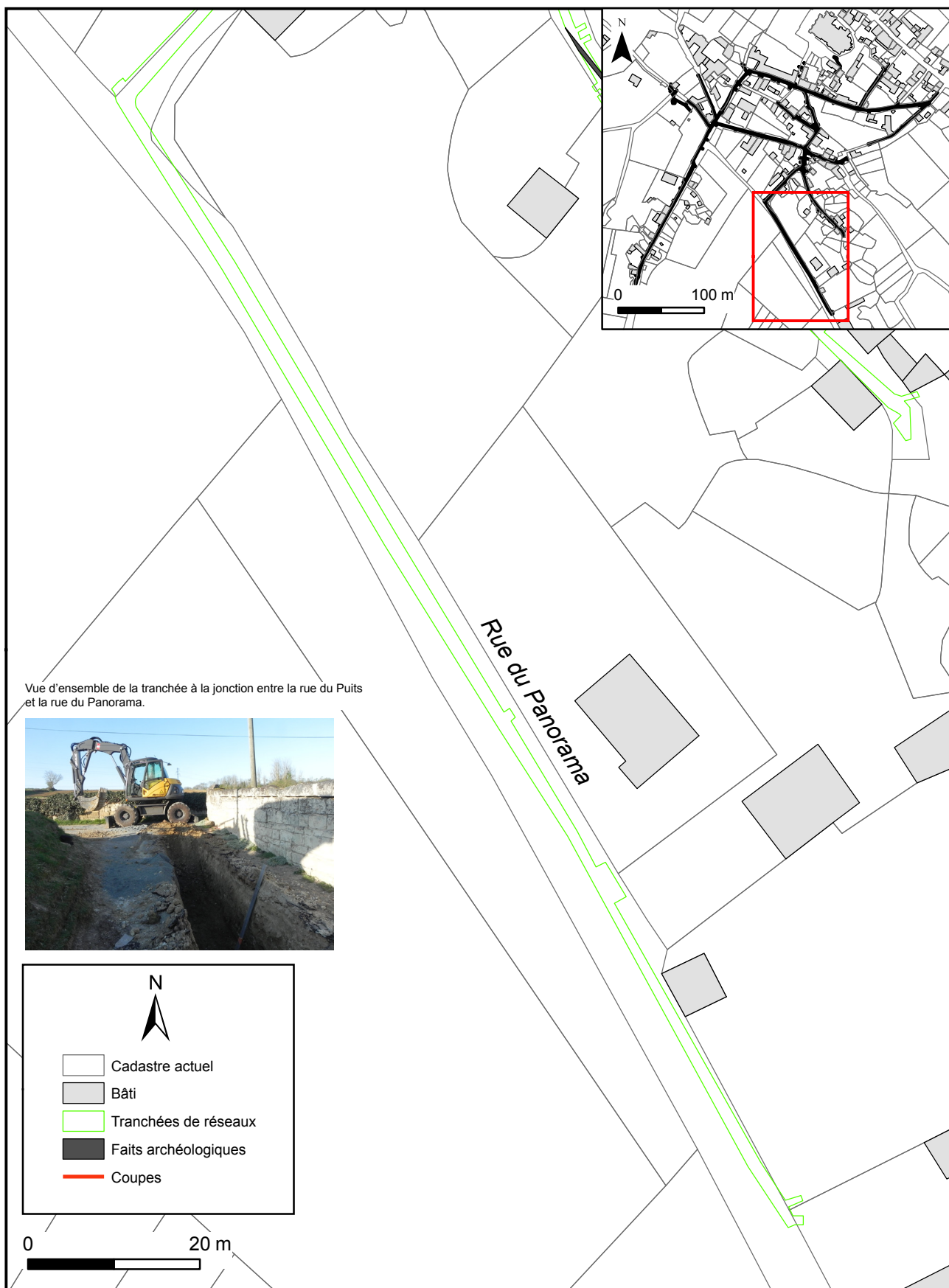


Figure 46 : Localisation des tranchées négatives tranche 2 de travaux : rue du Panorama.

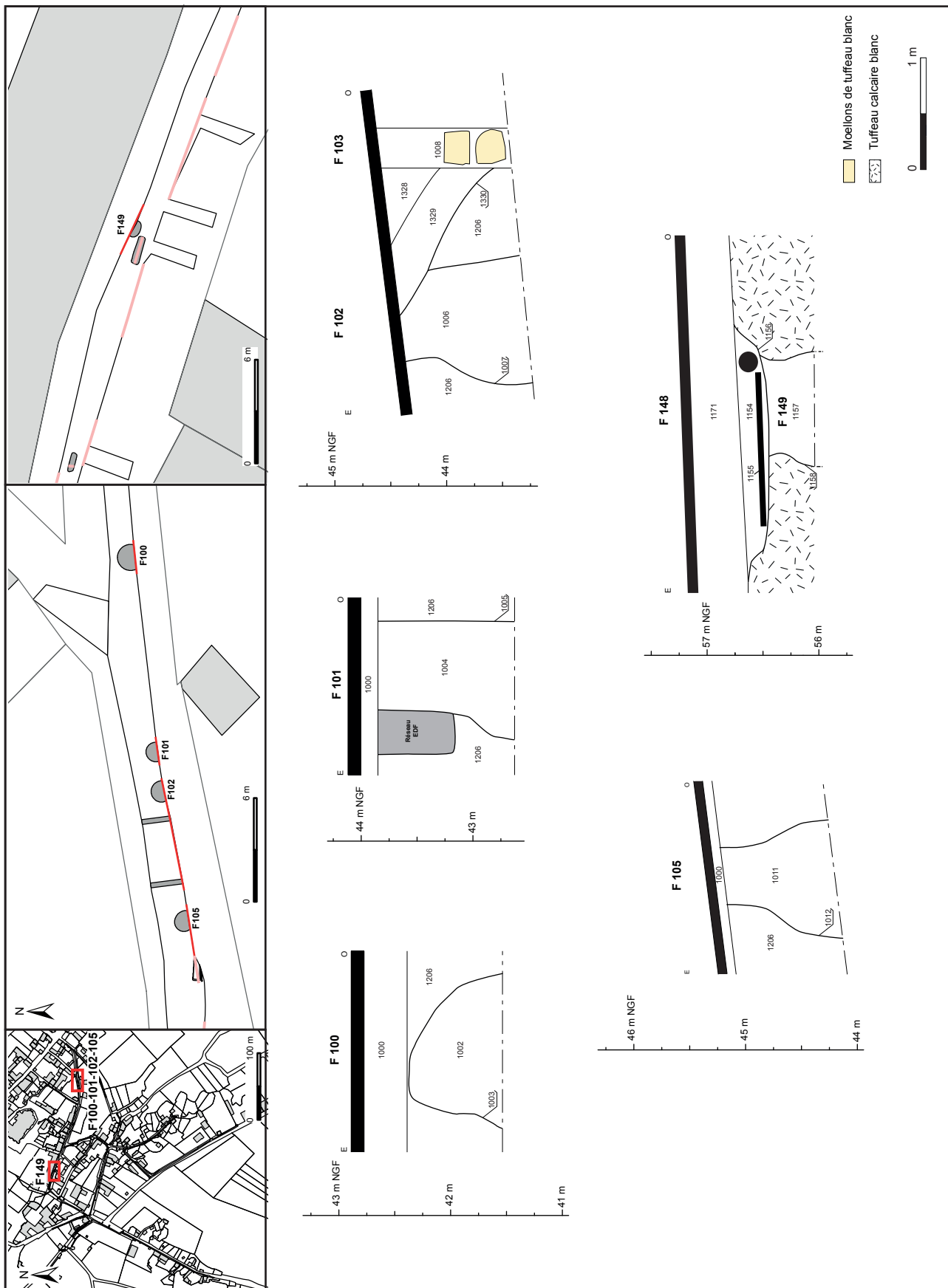


Figure 47 : Localisation et relevé au 1/50 des silos (Tranche1, secteur 1).

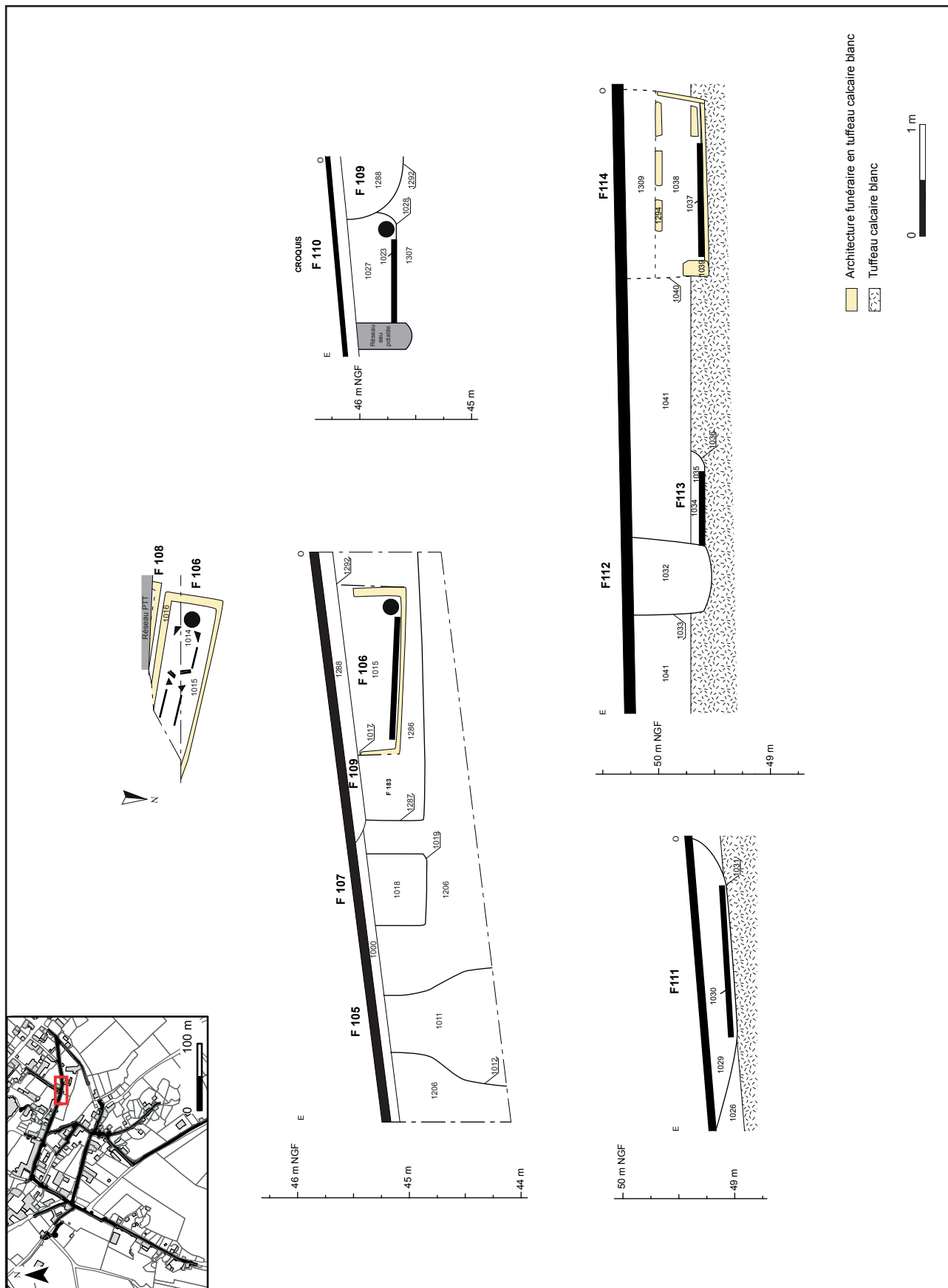


Figure 48 : Localisation et relevé au 1/50 des sépultures F106, F108, F110, F111, F113 et F114 (Tranche 1, secteur 1).

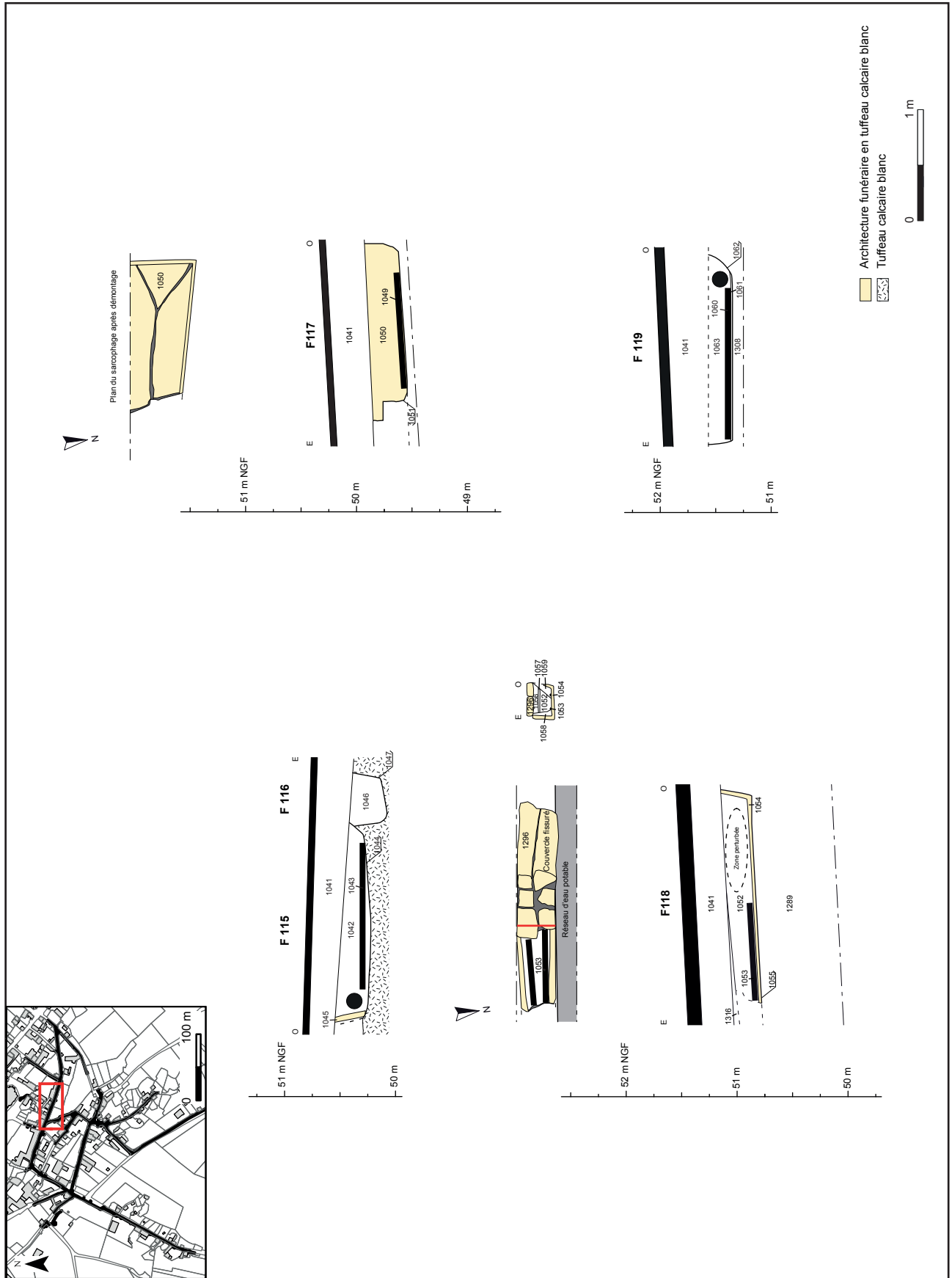


Figure 49 : Localisation et relevé au 1/50 des sépultures F115, F117, F118 et F119 (Tranche 1, secteur 1).

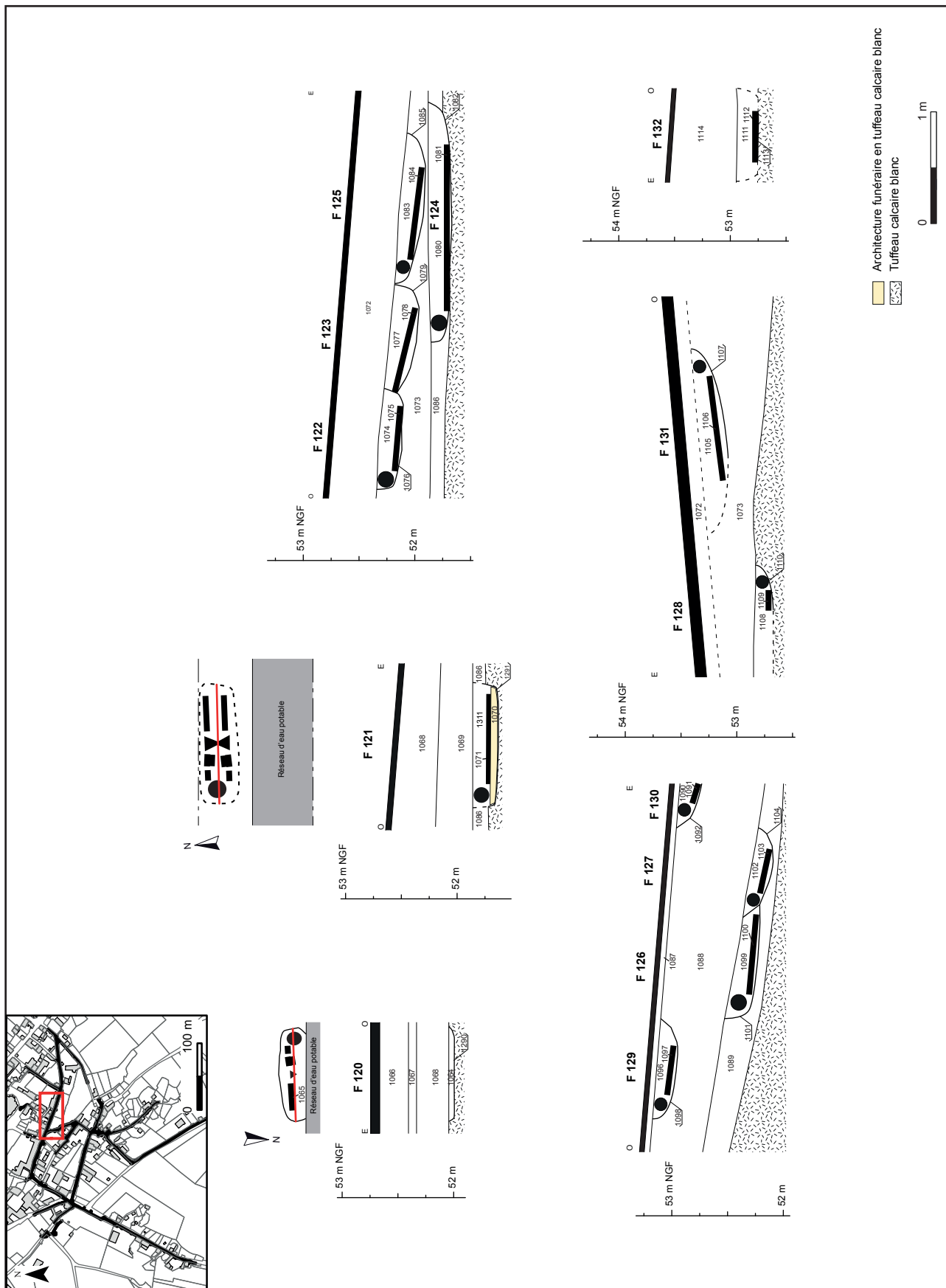


Figure 50 : Localisation et relevé au 1/50 des sépultures F120 à F132 (Tranche1, secteur 1).

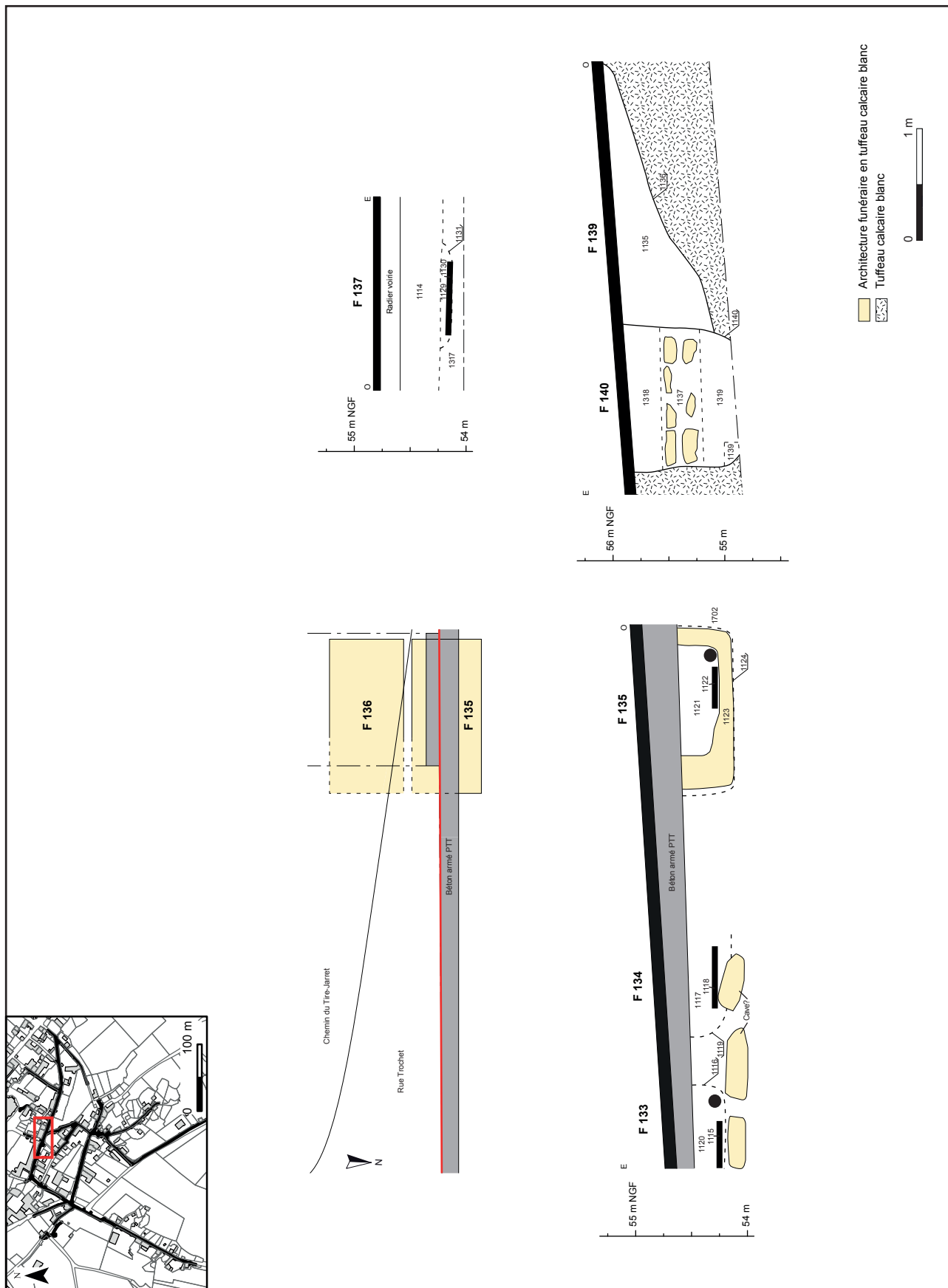


Figure 51 : Localisation et relevé au 1/50 des sépultures F133, F134, F135, F136, F137 et F140 (Tranche 1, secteur 1).

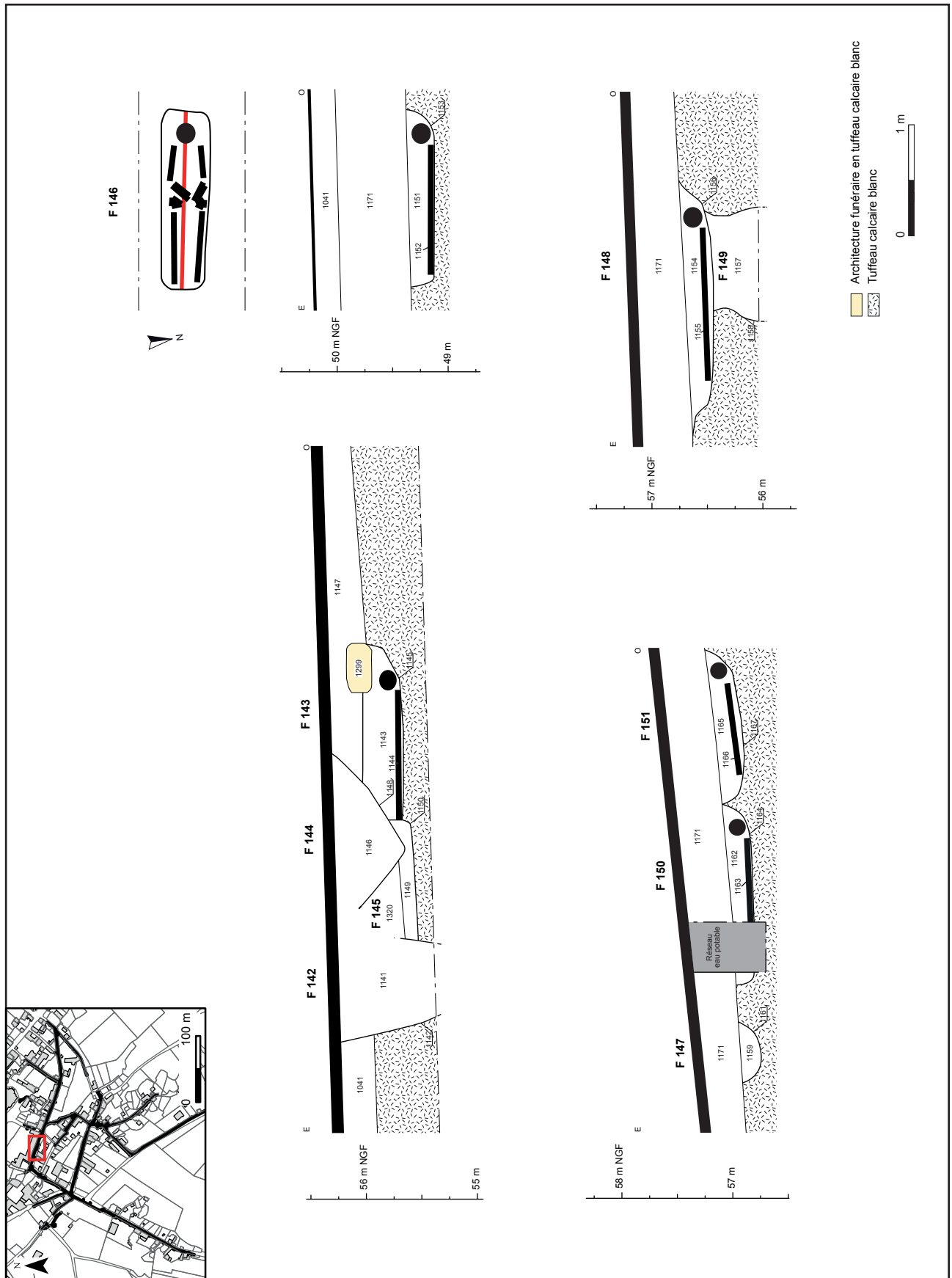


Figure 52 : Localisation et relevé au 1/50 des sépultures F143, F146, F147, F148, F150 et F151 (Tranche 1, secteur 1).

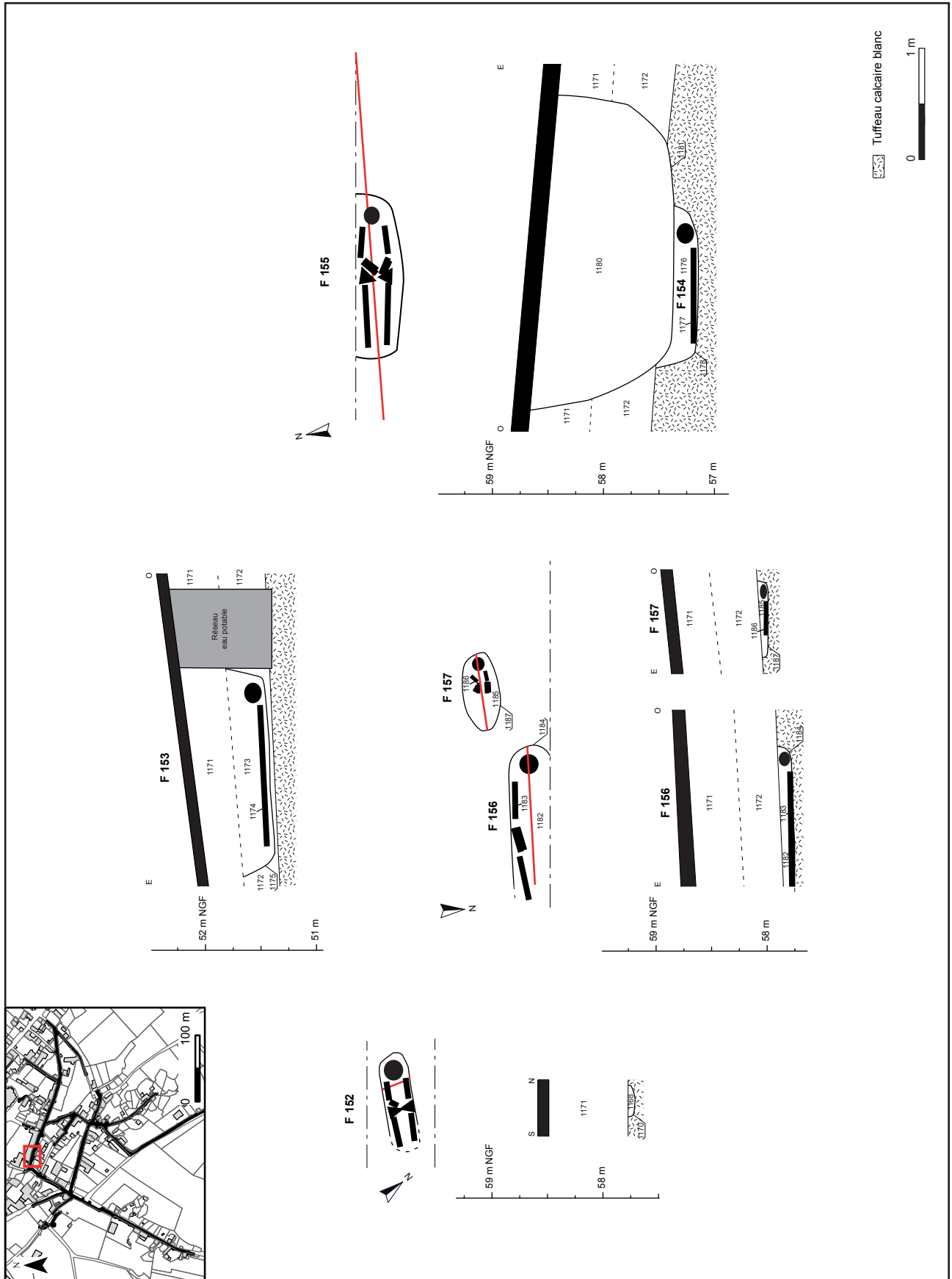


Figure 53 : Localisation et relevé au 1/50 des sépultures F152, F153, F154, F156 et F157 (Tranche 1, secteur 1).

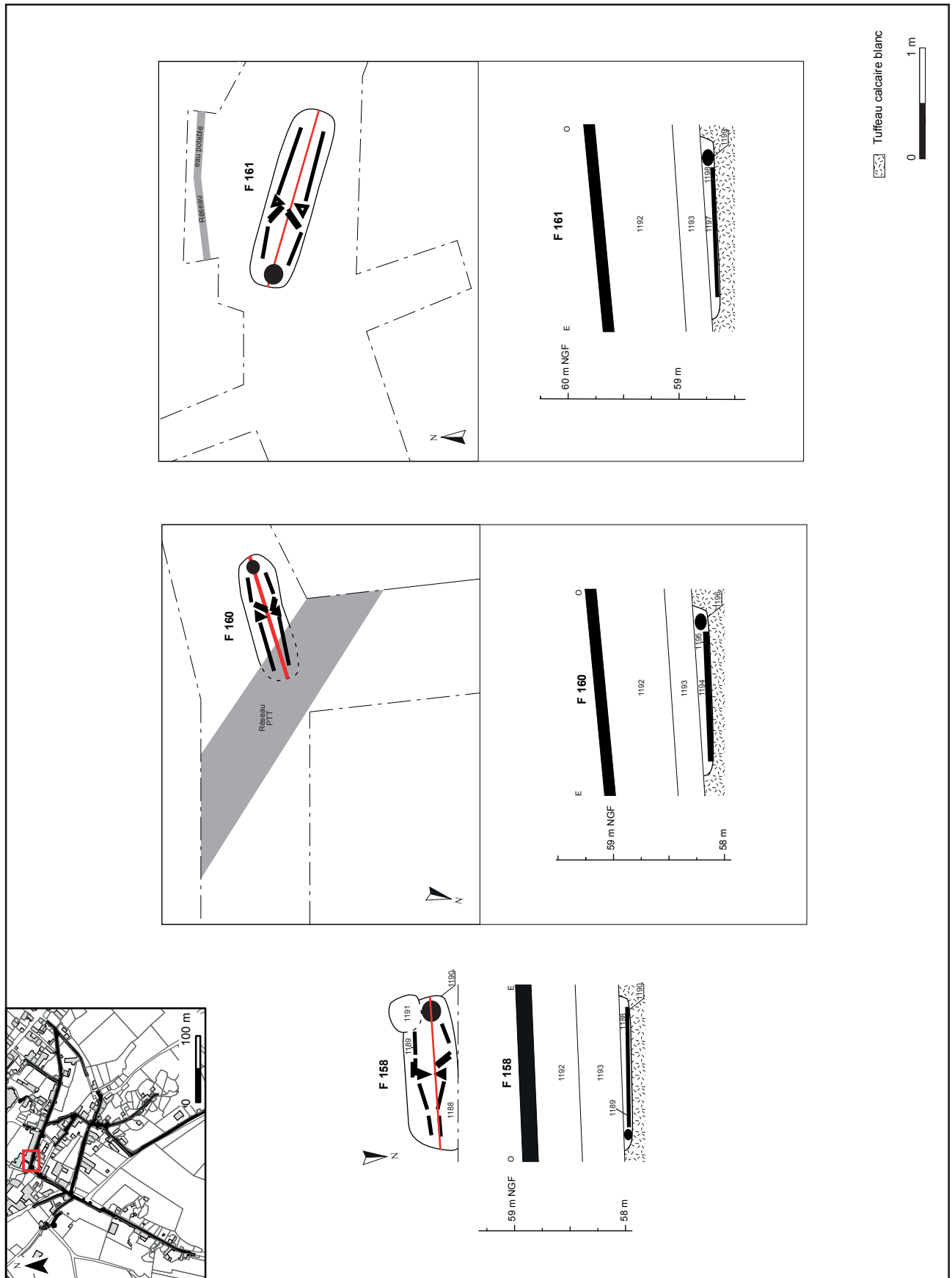


Figure 54 : Localisation et relevé au 1/50 des sépultures F158, F160 et F161 (Tranche1, secteur 1).

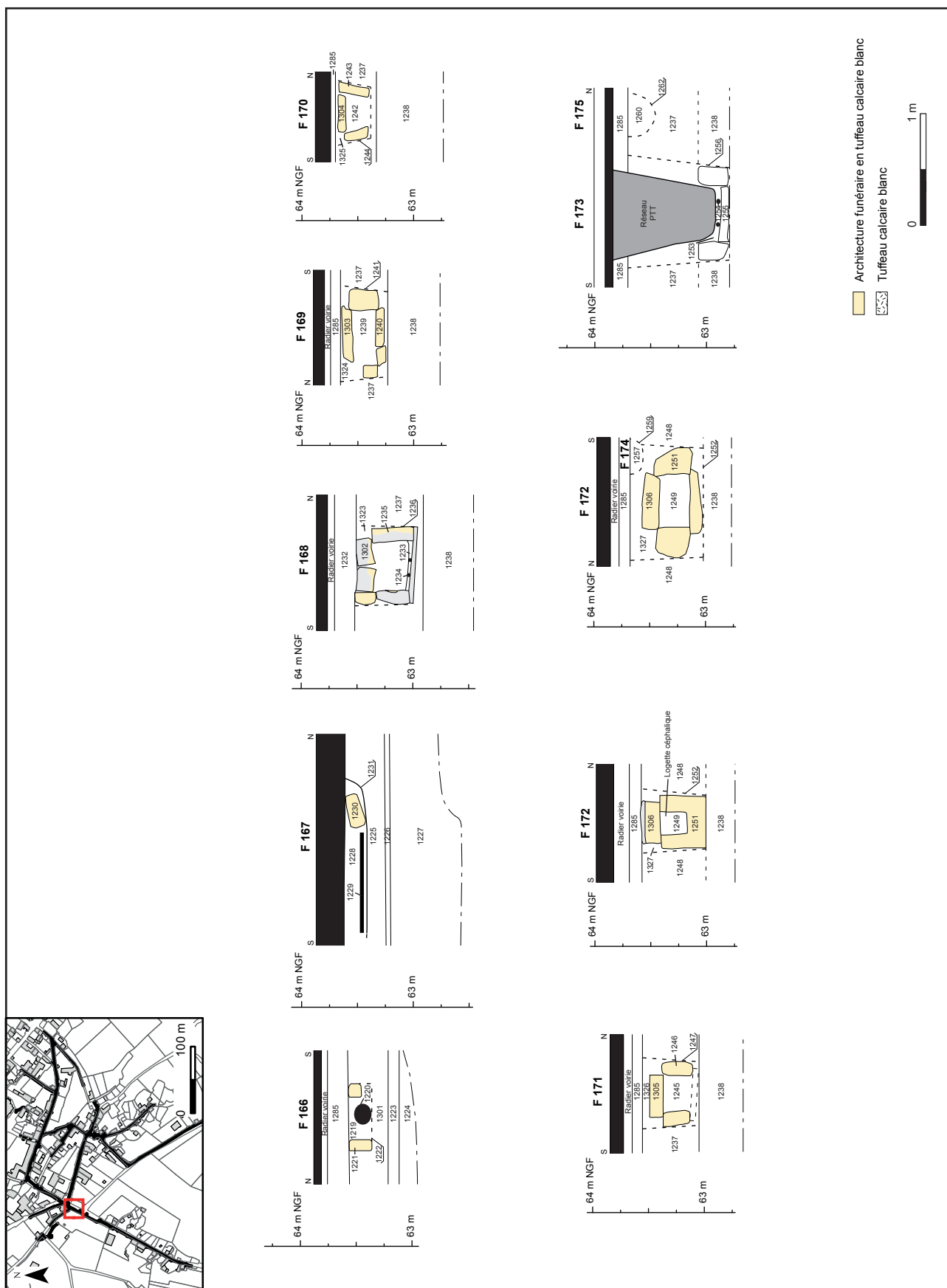


Figure 55 : Localisation et relevé au 1/50 des sépultures F166, F167, F168, F169, F170, F171, F172, F173, F174 et F175 (Tranche1, secteur 1).

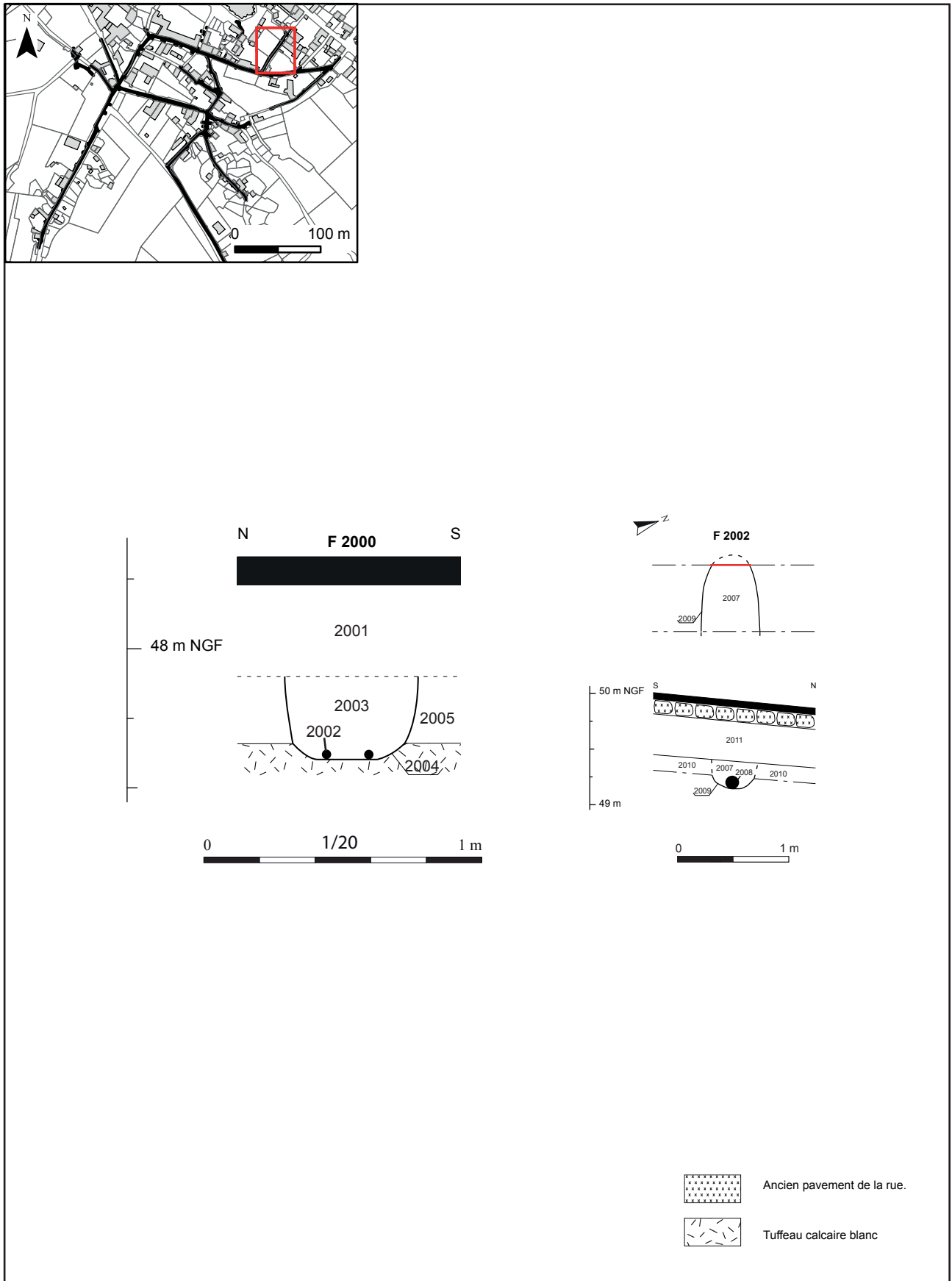


Figure 56 : Localisation et relevé au 1/20 et au 1/50 des sépultures F2000 et F2002 (Tranche1, secteur 2).

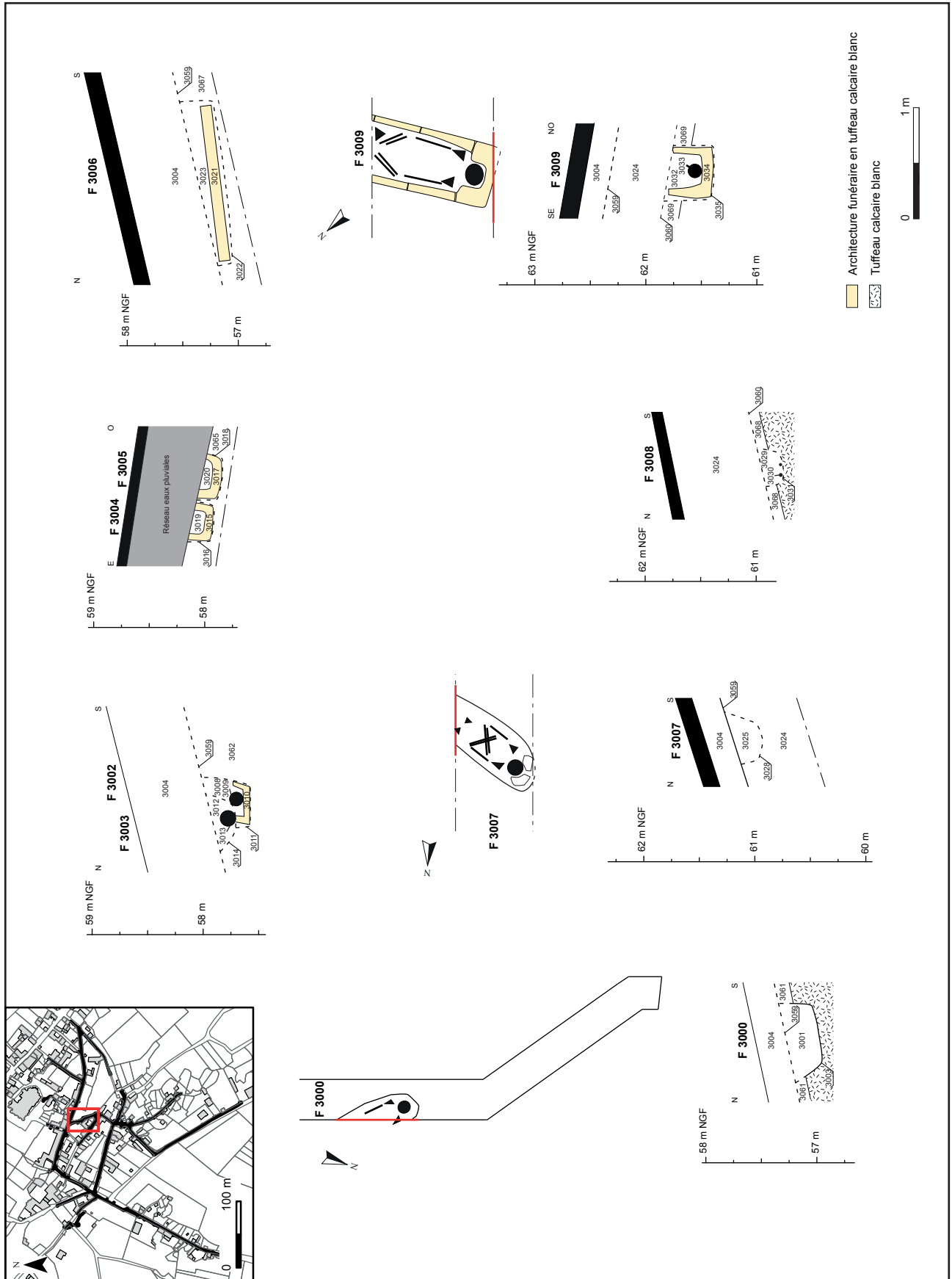


Figure 57 : Localisation et relevé au 1/50 des sépultures F3000, F3002, F3003, F3004, F3005, F3006, F3007, F3008 et F3009 (Tranche 2, secteur 3).

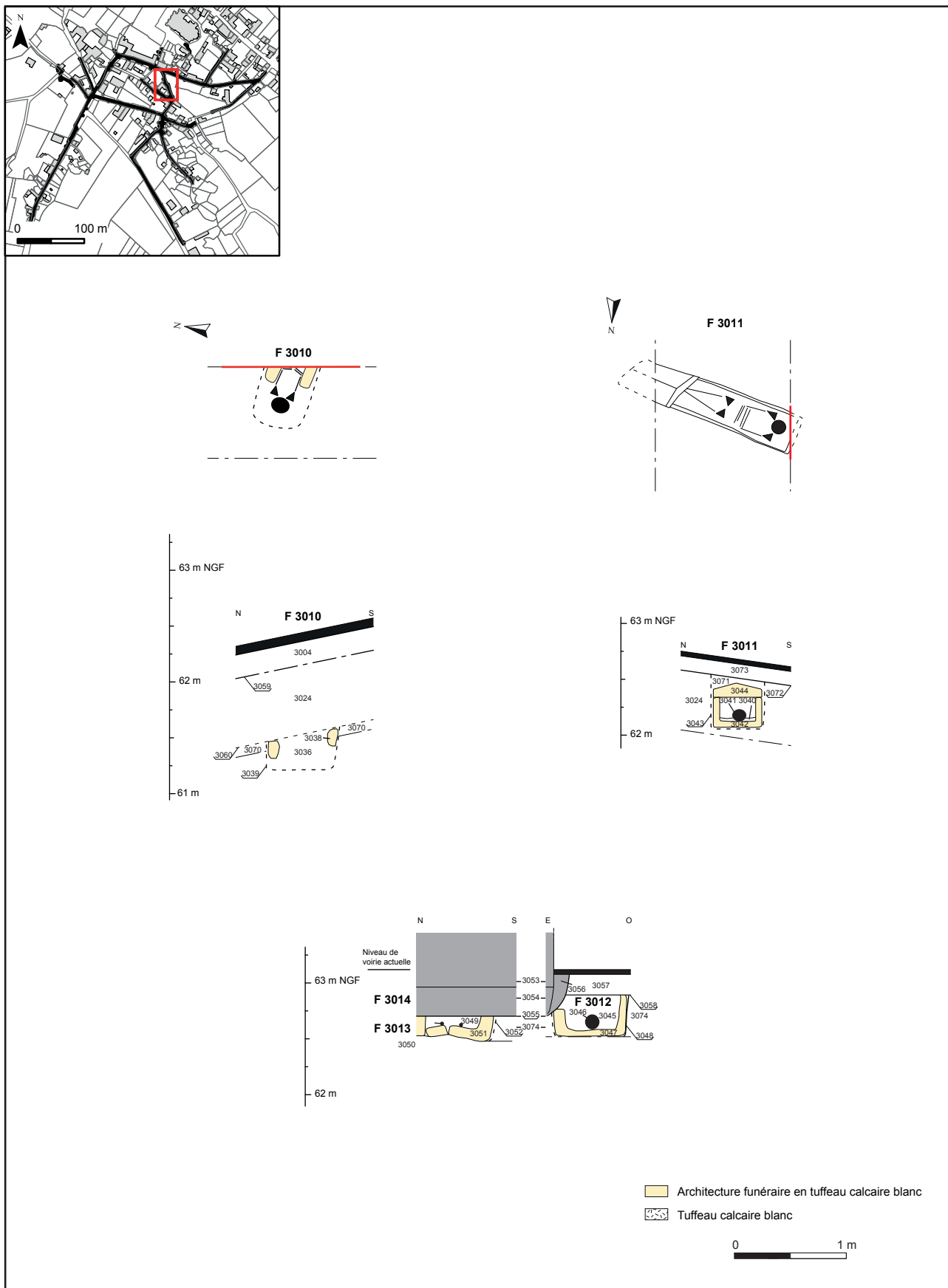


Figure 58 : Localisation et relevé au 1/50 des sépultures F3010, F3011, F3012 et F3013 (Tranche 2, secteur 3).

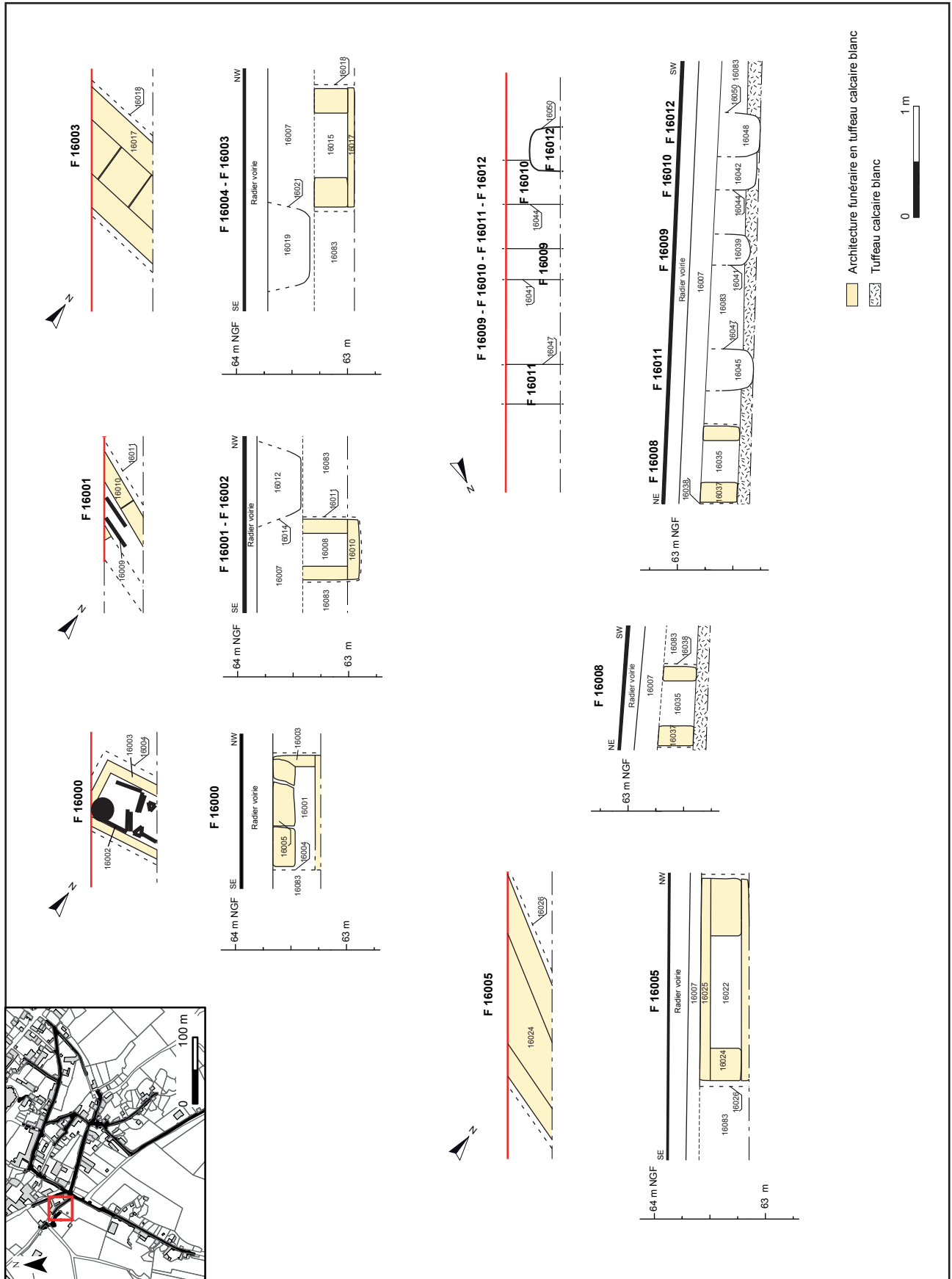


Figure 59 : Localisation et relevé au 1/50 des sépultures F16000 à F16005, et F16008 à F16012 (Tranche 1, secteur 16).

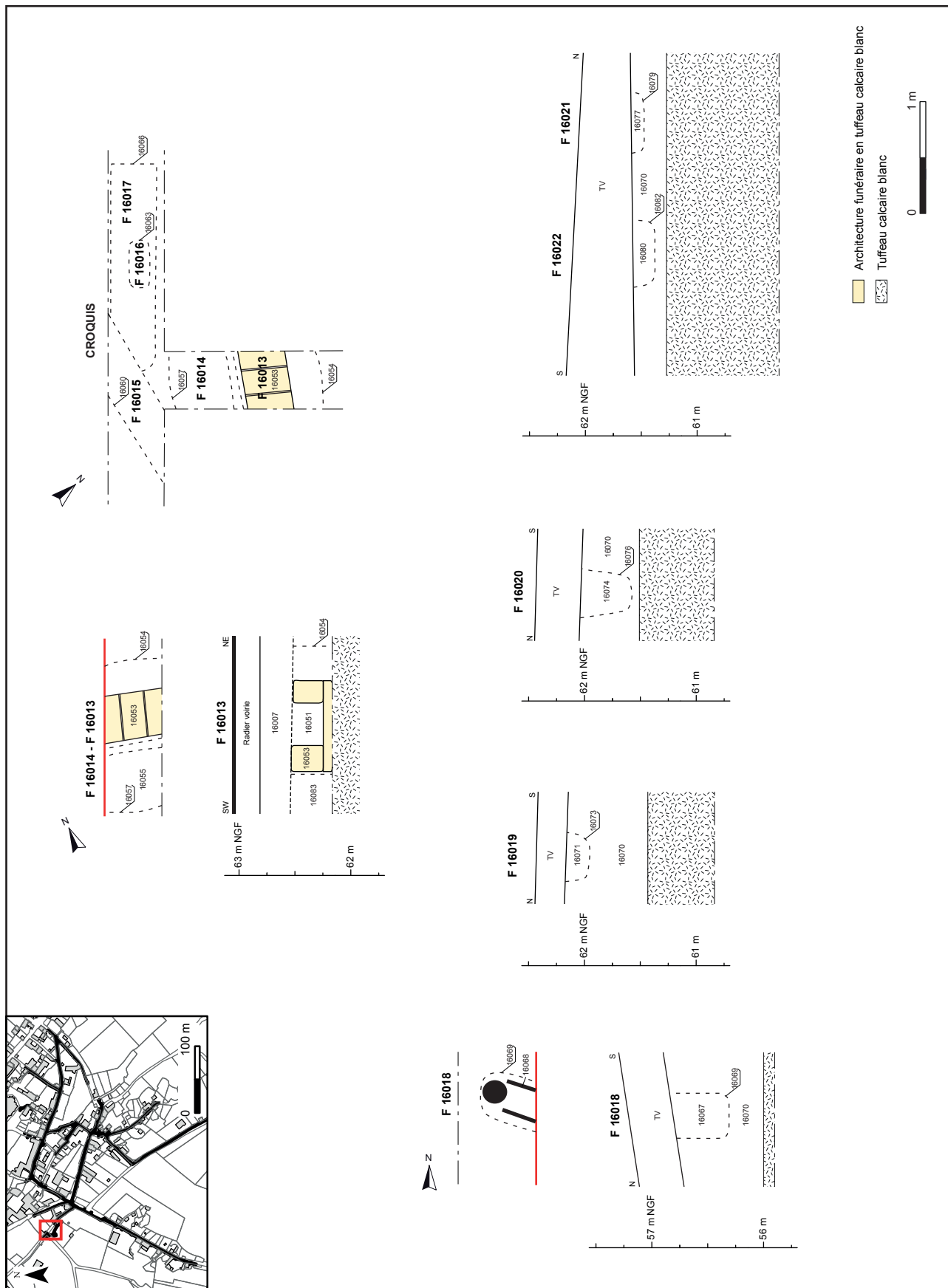


Figure 60 : Localisation et relevé au 1/50 des sépultures F16013 à F16022 (Tranche 1, secteur 16).

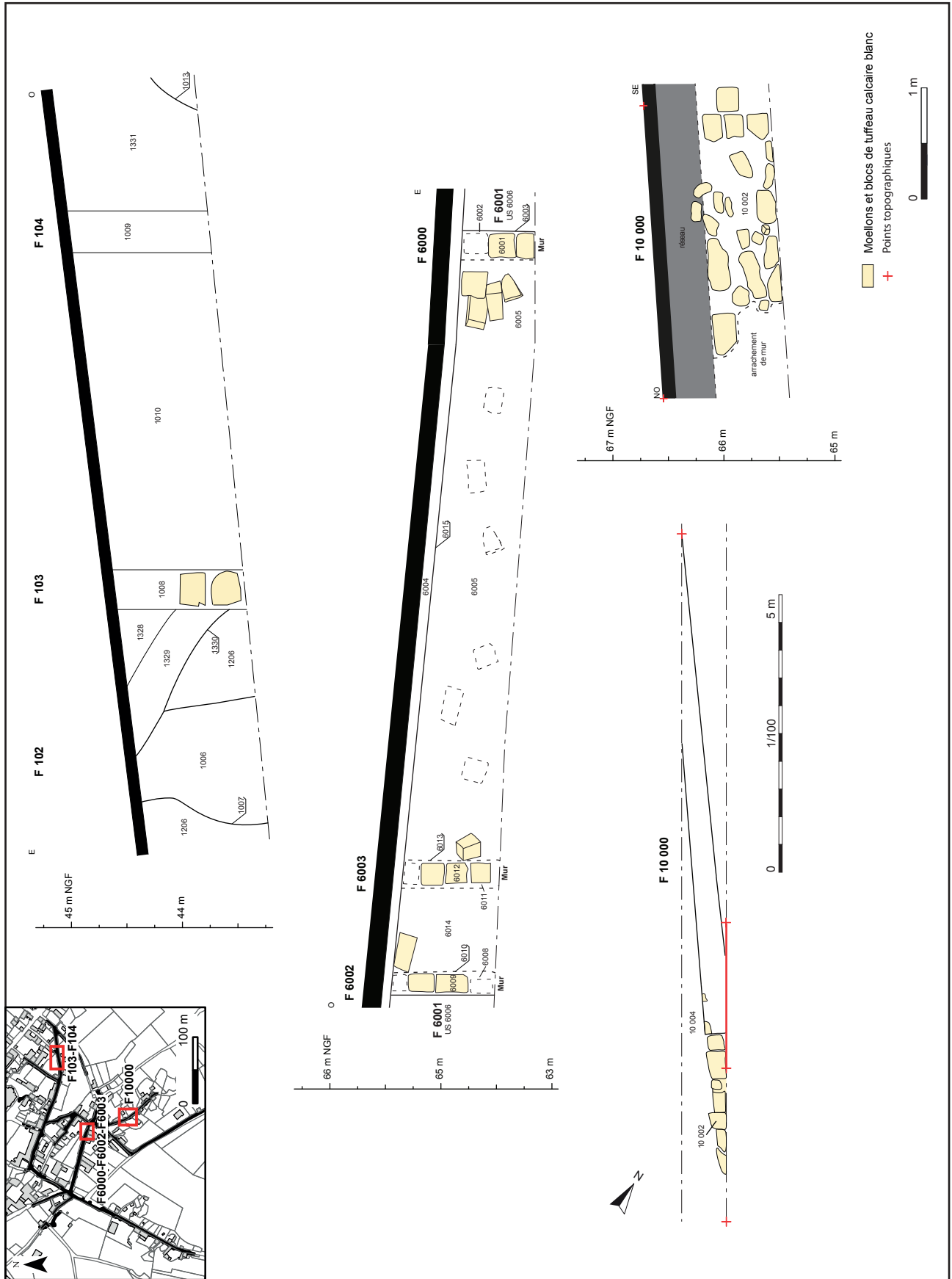


Figure 61 : Localisation et relevé au 1/50 et au 1/100 des murs F103, F104, F6000, F6002, F6003 et F10000 (Tranches 1 et 2, secteurs 1, 6 et 10).

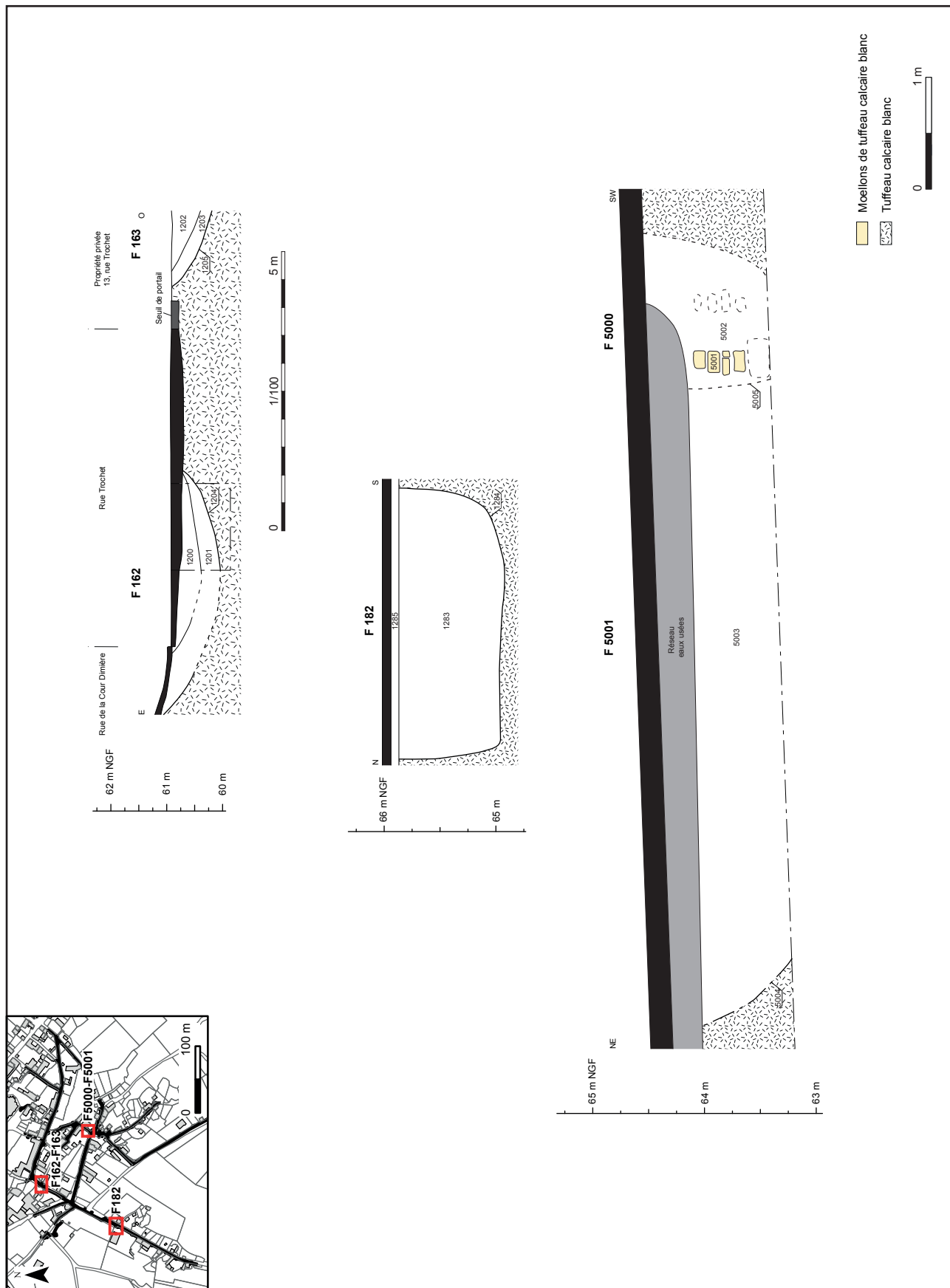


Figure 62 : Localisation et relevé au 1/50 et au 1/100 des fossés F162, F163, F182 et F5001, et de la maçonnerie F5000 (Tranches 1 et 2, secteurs 1 et 5).

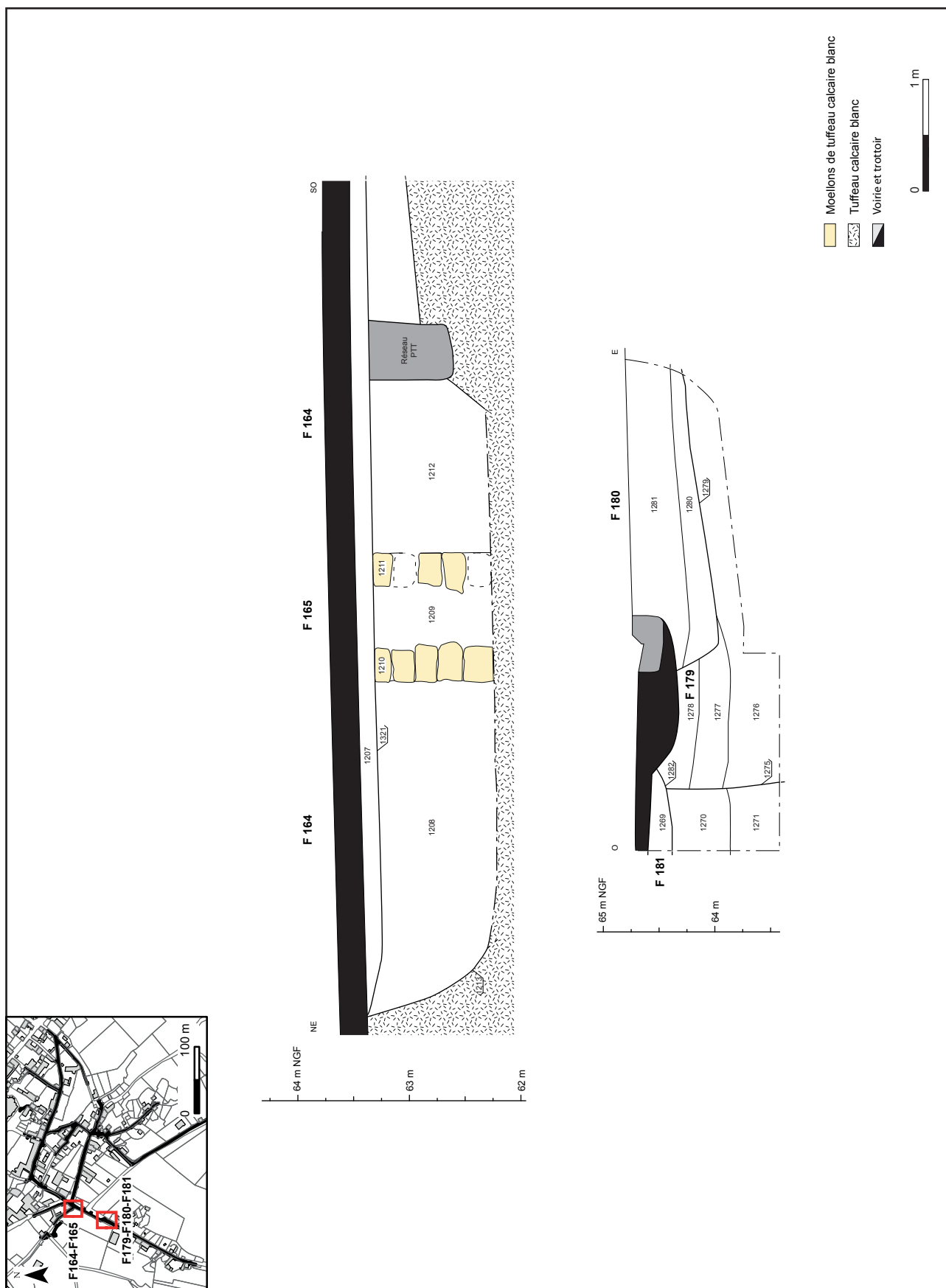
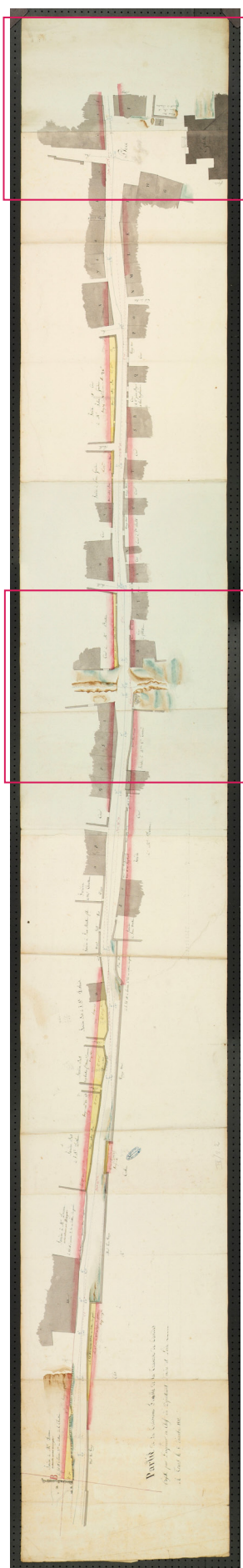


Figure 63 : Localisation et relevé au 1/50 des fossés F164, F179 et F180, de la pile F165 et du chemin F181 (Tranche 1, secteur 1).



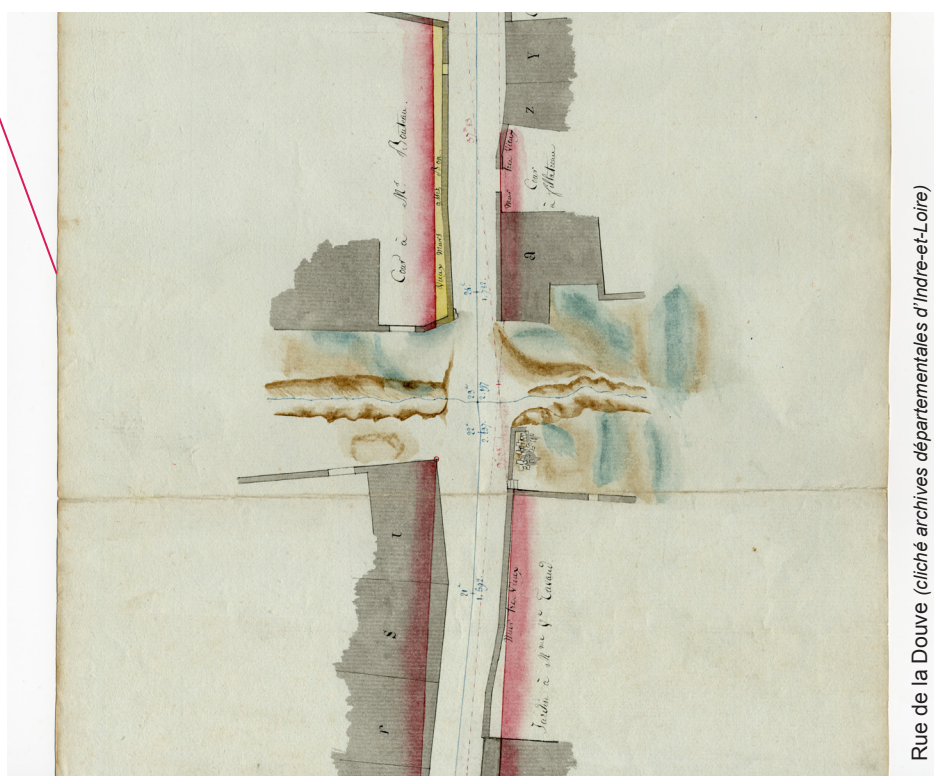
Figure 64 : *Veüe du bourg et du chasteau de Candé. En Touraine, appartenant à Mons. l'Archevesque de Tours // 1699 [BnF, département Estampes et photographie, EST VA-37 (2)] [dessin : Bourdan, Louis (16..-17.. ; dessinateur et graveur)] (Aquarelle ; 32,8 x 29,3 cm).*



Route de Compostelle (cliché archives départementales d'Indre-et-Loire)

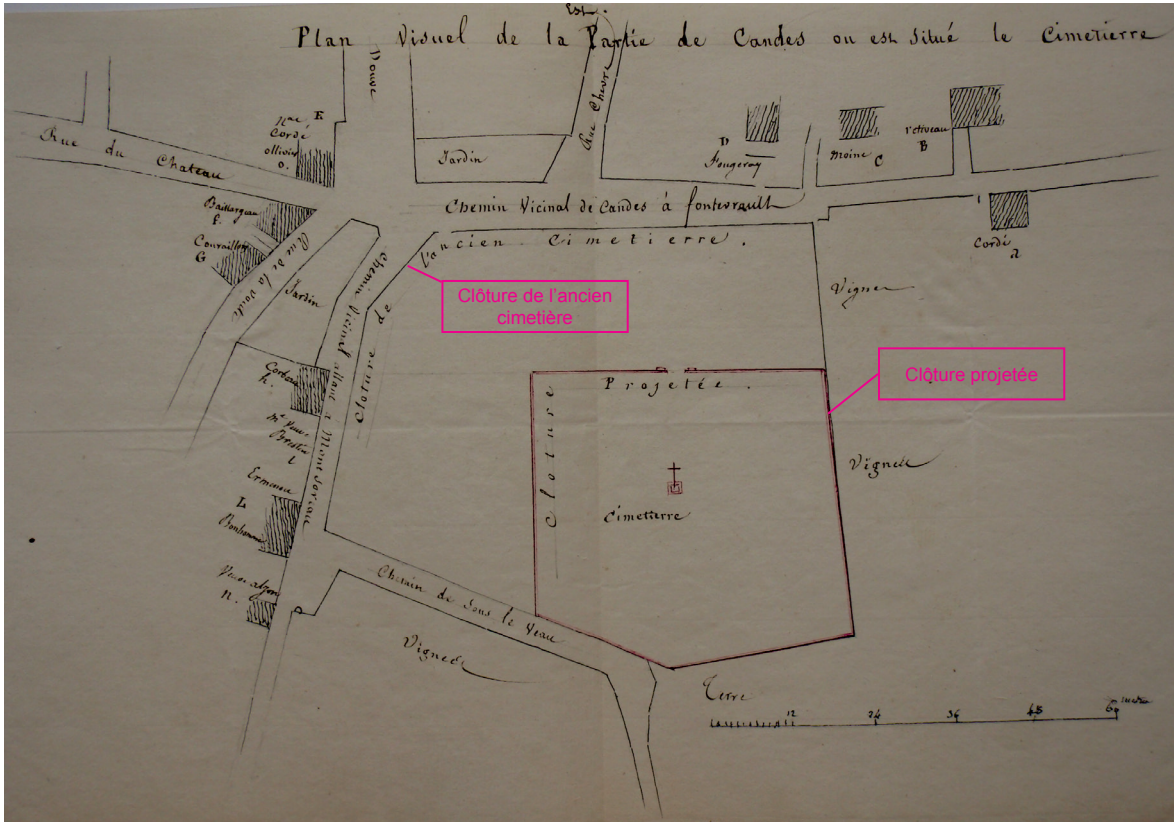


Place de l'Eglise (cliché archives départementales d'Indre-et-Loire)

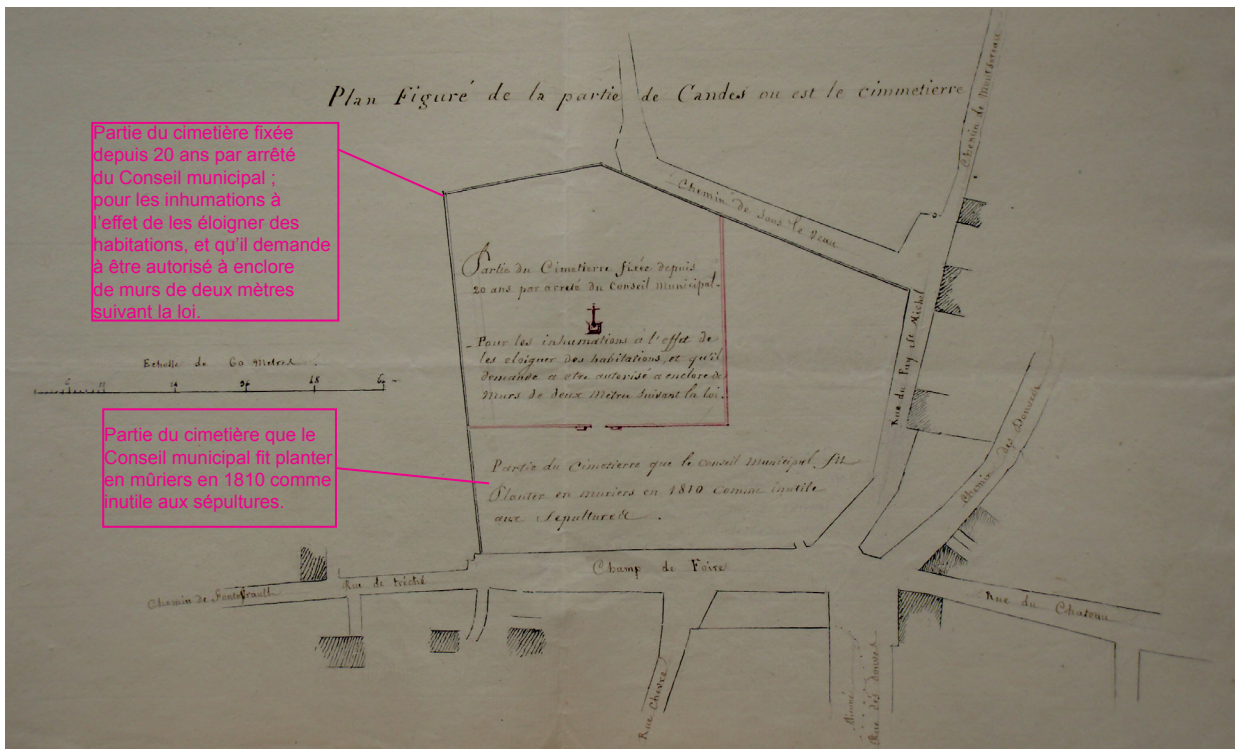


Rue de la Douve (cliché archives départementales d'Indre-et-Loire)

Figure 65: Plan de la Partie de la troisième feuille de la traverse de Candes, projeté par l'ingénieur en Chef du Département. A Tours, le 8 décembre 1812 (AD37 ; FRAD037_IV_8_2 ; 1812).



Plan visuel de la partie de Candes où est situé le cimetière

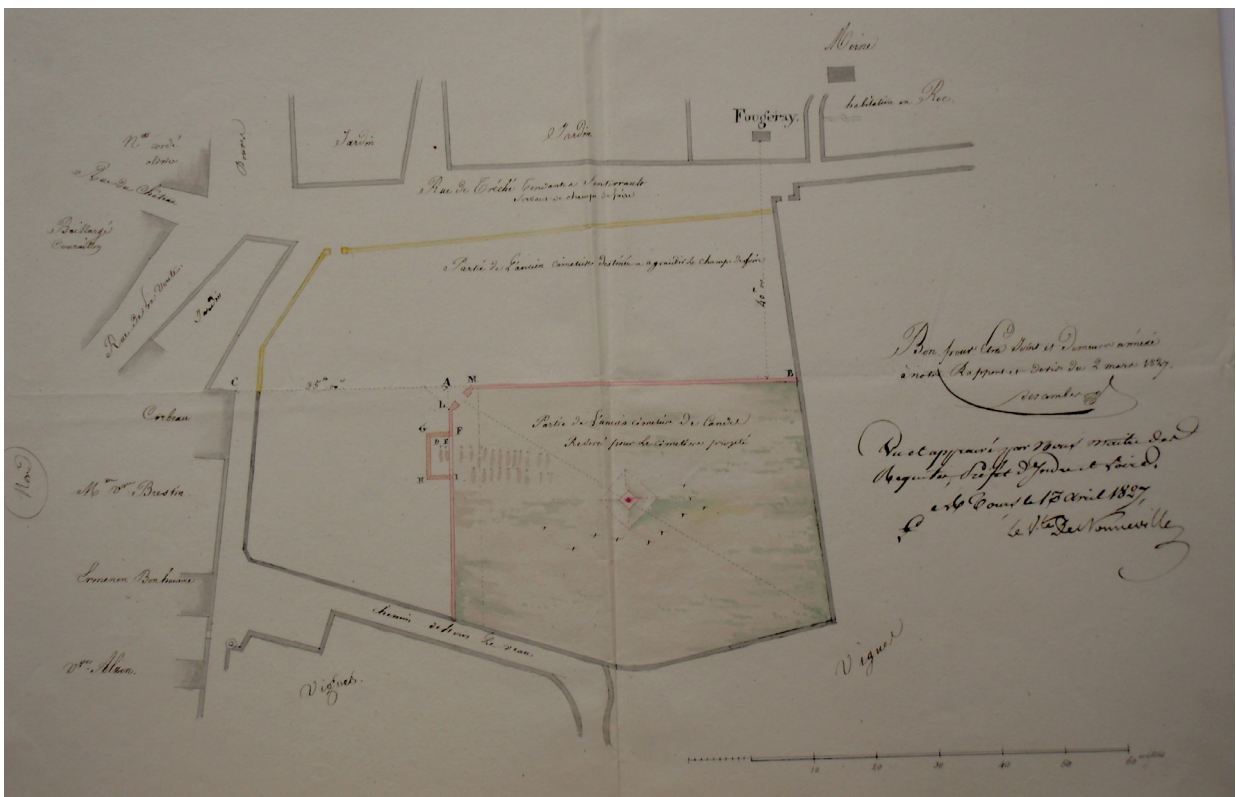


Plan figuré de la partie de Candes où est le cimetière

Figure 66 : Deux plans des aménagements projetés pour la Place du Champ de Foire et le cimetière de Candes-Saint-Martin (AD37 ; 2O 42 36 PI 1B) (début XIXe s.).



Plan pour servir à faire connaître l'étendue de l'ancien cimetière de Candes, sa position respective aux habitations, rues et Champs de Foire qui l'entourent, lequel restera joint à notre rapport du six juillet 1824.



Bon pour être joint et demeure annexé à notre rapport et devis du 2 mars 1827.

Figure 67 : Deux plans associés à un rapport concernant la construction des murs de clôture du cimetière de la commune de Candes (AD37 ; 2O 42 36 PI 1B) (en haut : 1824 ; en bas : 1827).

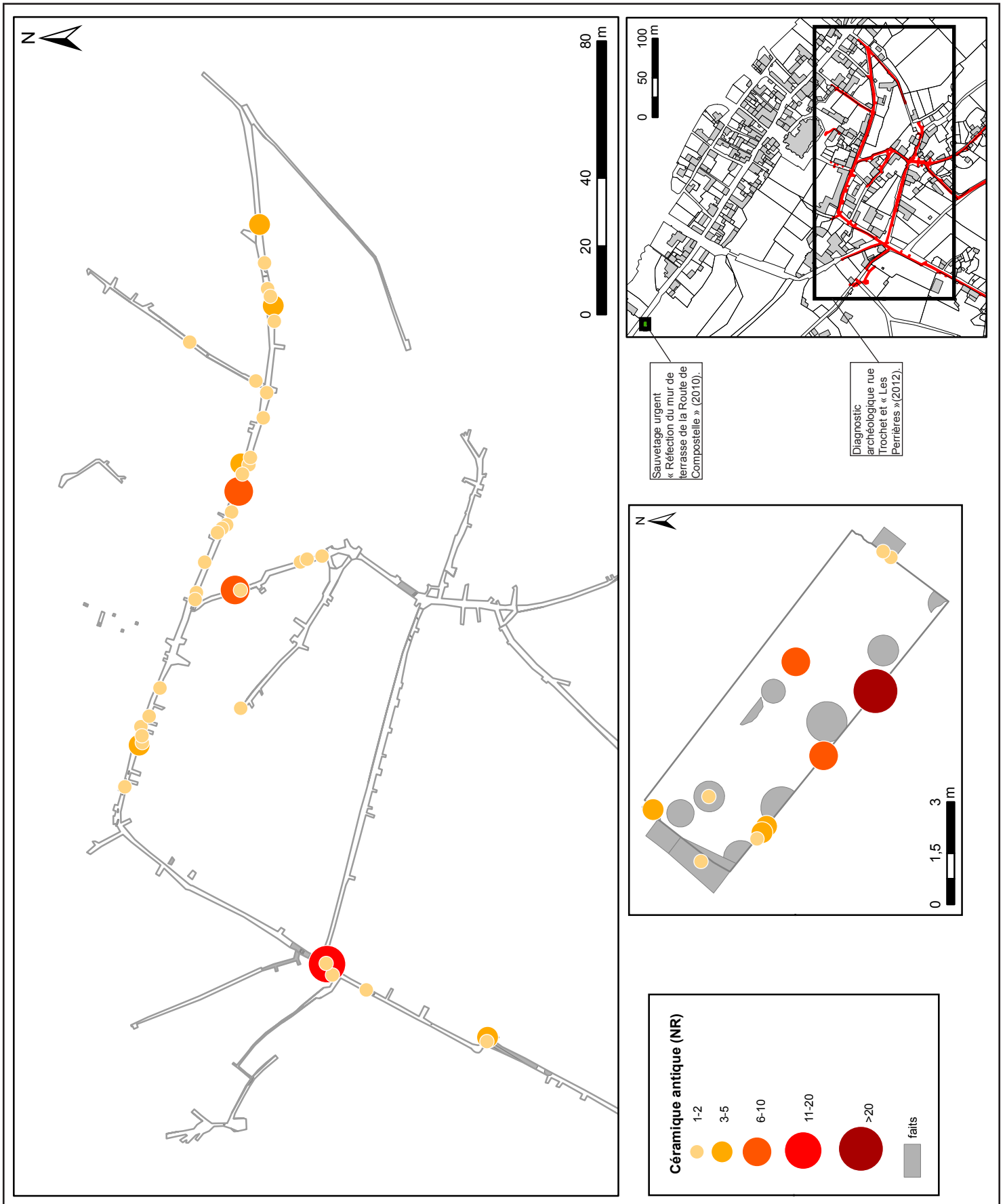


Figure 68 : Plan de localisation de la céramique antique sur les opérations de sauvetage urgent « Réfection du mur de terrasse de la Route de Compostelle » (2010) et de diagnostic archéologique rue Trochet et « Les Perrières » (2012).

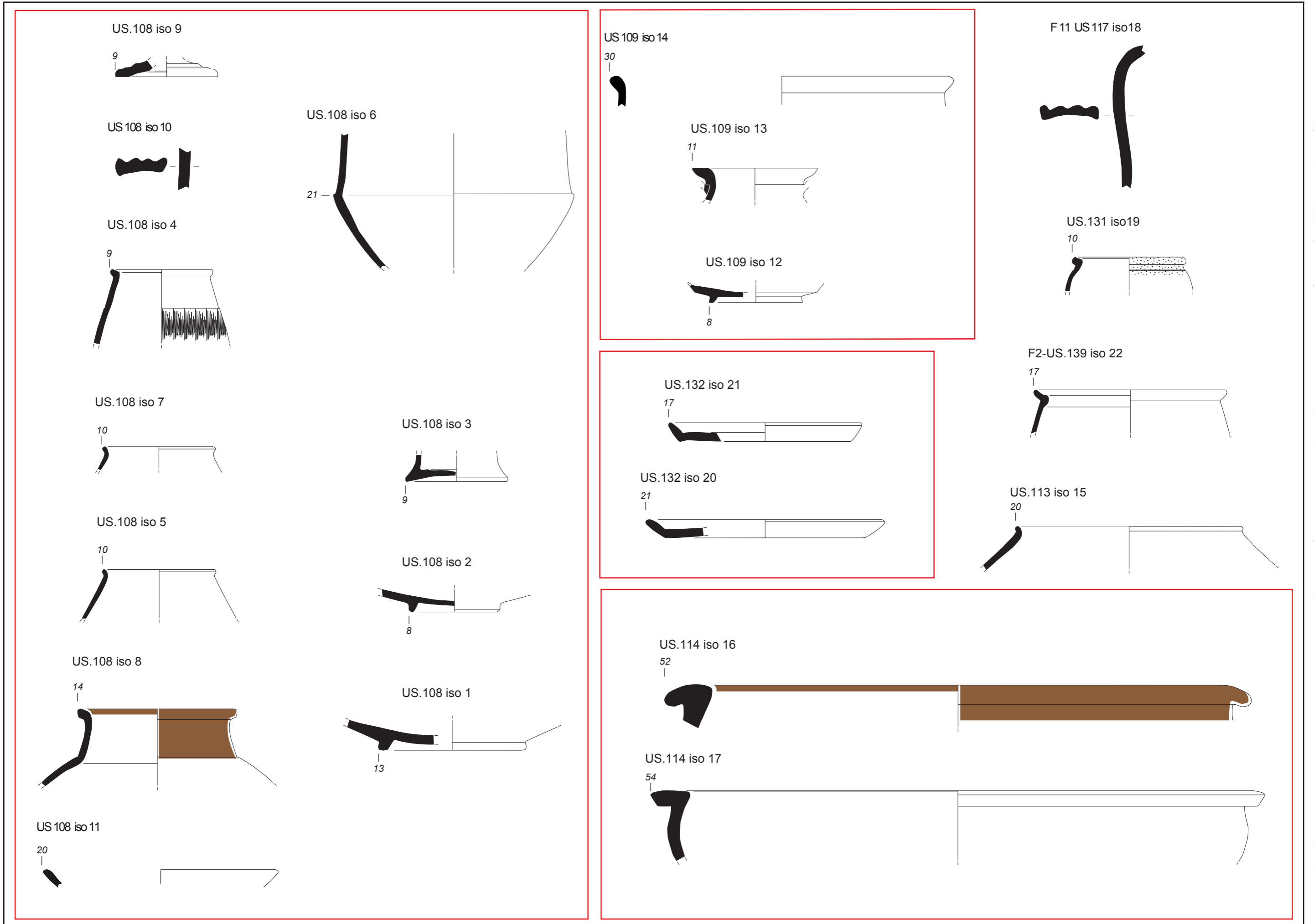


Figure 69 : Mobilier céramique antique du sauvetage urgent « Route de Compostelle » de 2010. Planche 1/2 (dessins : Chhavy-Cyril TAN et Juliette GRALL).

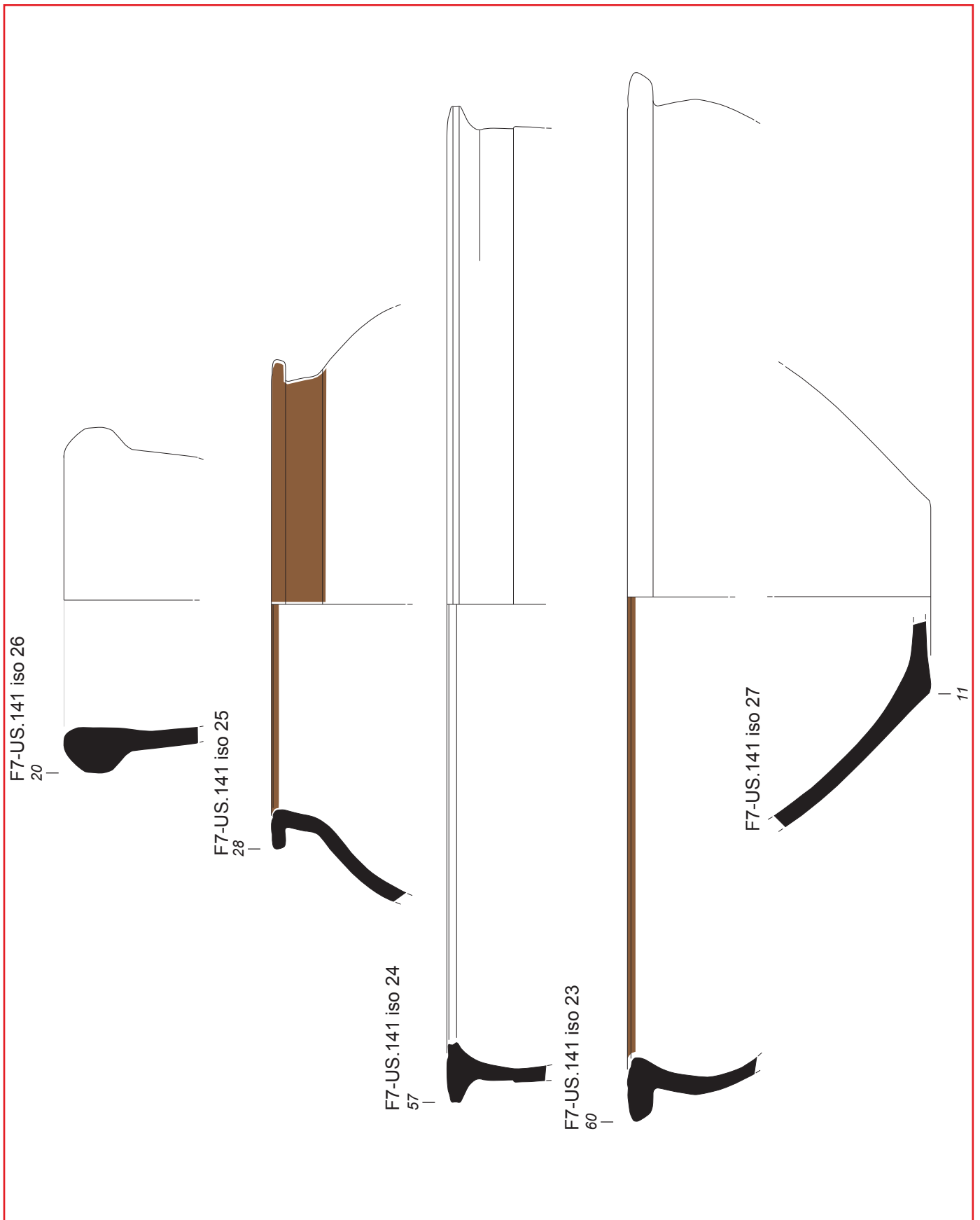


Figure 70 : Mobilier céramique antique du sauvetage urgent « Route de Compostelle » de 2010. Planche 2/2 (dessins : Chhavy-Cyril TAN et Juliette GRALL).

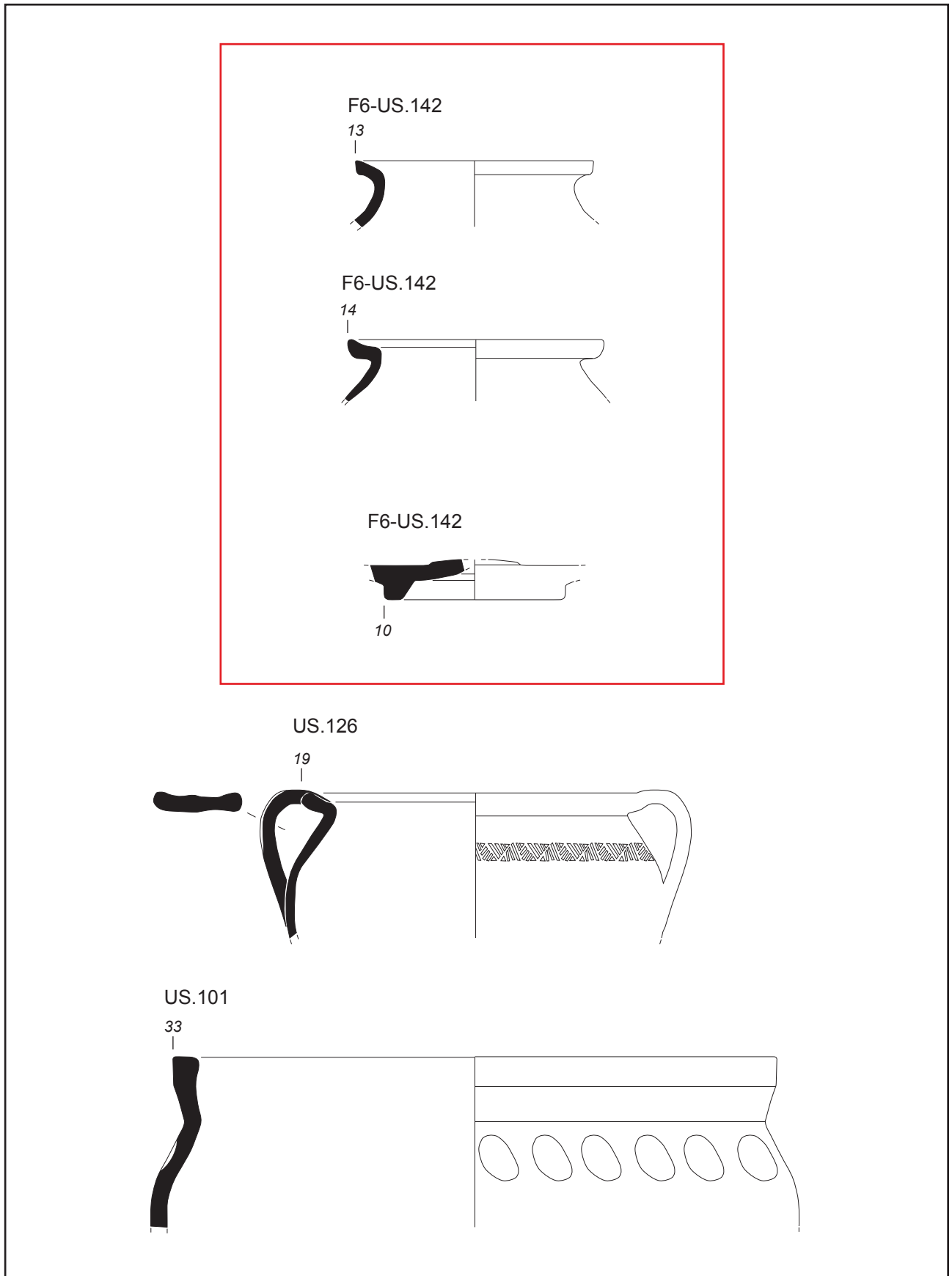


Figure 71 : Mobilier céramique médiéval du sauvetage urgent « Route de Compostelle » de 2010 (dessins : Chhavy-Cyril TAN et Juliette GRALL).

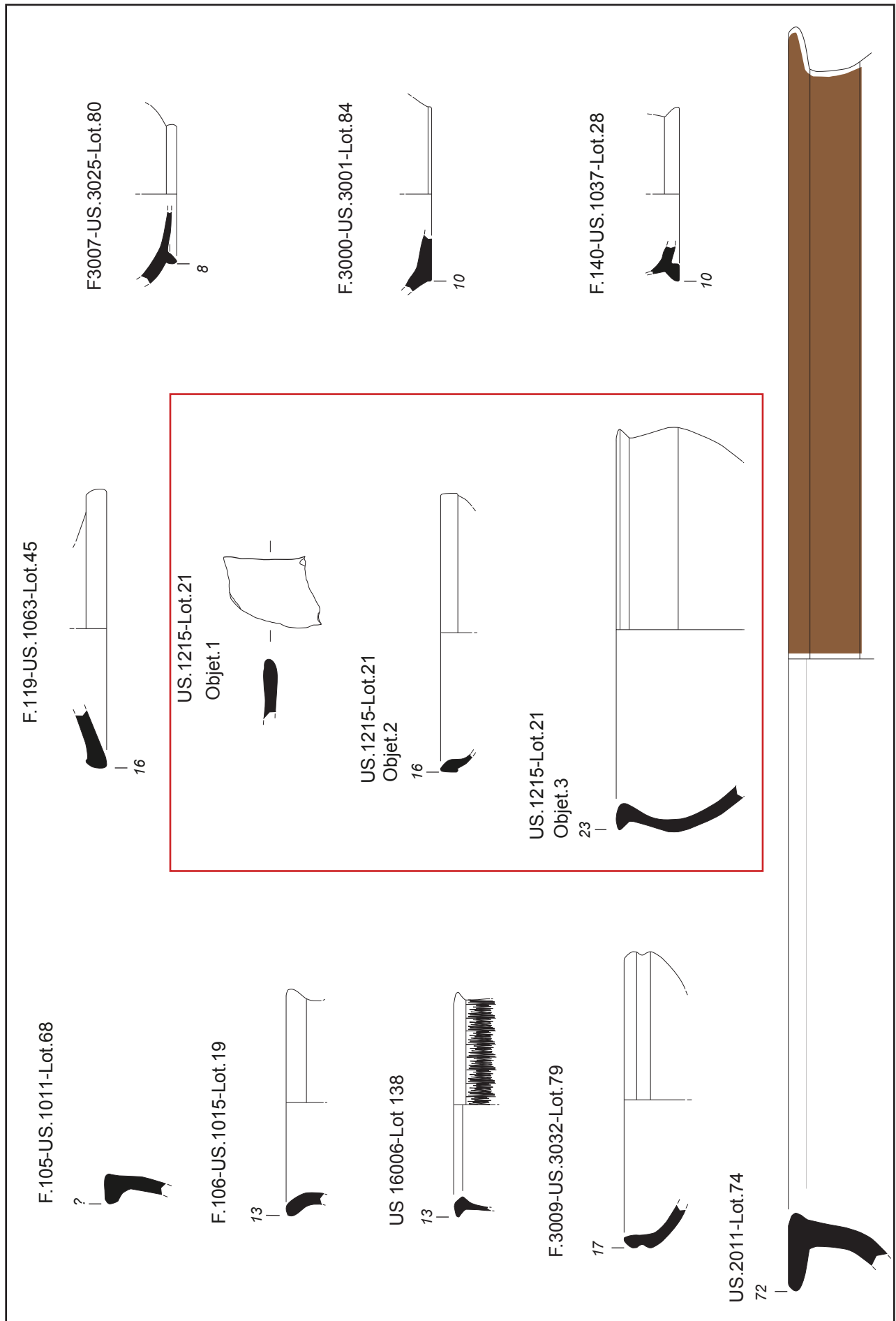


Figure 72 : Mobilier céramique antique du diagnostic archéologique de 2011/2012 (dessins : Chhavy-Cyril TAN et Juliette GRALL).

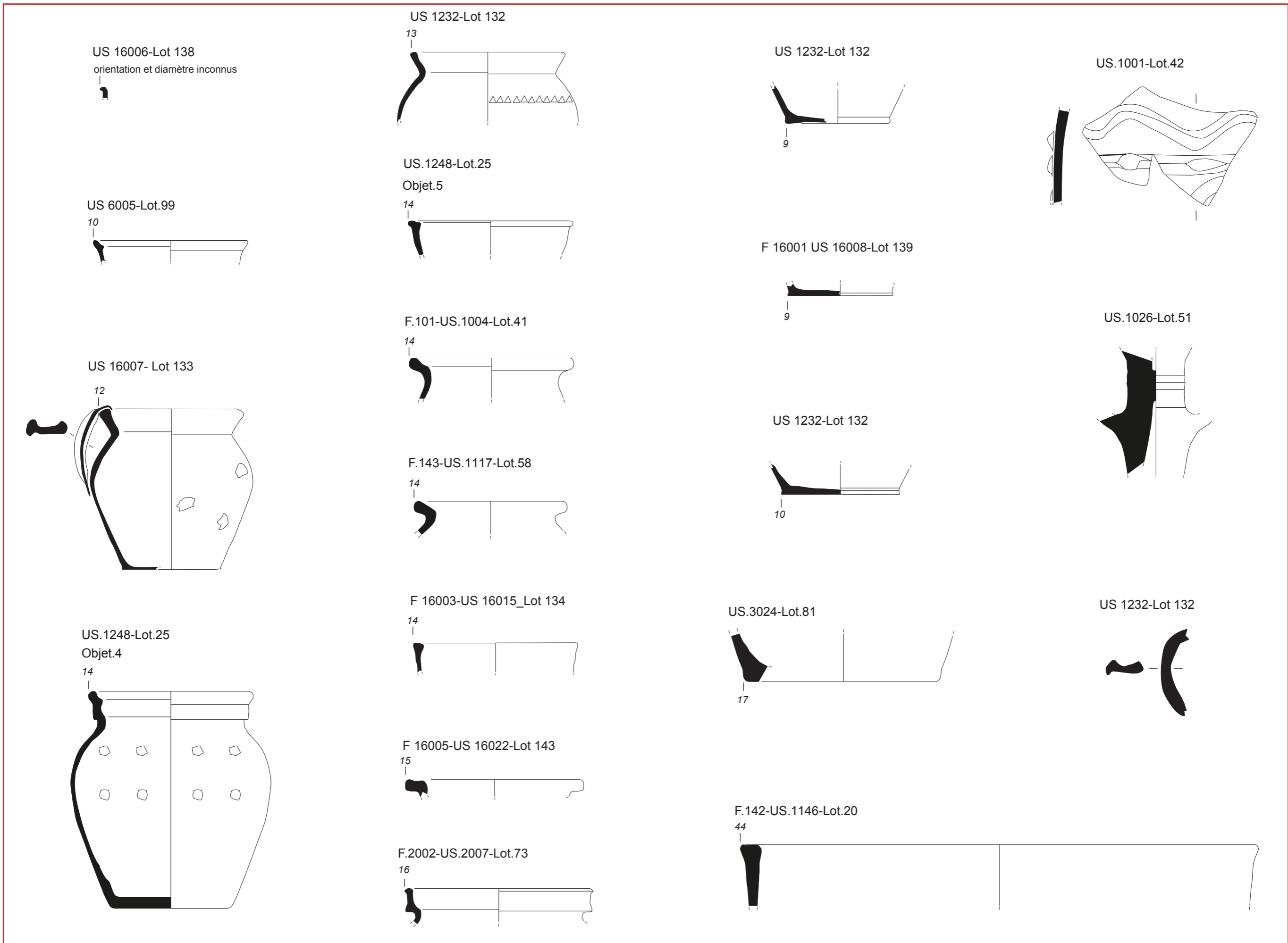


Figure 73 : Mobilier céramique médiéval du diagnostic archéologique de 2011/2012 (dessins : Chhavy-Cyril TAN et Juliette GRALL).

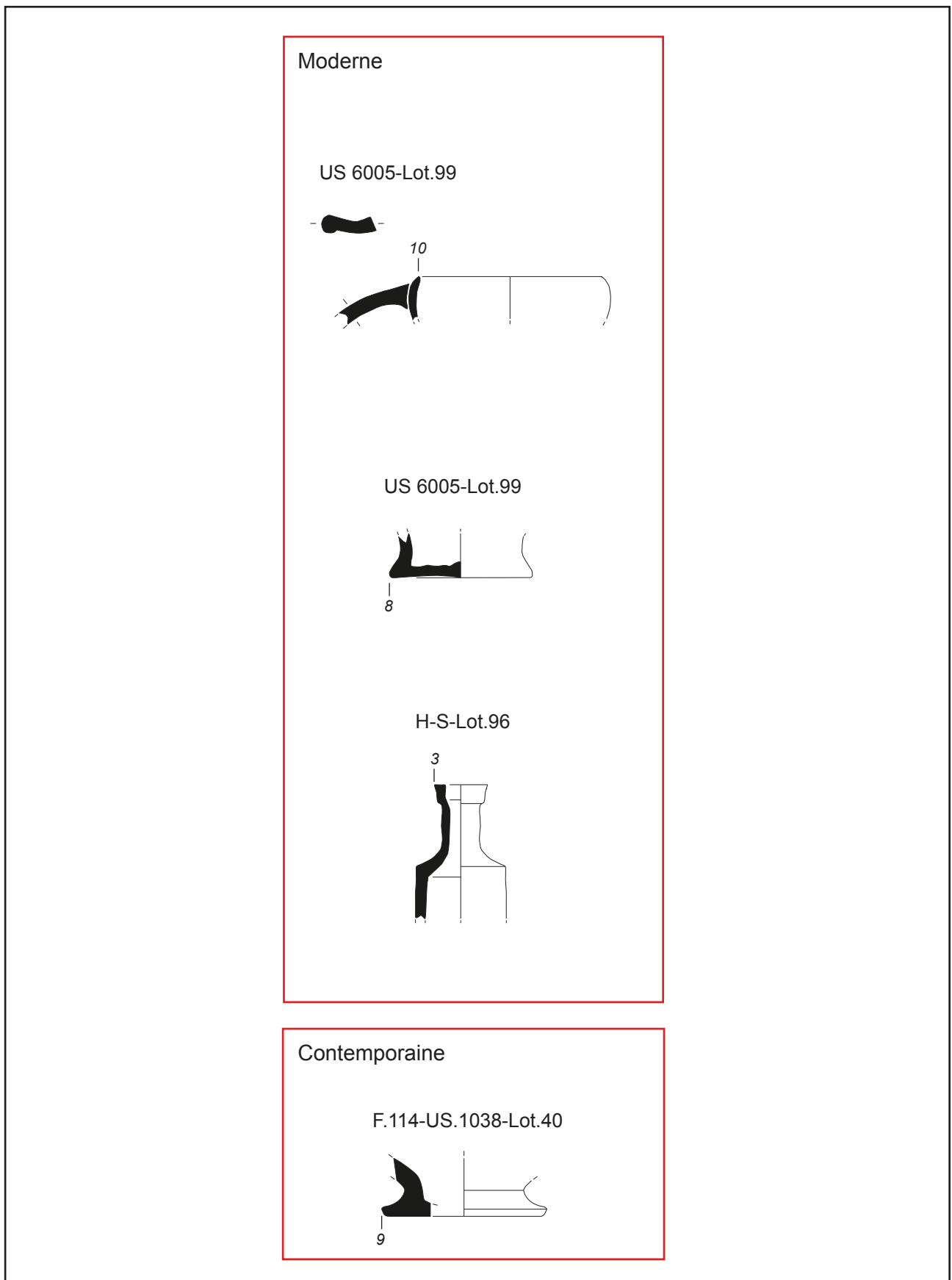


Figure 74 : Mobilier céramique moderne et contemporain du diagnostic archéologique de 2011/2012 (dessins : Chhavy-Cyril TAN et Juliette GRALL).

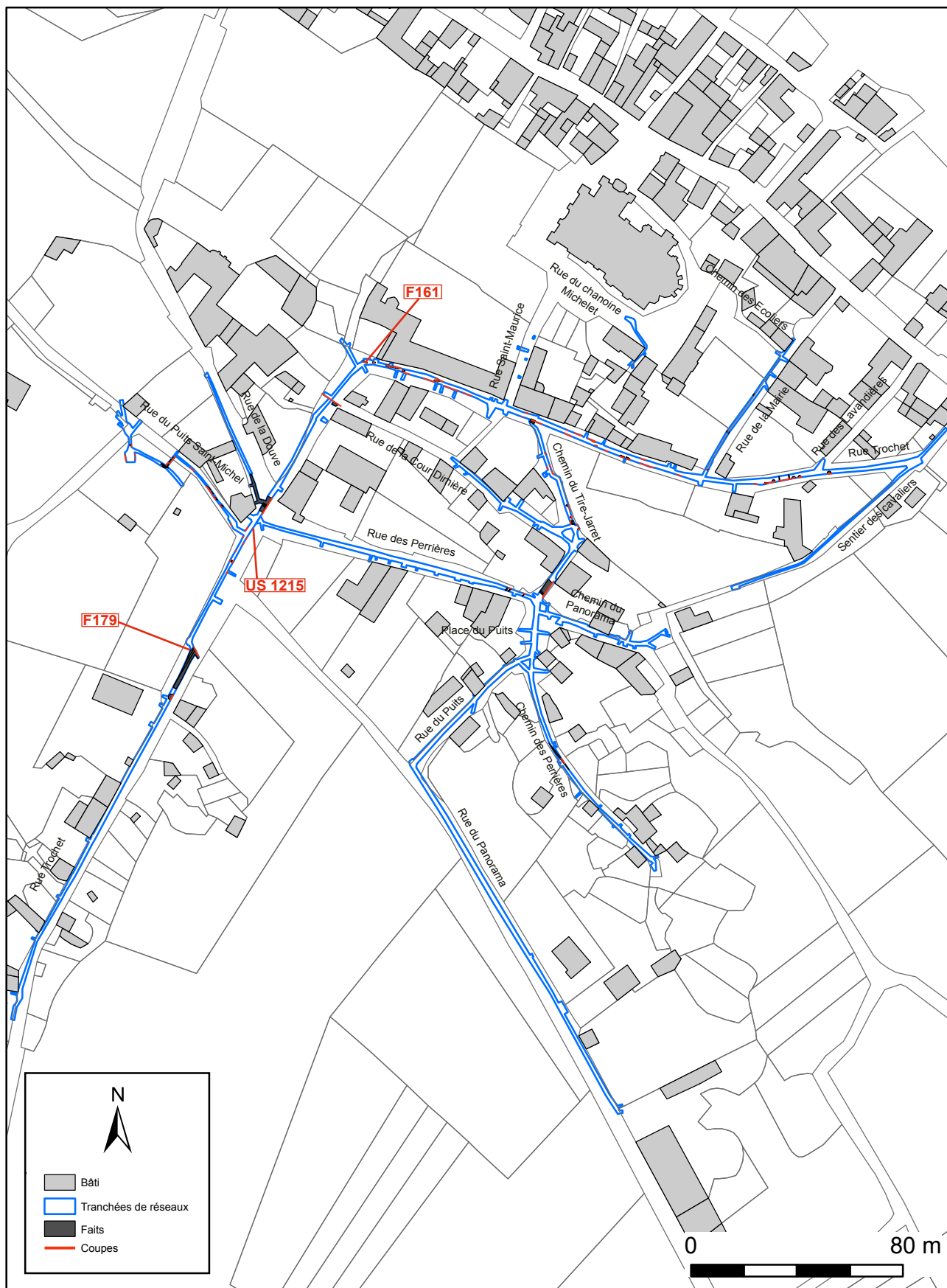


Figure 75 : Localisation des scories découvertes lors du diagnostic de 2011/2012.

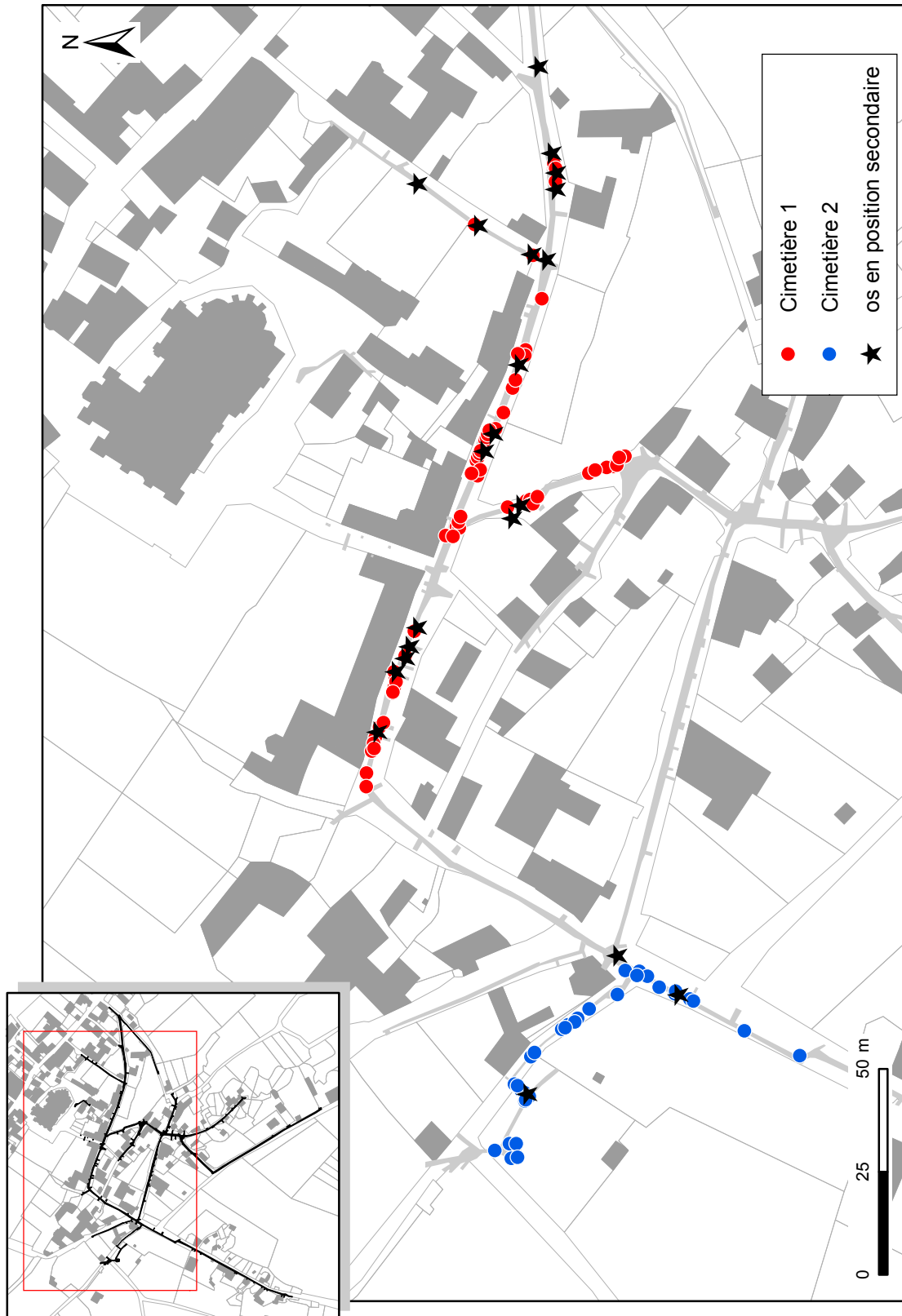


Figure 76 : Les deux zones de sépultures.

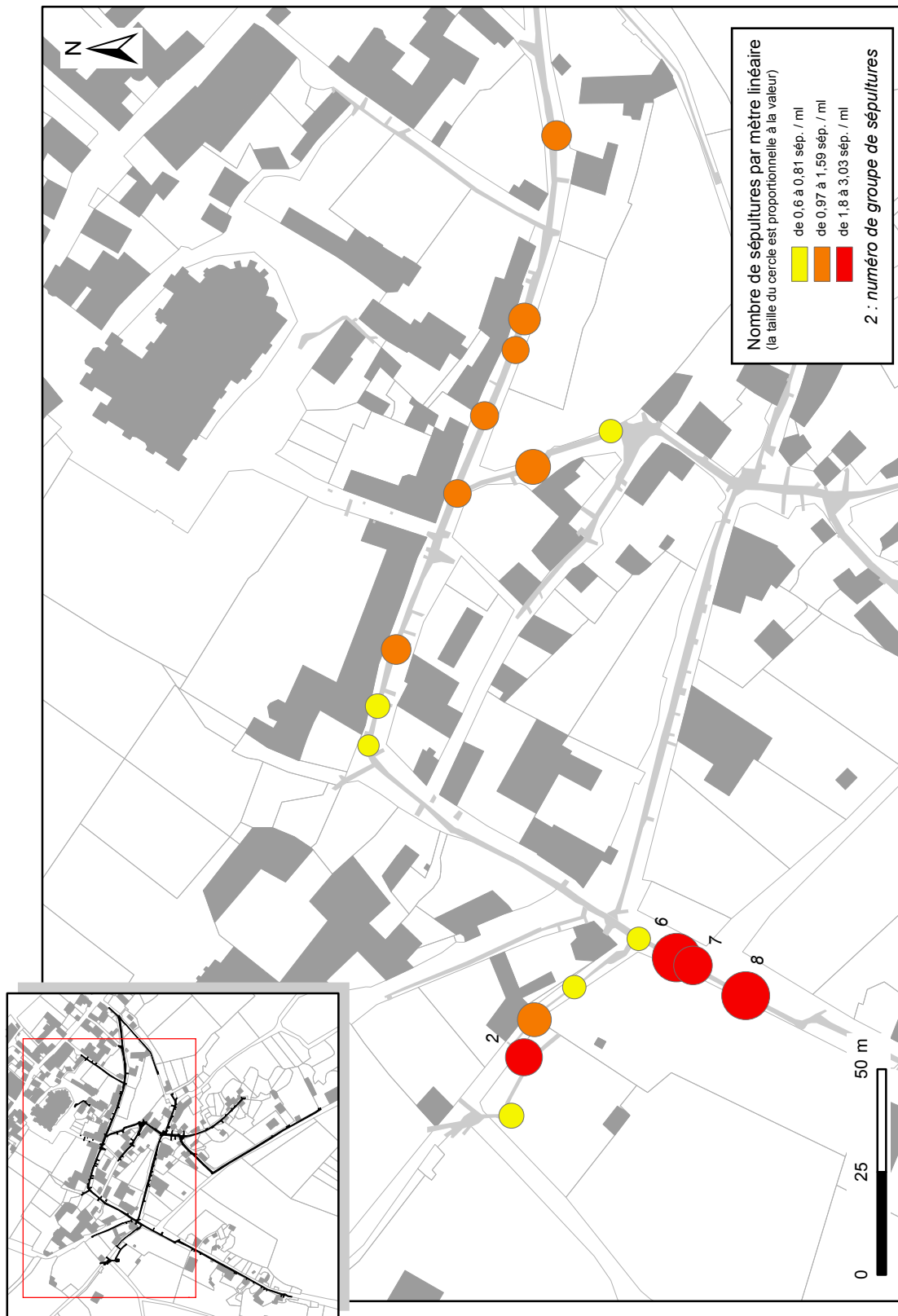


Figure 77 : Nombre de sépultures par mètre linéaire au sein de chaque groupe de sépultures.

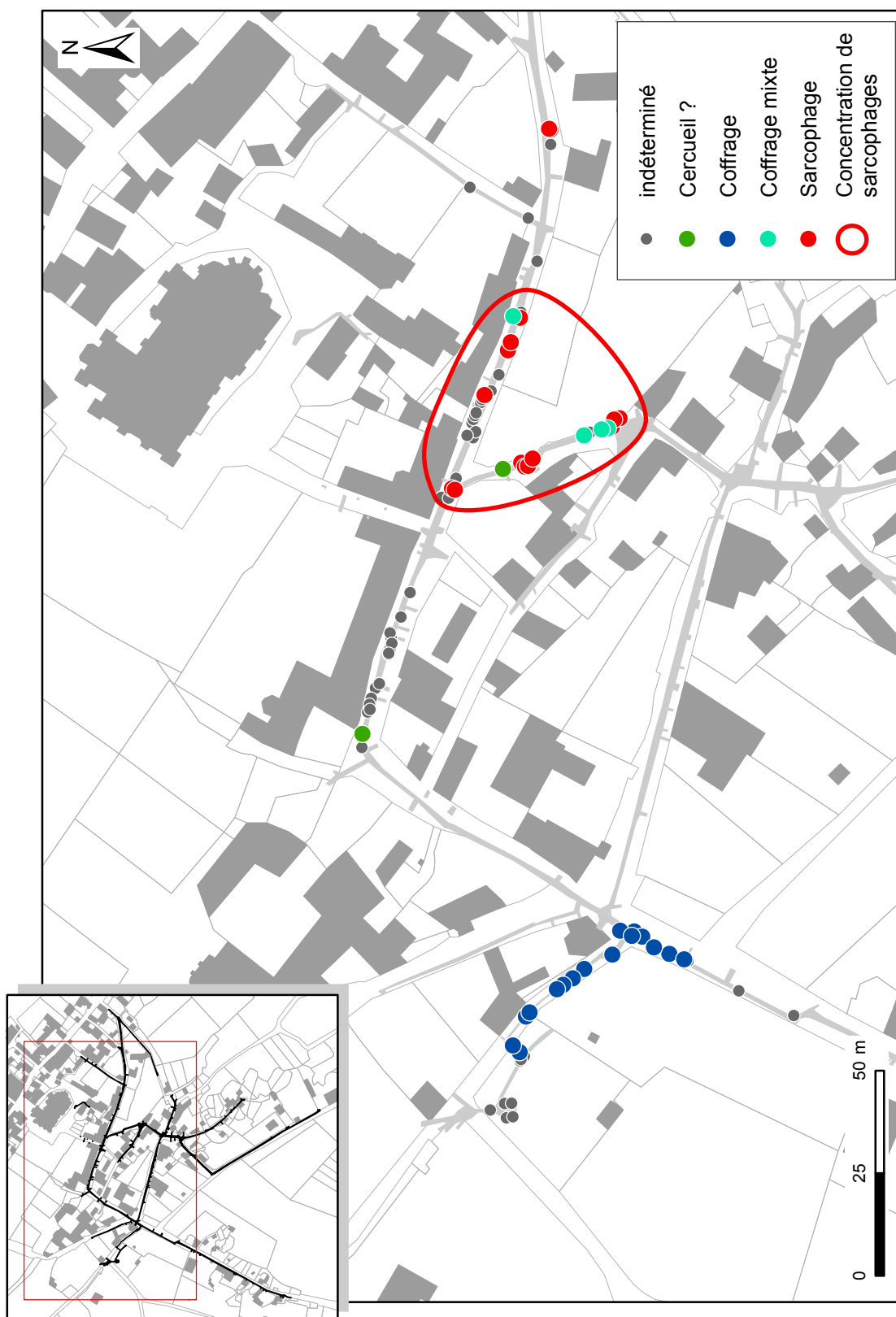


Figure 78 : Cartographie des différents types d'architectures funéraires.

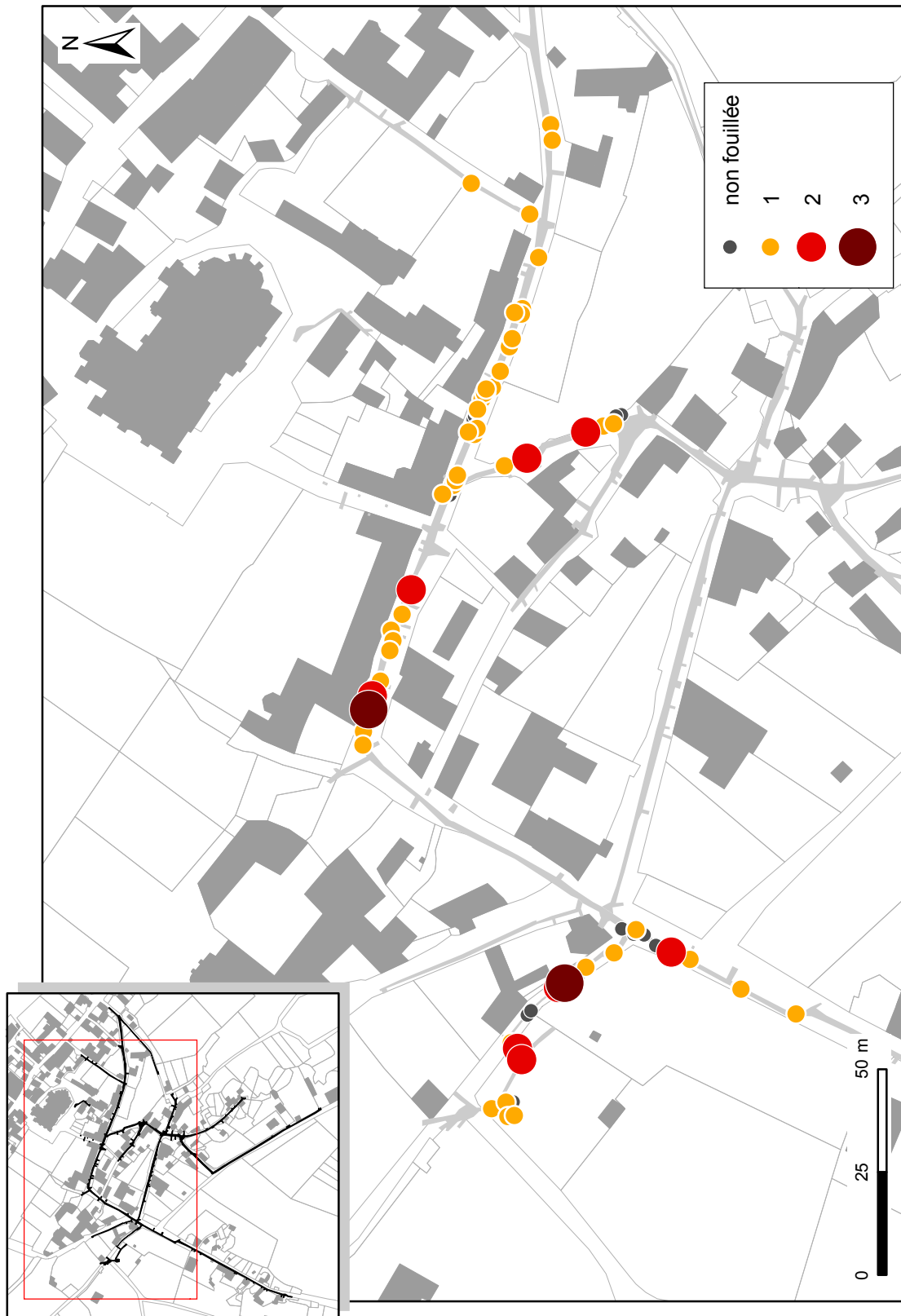


Figure 79 : Nombre d'individu(s) dans chaque fosse de sépulture : individus en position primaire et redéposé(s).



Figure 80 : Lieux de découverte des fragments de vases funéraires.

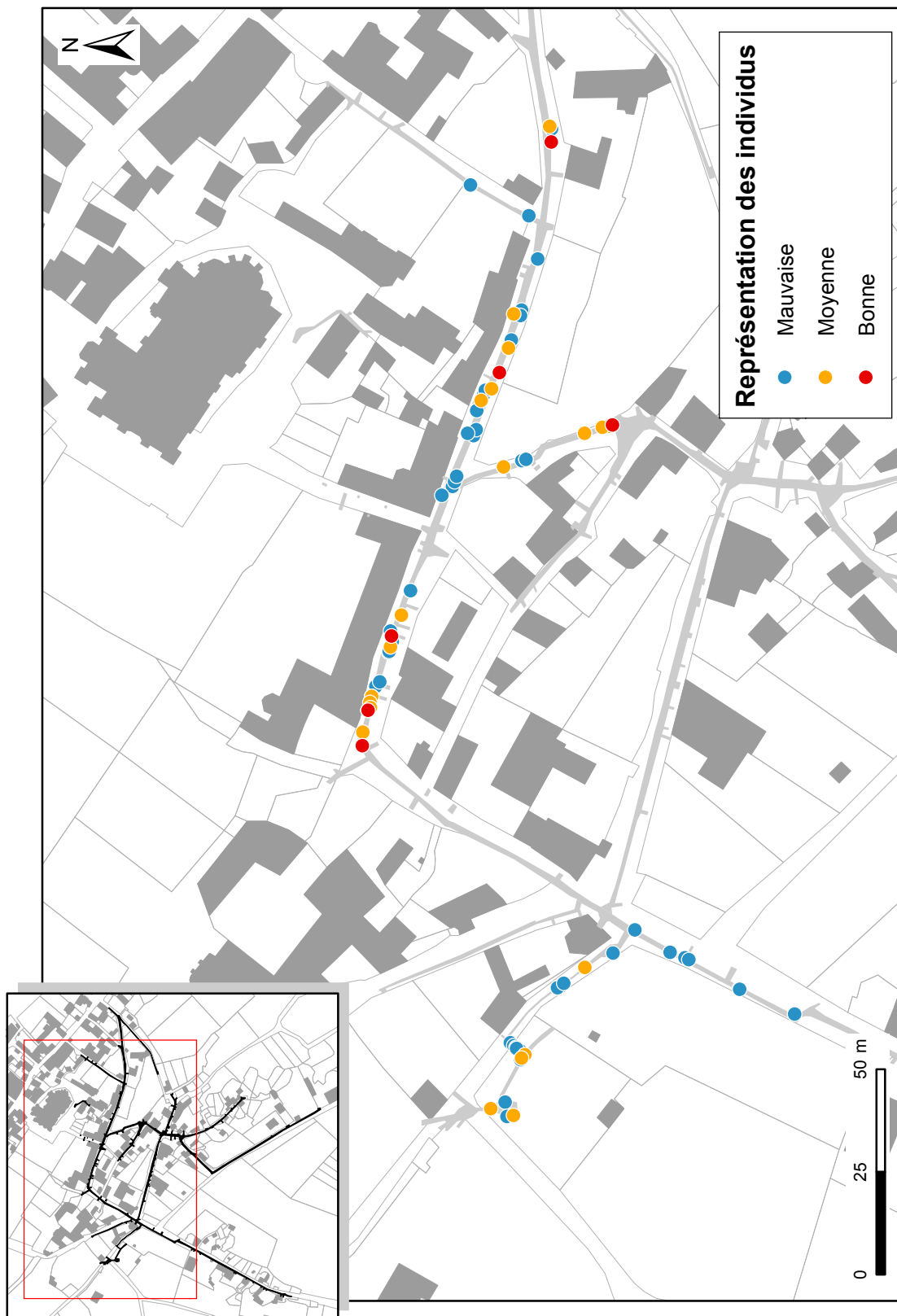


Figure 81 : Localisation des individus bien, moyennement et mal représentés.

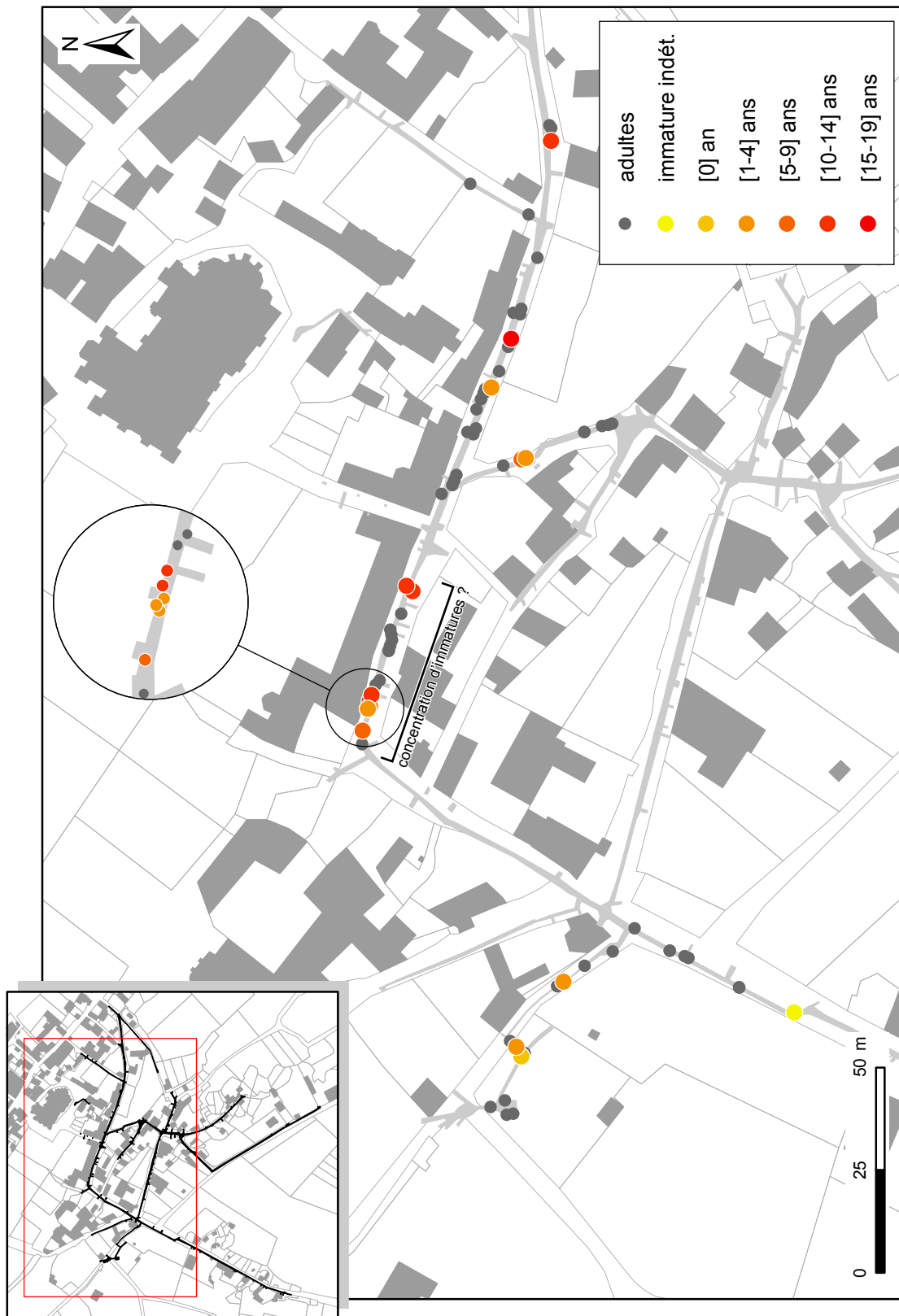


Figure 82 : Répartition des individus immatures.

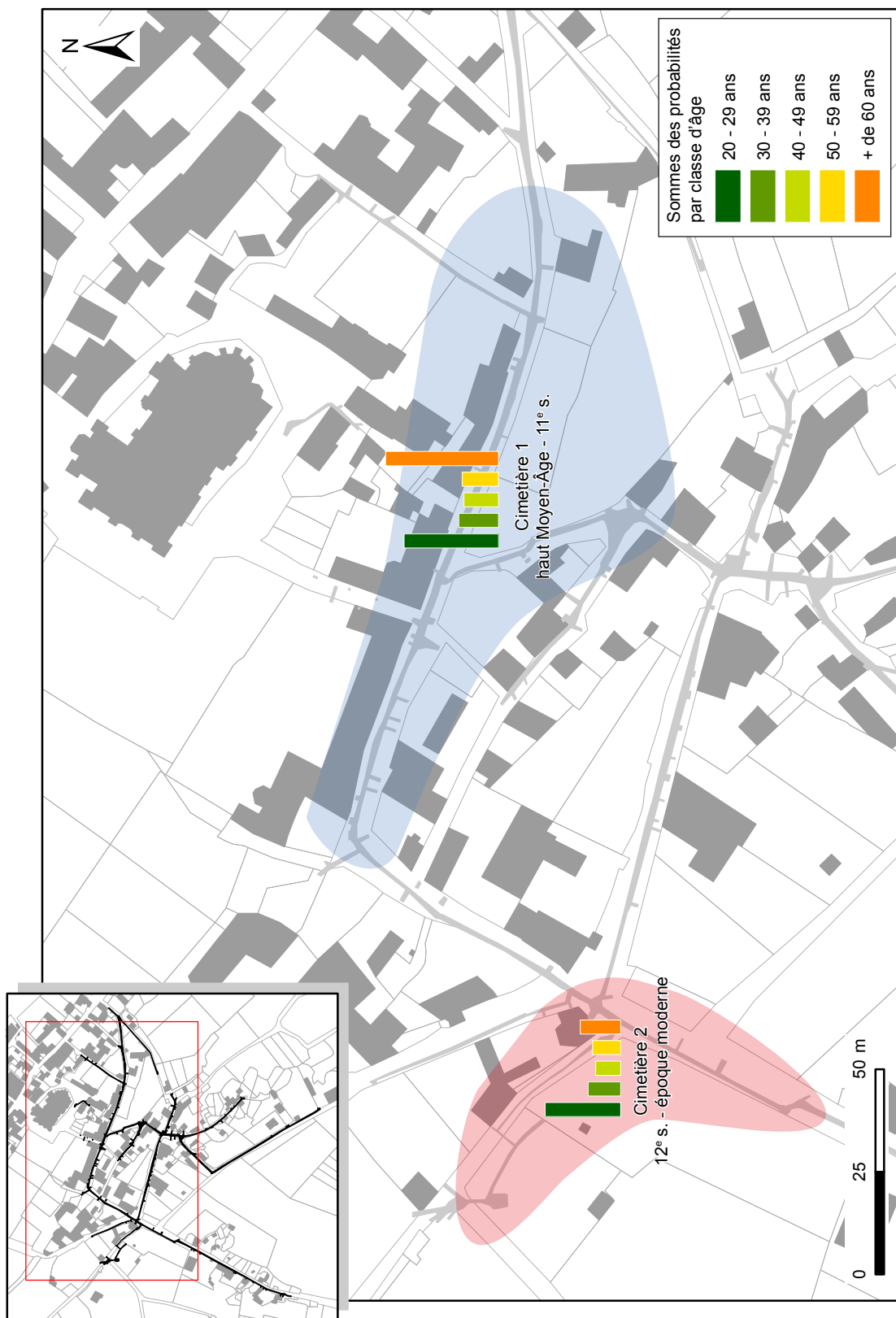


Figure 83 : Comparaison de la structure de la mortalité des adultes entre les deux cimetières.

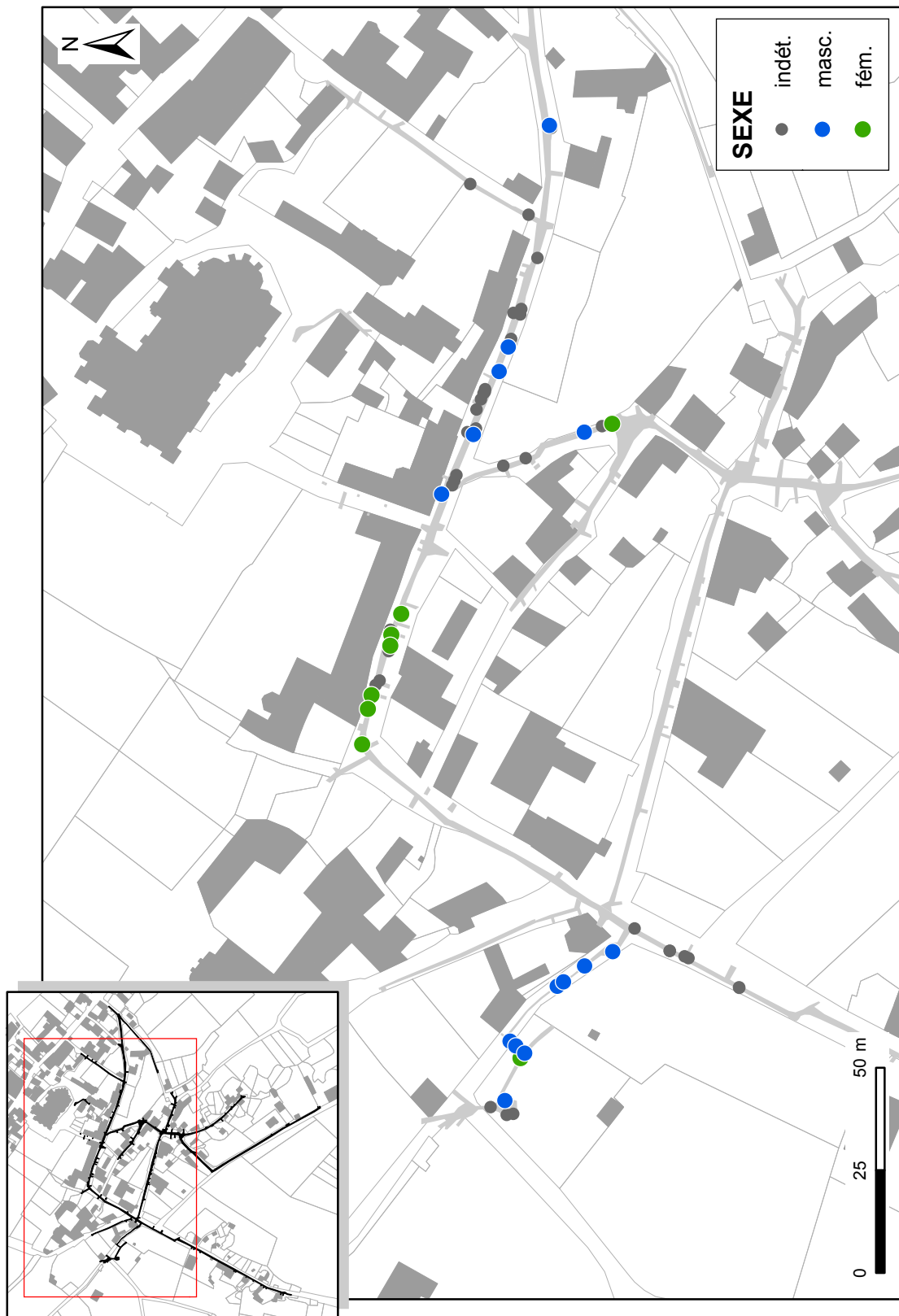


Figure 84 : Localisation des adultes masculins et féminins.



Figure 85 : Localisation des individus présentant une ou plusieurs pathologies.

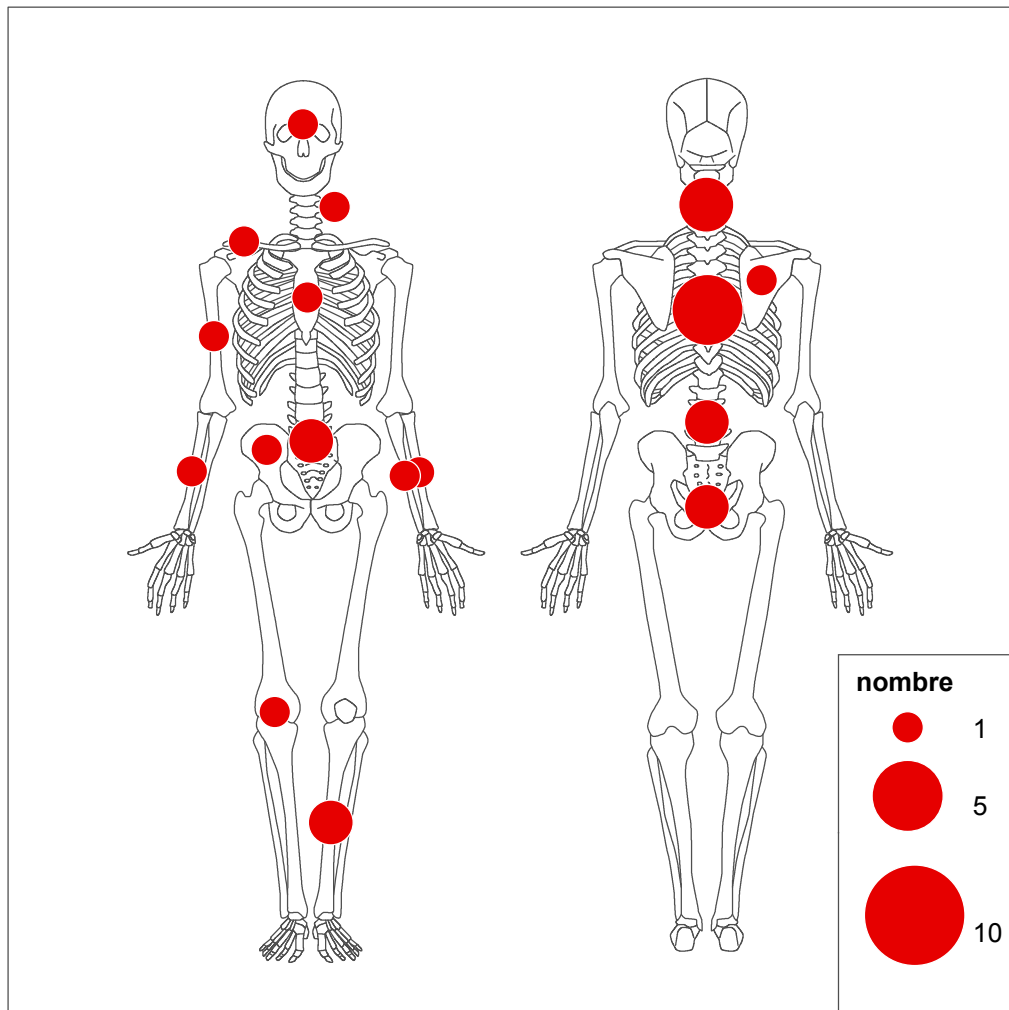


Figure 86 : Détail, sur un squelette type, du nombre de pathologies identifiées par grandes régions osseuses.

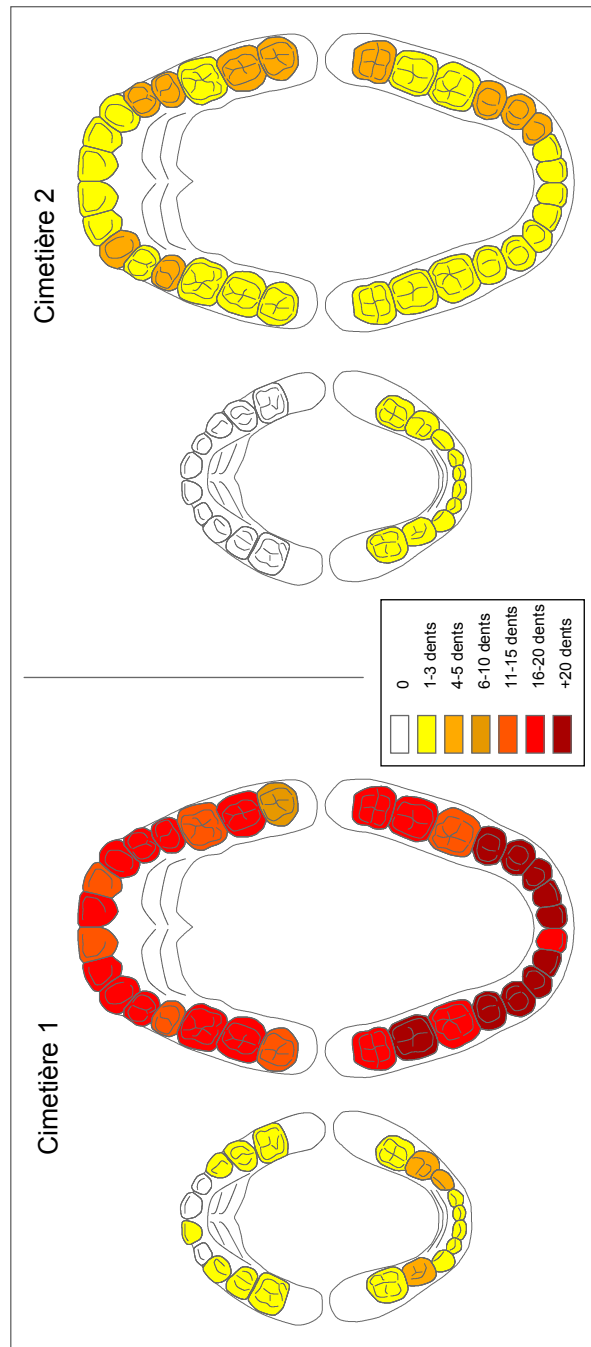


Figure 87 : Conservation dentaire.

Cimetière 1
 Nombre de pertes *ante-mortem*

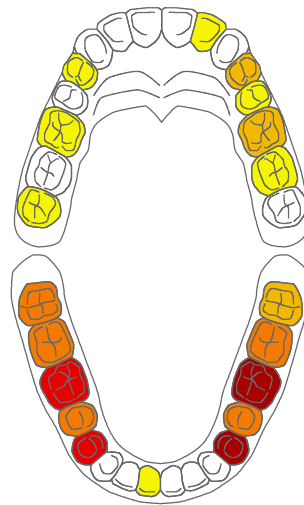


Figure 88 : Cimetière du haut Moyen-Âge, nombre de pertes ante-mortem (PAM) pour chaque dent.

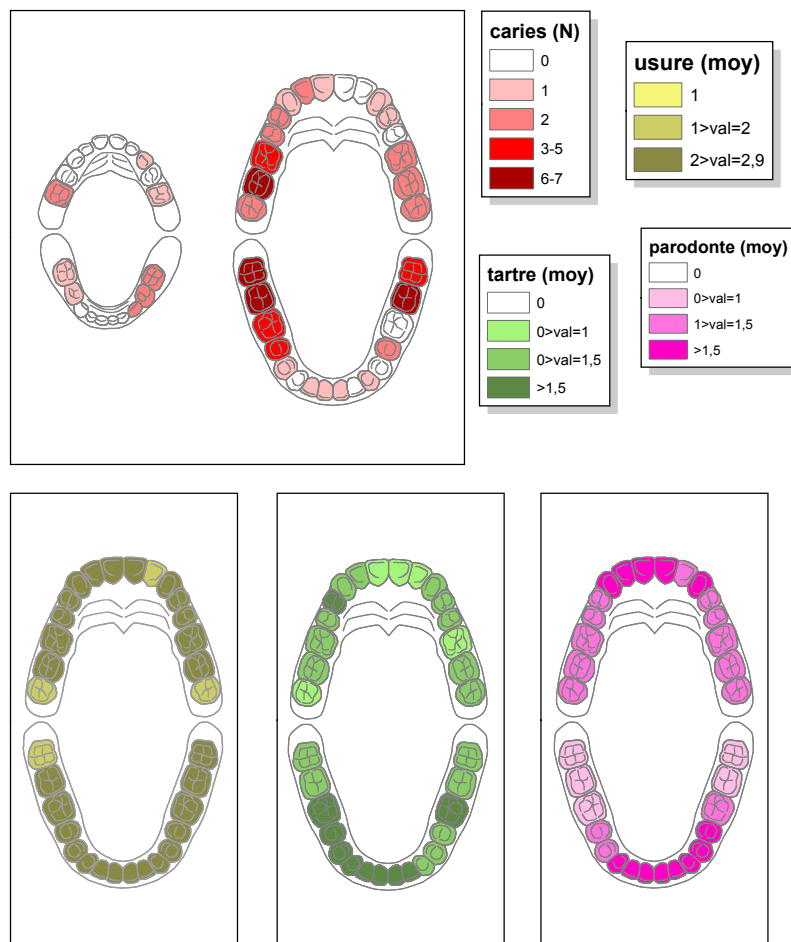


Figure 89 : Cimetière du haut Moyen-Âge, état dentaire - nombre de caries (dents déciduales et définitives), moyenne d'usure, de dépôt de tartre et de parodontose (dents définitives).

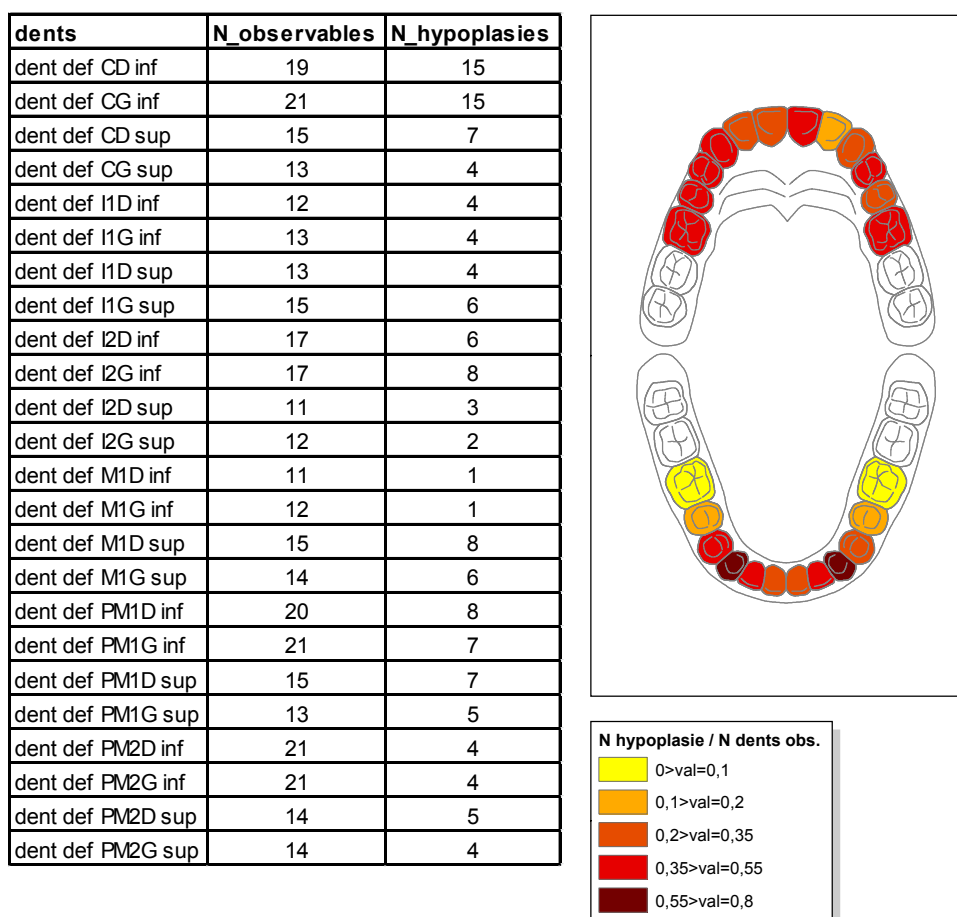


Figure 90 : Cimetière du haut Moyen-Âge, hypoplasies de l'émail dentaire - décompte et rapport entre nombre total d'hypoplasies et nombre de dents conservées.

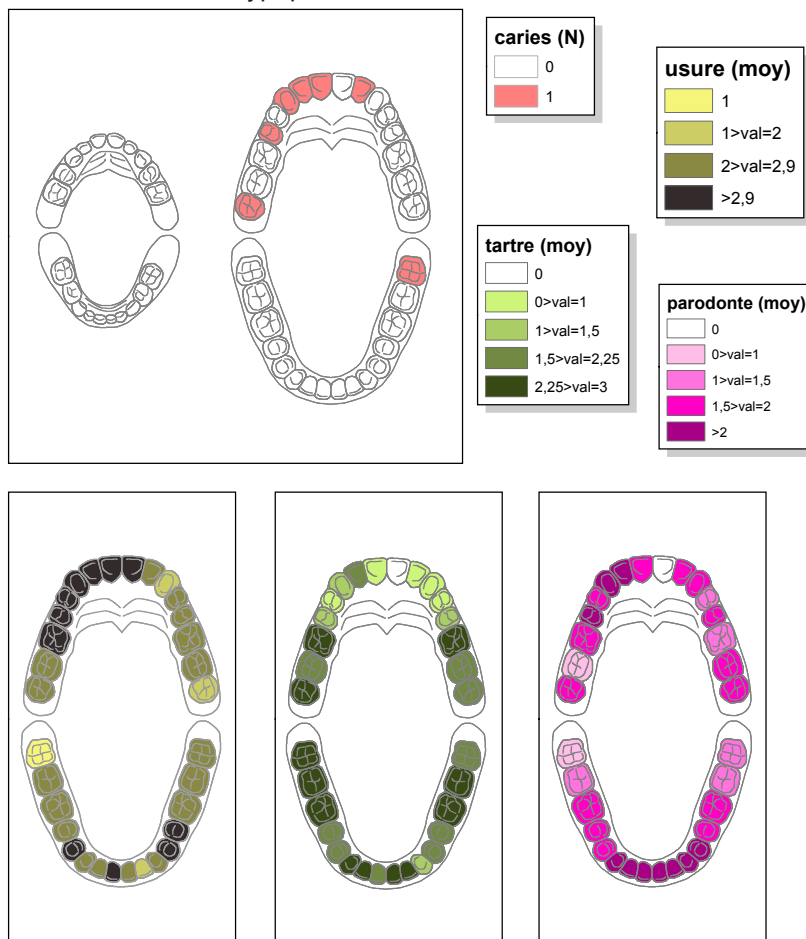


Figure 91 : Cimetière médiéval et moderne, état dentaire - nombre de caries (dents déciduales et définitives), moyenne d'usure, de dépôt de tartre et de parodontose (dents définitives).

dents	N_observables	N_hypoplasies
dent def CD inf	3	5
dent def CG inf	5	4
dent def CD sup	4	3
dent def CG sup	1	2
dent def I1D inf	2	1
dent def I1G inf	1	0
dent def I1D sup	3	3
dent def I1G sup	1	1
dent def I2D inf	2	2
dent def I2G inf	1	0
dent def I2D sup	3	2
dent def I2G sup	3	1
dent def M1D inf	1	1
dent def M1G inf	2	0
dent def M1D sup	1	0
dent def M1G sup	1	0
dent def PM1D inf	2	2
dent def PM1G inf	4	4
dent def PM1D sup	1	1
dent def PM1G sup	3	2
dent def PM2D inf	3	4
dent def PM2G inf	4	1
dent def PM2D sup	4	0
dent def PM2G sup	4	2

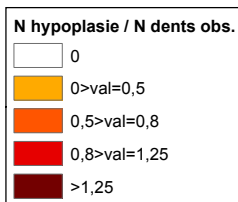
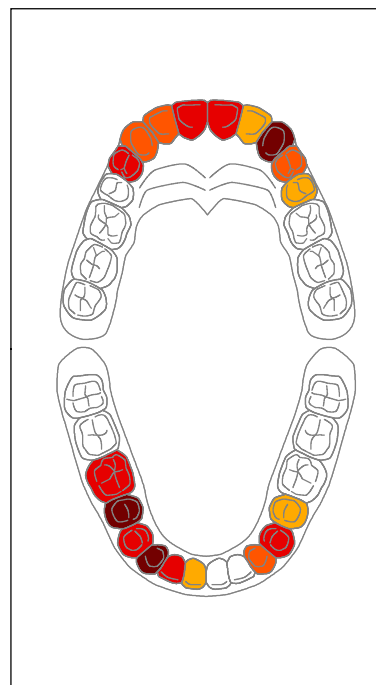


Figure 92 : Cimetière médiéval et moderne, hypoplasies de l'émail dentaire - décompte et rapport entre nombre total d'hypoplasies et nombre de dents conservées.

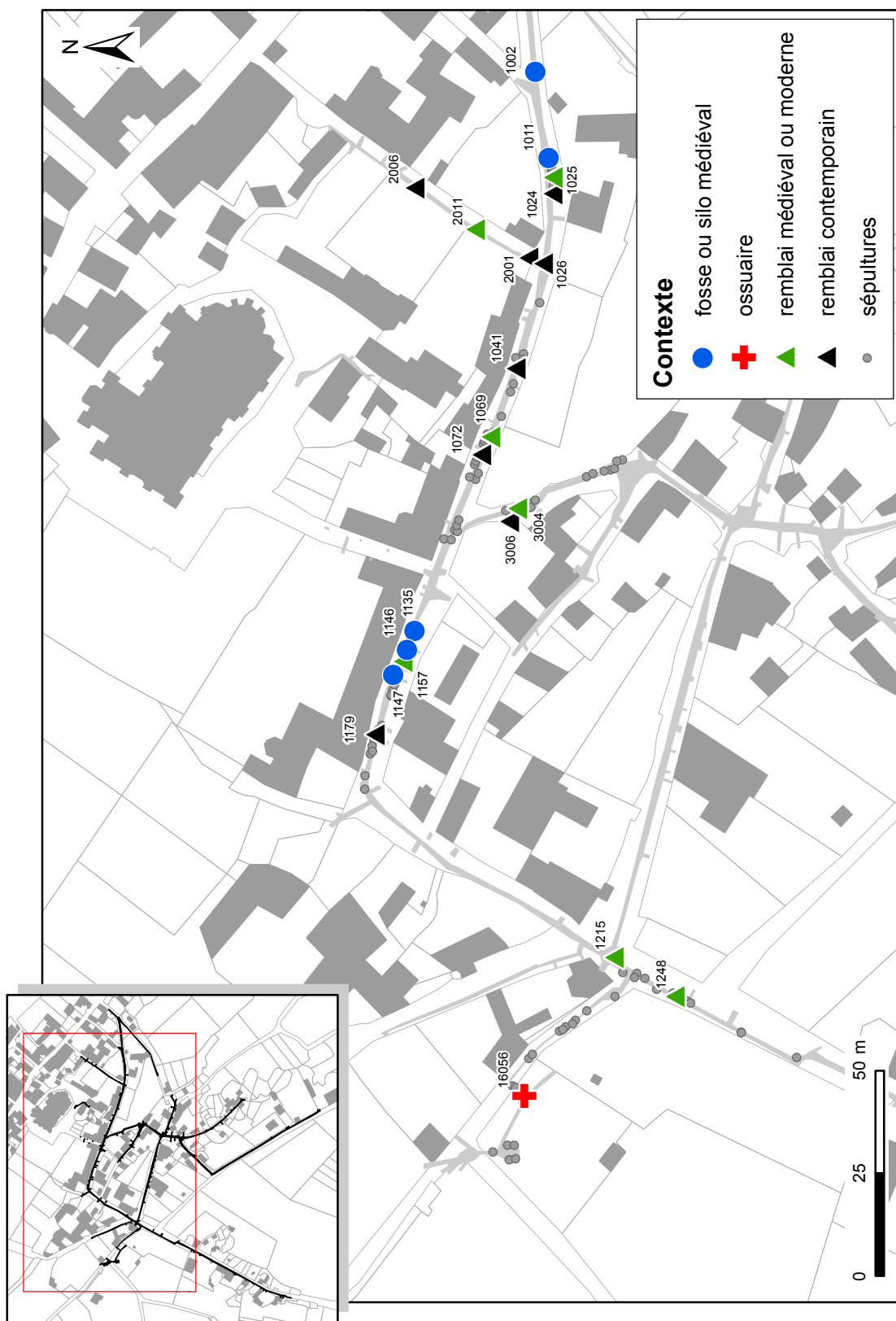


Figure 93 : Contextes de découverte des ossements erratiques (localisation).

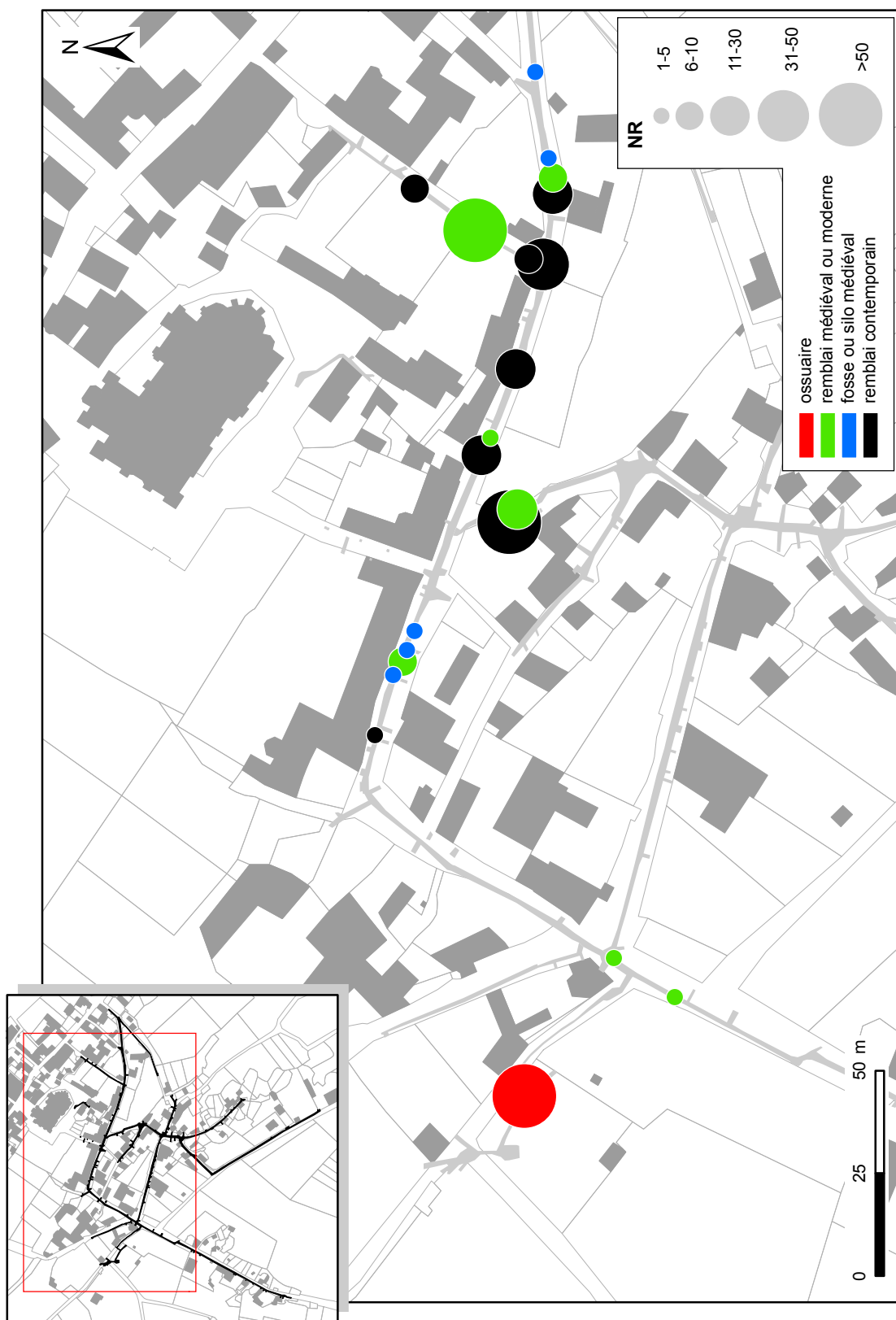
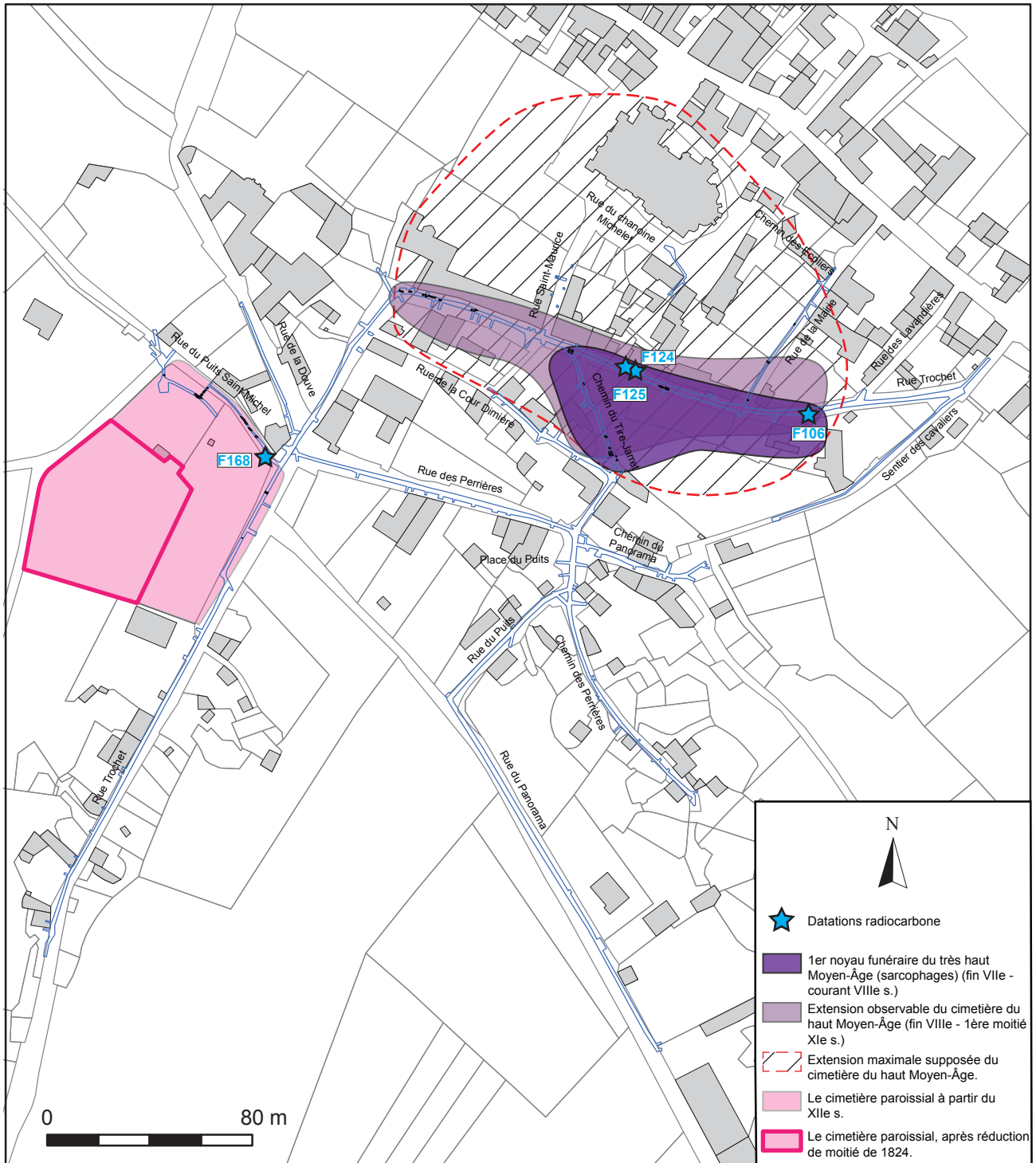


Figure 94 : Ossements erratiques - nombre de restes par contexte de découverte.



Figure 95 : Vue de l'ossuaire F16014.



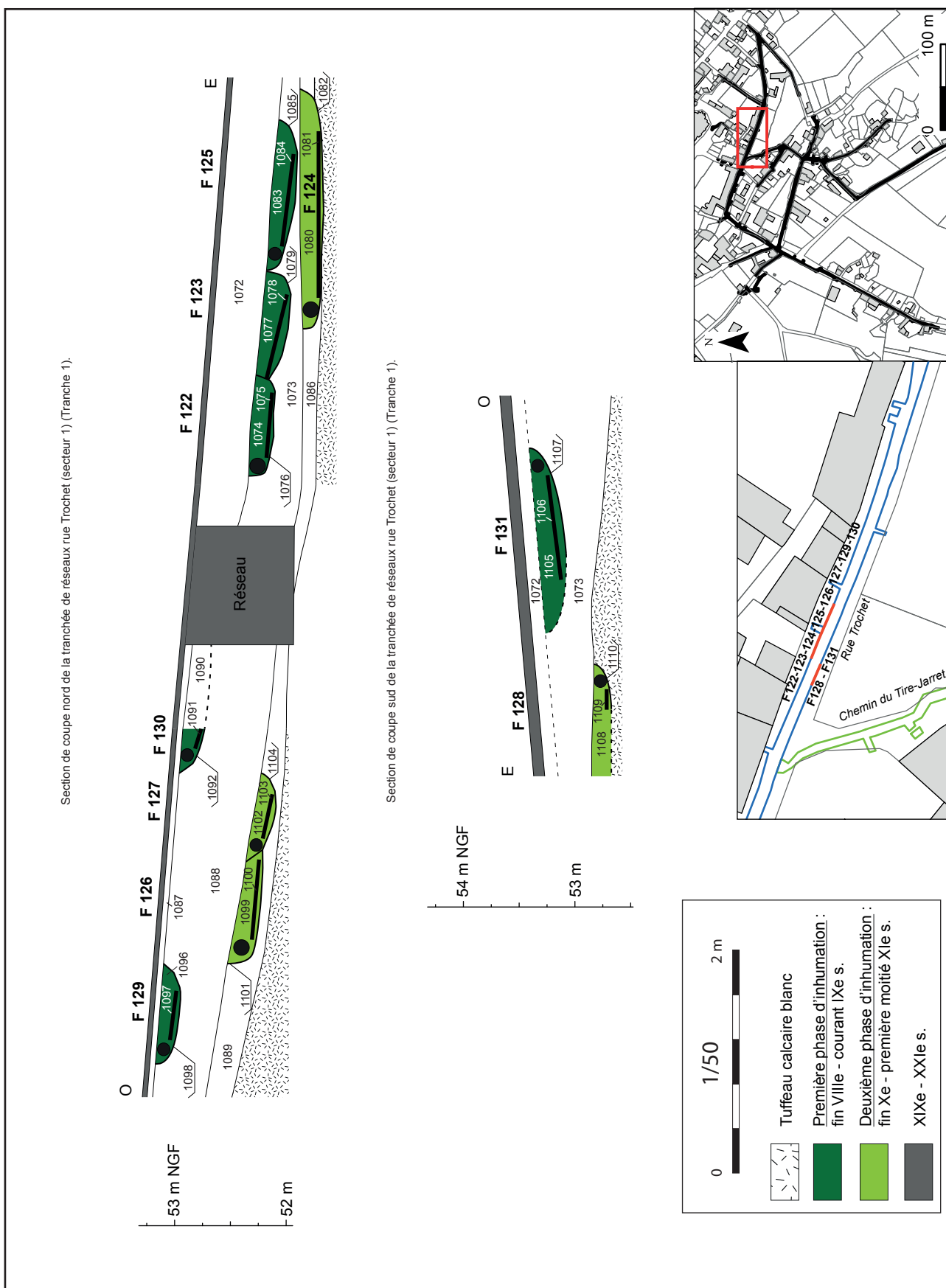


Figure 97 : Analyse archéologique des phases d'inhumation, sur une section de la rue Trochet (tronçon ouest/est) (secteur 1) (Tranche 1).

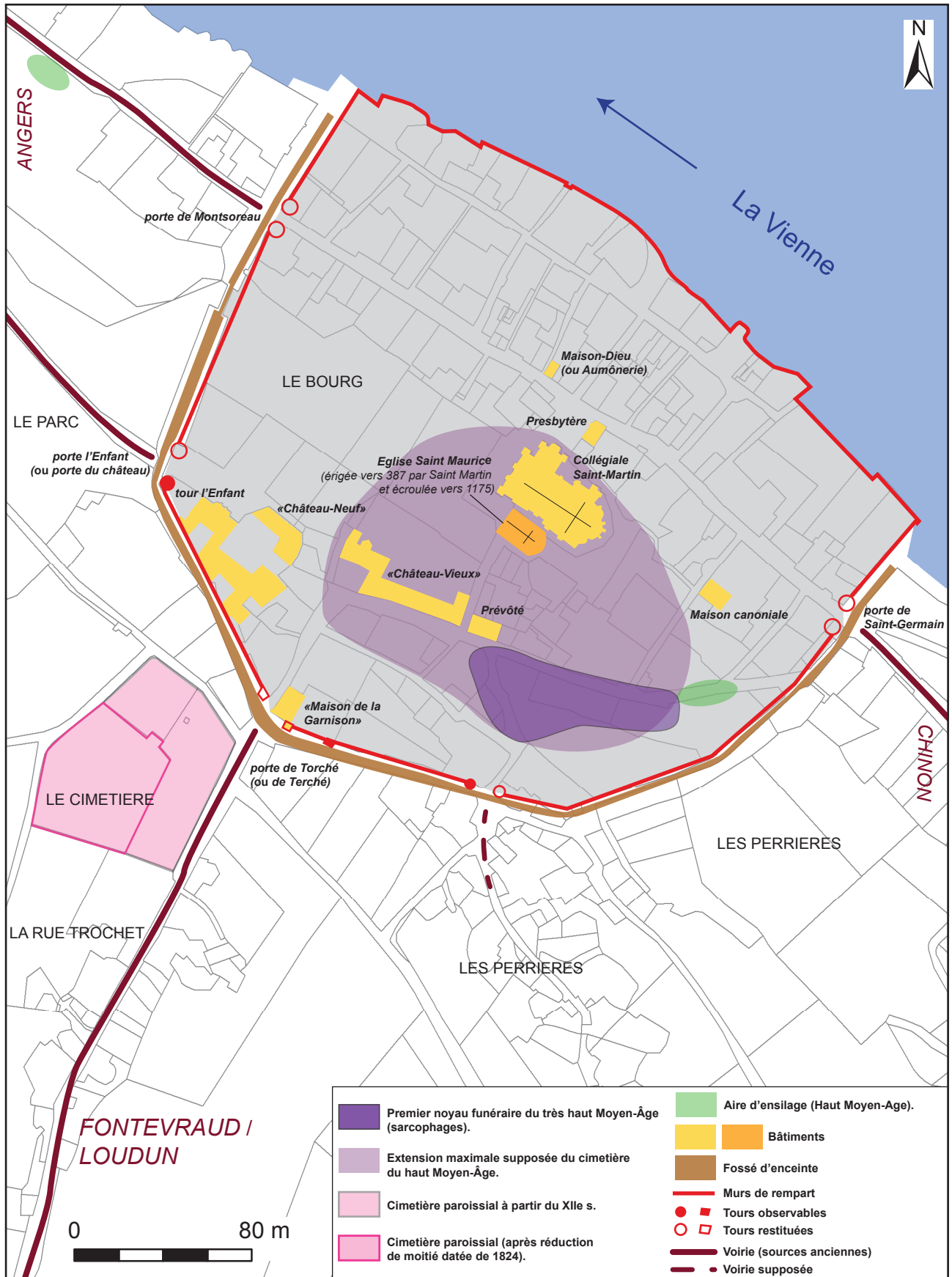


Figure 98 : Plan diachronique interprétatif des vestiges archéologiques et du bâti médiéval, à Candes-Saint-Martin.

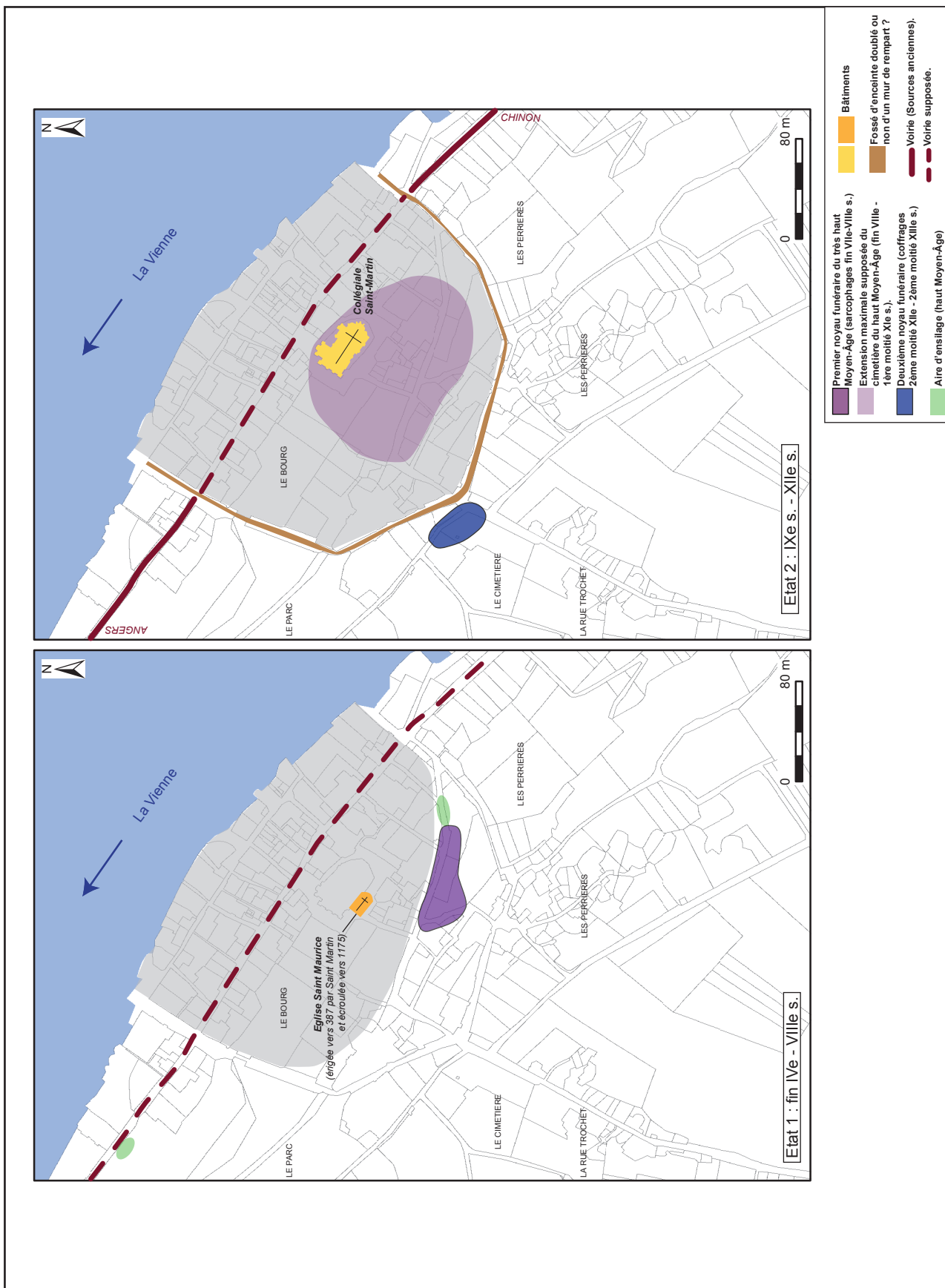


Figure 99 : Hypothèses de restitutions de l'évolution de Candes-Saint-Martin, par phases chronologiques (1/2).

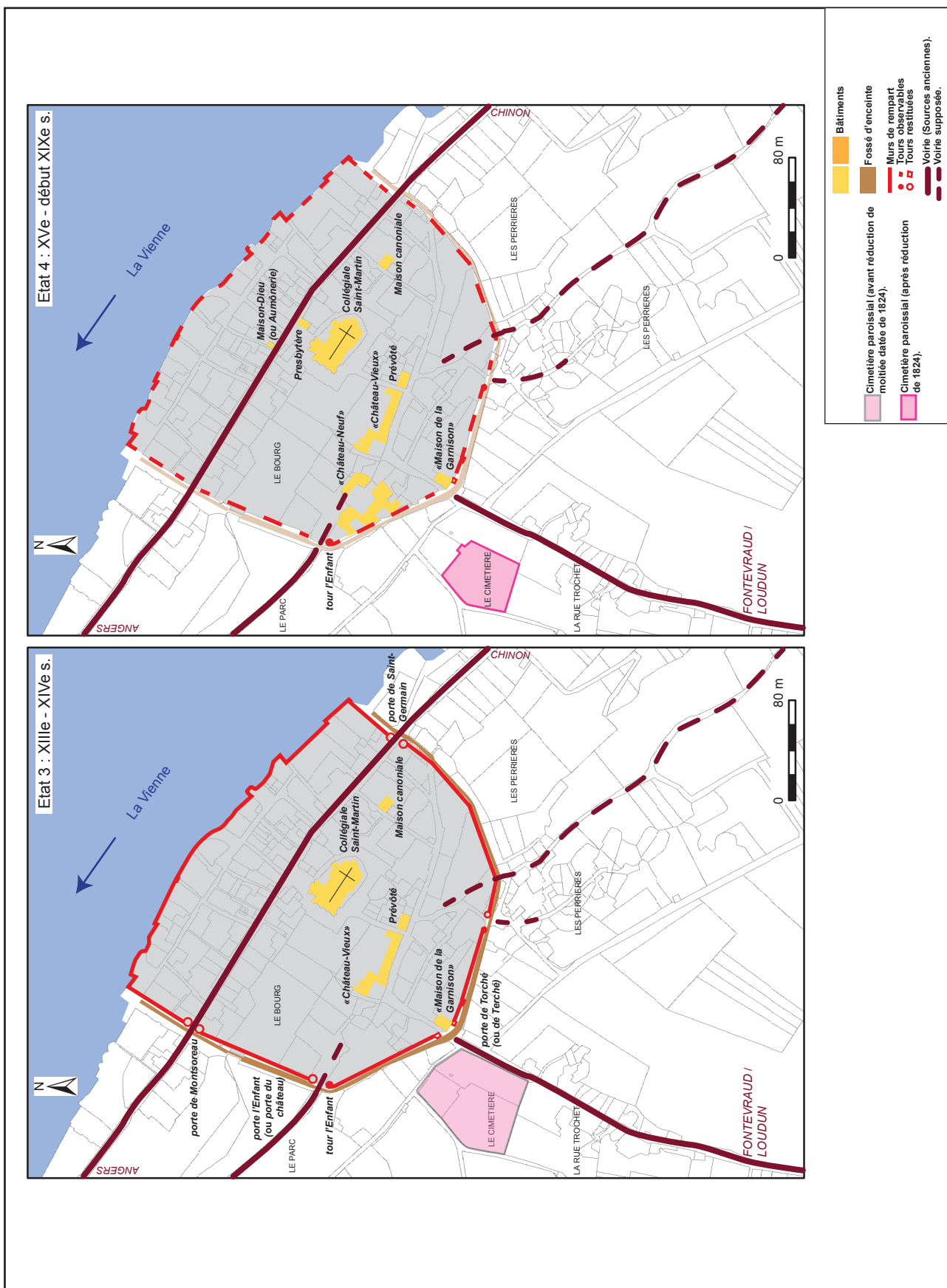


Figure 100 : Hypothèses de restitutions de l'évolution de Candes-Saint-Martin, par phases chronologiques (2/2).